

NH<sub>2</sub>

III 2490

1928

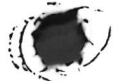
$\text{I} / (\text{NH}_3)_2 \text{ (H}_2\text{)} /$

Bartlett, J. H., Jr.

Phys. Rev. 1928, 21, 1129

"The positive ray analysis  
of ammonia"

C. A., 1930, 4457



1933

J (C<sub>2</sub>H<sub>4</sub>; NH<sub>3</sub>; H<sub>2</sub>O; NH<sub>4</sub>; NH<sub>2</sub>; BeH<sub>2</sub>)

Mulliken R.S.

J. Chem. Physics 1933, 1, 492-503

"Electronic structures of polyatomic molecules and valence molecules Rxn." 1 + b

to

P

C.A. 1933, 4479

1936

NH<sub>2</sub>

Neimmin H., Terenin A.,

Acta Physicochim. U. R. S. S., 1936,

5, 465.

Cuckage NH<sub>2</sub> & very crosswise

NH<sub>2</sub>

Szwarc M.

Proc. Roy. Soc., (L), 1949, Alg 8, 267

Alg

1950

Clegg

N.H.

Chauvin H., Leach S.,

C.R., 1952, 231, 1482.

B. change N.H., first. b pass. posse  
puma Musica, no groove & etc.

Two - three yrs. p=0, 1, 145 mm per 40  
changes, less. w. previous ones  
most of the increase continues  
one exception. The American  
puma N.H.

C.R. 45, 1952 e

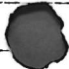
NH<sub>2</sub>

Hornbeck Y.R.,  
Herman R.C.

1951

Ind. Eng. Chem., 43, 2739

Спекунг гибкодородного  
полимера с ом 2000 до  
9000 Å.



A

Herzberg G., Ramsay D.A.

1952

NH<sub>2</sub>

J. Chem. Phys., 1952, 20, 347 (L).

Cresap

Спектр молекул азота поглощает NH<sub>2</sub>

Molecular.

Δ-коэффициент поглощения  $\text{NH}_2 + \text{O}_2$  и

кислород

$\text{H}_2 + \text{N}_2\text{O}$ , а также спектр поглощения NH<sub>2</sub>

спектр

излучения от дифракции на азоте NH<sub>2</sub> и на азоте

спектр

спектра азота в квадрате. Абсолютные коэффициенты

поглощения и излучения азота NH<sub>2</sub>. Две неизвестные

коэффициента поглощения NH<sub>2</sub>. Две неизвестные

коэффициента излучения NH<sub>2</sub>. Две неизвестные

коэффициентов поглощения NH<sub>2</sub> - один из которых

известен. Поглощательная способность

1705

Dyne P.J.,

NH<sub>2</sub>

Canad. J. Phys., 1953, 31, 453.

Спектральные измерения вблизи  
поглощений, отвечающих 6 молеку-  
лярным парам.

Si, CN, CF<sub>2</sub>, NH<sub>2</sub>

NH<sub>2</sub> - волны 3 насыпь 1790, 8160, 3240 A.

Несимметрическая.



Phillips

40,17 Herrberg u Sutton

3845 O. S. Landeswerk.

Freyware

1963

Hersberg G., Ramsay D.G.NH<sub>2</sub>Diss. Faraday Soc., 1953, 14, 11-16, N/14

Спектр молекуларного излучения  
паров азота NH<sub>2</sub>.

С помощью квантовой рентгено-  
вой спектр. техники был спектр моле-  
куларного азота 4500-7000 Å, полученный  
NH<sub>2</sub> (но изотопа  $\Delta^{15}\text{N}$ ). Излучение  
имело волну (18 волн), то есть волна  
излучения. Квантовые фракции -  
максимумы и минимумы спектрального  
излучения: 1 см. на 1000

Число изот.	Изотоп	Л-р	Л-р	Л-р	Л-р	Л-р	
"N <sub>2</sub> (A)							
7354, 6619,							
6302, 5977,	180°	3179	0,0	1075	0,00419	3400	0,00419
5708, 5385,	150°	3194	0,00033	1070	0,00386	3386	0,00395
5166, 4925,	120°	3236	0,00118	1056	0,00301	3346	0,00325
4718, 4524	90°	3292	0,00227	1038	0,00193	3291	0,00223.

NH<sub>2</sub>

Luft N.W.

[1953]

J. Chem. Phys., 21, 754.

Loose transition states  
involving Internal Rota-  
tion.

134P-5282-III

(cm. N<sub>2</sub>H<sub>4</sub>)  
III

1953

Ramsay D.A.proposalsJ. Phys. Chem., 1953, 57, 415.conclusionsCukorová využívají čbor. jasica zob NH  
u  $\text{NH}_2$ , nejdříve využívají green-projekt  
násavky.NH $\text{NH}_2$ Amenažuje násavkové členění  
Heg.

(1963)

Higuchi J.NH<sub>2</sub>

J. Chem. Phys., 1954, 22, 1467 (±) 68

Kruskal et al. co-synthesis of  $\text{NH}_2$  and  $\text{N}_2$ LCAO

Wohrmann &amp; Johnson LCAO method of calculating molecular orbitals

SCF

Johnson &amp; Wohrmann LCAO SCF calculations

parametersOrbital coefficients  $^2\text{B}_1$  (oval),  $^2\text{A}_1$ ,  $^4\text{A}_2$  and  $^2\text{B}_2$  co-  
ordinates.  $\text{NH}_2$ , given  $^2\text{B}_1$ ,  $^2\text{A}_1$ ,  $\text{NH}_2$  & oxygen  
hexagonal [Disc. Faraday Soc., 1952, 14, 114] 1104155-160° hexagonal  $^2\text{B}_1 \rightarrow ^2\text{A}_1$ , bond length 1.82 Å.

Two known sets of values &amp; experimental values

529-III

NH<sub>2</sub> (Te)

1955

Higuchi J.

Bull. Chem. Soc. Japan, 1955, 28, N 4,  
238-243 (англ.)

Lower electronic states of the free  
NH<sub>2</sub> radical

ZK., 1956, 120

49

1956

NH<sub>2</sub>.

Kiguchi J.

J. Ch. Phys. 24, N3, 535-45.

Электропроводность и структура  
NH, NH<sub>2</sub>, NH<sub>3</sub>

Радиоактивные изотопы LaO-ScF

NH<sub>2</sub> P. Preisy // -531 1956  
смеш. C.R. Acad. Sci (Paris) 243, №18, 1305-7

Анализ изосc NH<sub>2</sub>

Задача изосc решения методом  
4719-6300 в исследование зон  
предназначения, в изосc  
связана с задачей оценки  
PA 60 непроработаны

$^{2A_1} \perp ^{2B_1}$

$^{2B_2} - ^{2A_1}$

4902

1950

NH<sub>2</sub>

Praisy P.

Ann. de physique, 1956, I, 745.

Answers concerning question

Greene... is incorporation real?

1956

NH<sub>2</sub>

Ramsay D.A.

Spectrochim. acta, 1956, 8, 286

Экспериментальный спектр и структура  
однодимерного радикала NH<sub>2</sub>.

Состав. О. Доказ. на кристаллическом

$$A''_{000} = 23,62 \text{ см}^{-1} \quad v''_{000}(NH) = 1025 \text{ } \text{\AA}$$

$$B''_{000} = 12,94 \text{ см}^{-1} \quad \angle HNH = 103^\circ$$

$$C''_{000} = 8,36 \text{ см}^{-1}$$

[Мечев]

NH<sub>2</sub>

Ramsay S.A. J.Ch.Ph. 1956, 25, 188  
1956

Двійкові енергії та ефективні  
загибани NH<sub>2</sub>

— 333

Константи осциляторів  
аміаку NH<sub>2</sub>

$$A_{000} = 93,62 \text{ cm}^{-1}; B_{000} = 12,94 \text{ cm}^{-1}; C_{000} = 8,19 \text{ cm}^{-1}$$

$$r_{000} = 1,025 \text{ \AA}$$

$$\mu - N - H = 103^\circ$$

1956

NH<sub>3</sub>

Thrush B.A.

Proc. Roy. Soc. 1956. 235, 143

Обнаруженные свободные  
радикалы при ферментации  
большой гипоксантиносодержащей  
азиды.

см NH<sub>3</sub>.

WH<sub>2</sub>

L1956

L.S. Nelson, D.Q. Ramsay

J. Ch. Ph. 25, N<sub>2</sub>, 372

Спектръ нонадеждни съод.  
фагикаетъ, надеждниятъ и  
ненадеждниятъ фрагментъ.

NH<sub>2</sub>

Becker, E.D. a.g.p.

1957

J. Chem. Phys., 26, 145

УК - спектр прошептоз-  
гоэх производств гомолога  
HN<sub>3</sub>



1157

III - 1188

NH<sub>2</sub>  
HCO  
CH<sub>2</sub><sup>+</sup>  
BH<sub>2</sub>  
H<sub>2</sub>O<sup>+</sup>

(штеппенгейм, электронные методы)

Dressler K., Ramsay D.A.

J. Chem. Phys., 1957, 27, N 4, 971-972 (ам.)

Дзюргеки Рекеяра б мозаичный пол-  
куляр.

Phys., 1959, N 1, 97 - 10

NH<sub>2</sub>

envelope 3171

1957

G. Herzberg Ph.

Mem. Soc. Roy. Sci. Liege  
1957, 18, 317-418.

Греция добровольно ведет  
исследования и изучает с точки зрения  
астрономии.

1957

✓  
cresg.Pannier G., Greenbaum H.

NH

C. r. Acad. sci., 1957, 245, 929.

NH,

О реакции азоткарбоксипротеин-

Кислород с азотом, имеющим базопрое-

к сопровождающимся  $^{37}\text{N}$ - $^{35}\text{S}$ 

реакции NH. (расч. вес)

$$Q(2,1) = 3022,0 \pm 0,5 \text{ A}$$



Pezza W.

532-19

1957

NH<sub>2</sub> (-Vi)

Proisy P.

C.r.Acad.sci., 1957, 244, N 23,  
2784-2785 (Франц.)

Bandes I d et II de NH<sub>2</sub>  
observées dans le spectre de l'ammoniac

РХ., 1957, N 3, 6905

Proisy P.

Ommegak 194

1957

means

NH

NH<sub>3</sub>

No. u. see 704 b.c. Liège 18, 454 m

UH u. NH<sub>3</sub> b. enneffe automatisé

d. want. NH<sub>3</sub> preciaagfektoren  
waren superdag. abwesenheit NH u. NH<sub>3</sub>

C4 51

160 30 4.



1957

chemical

Ramsay D.Q.,

NH<sub>3</sub>, Ann. N.Y. Acad. Sci., 1957, 67, 485.

Electron wave function theory -  
work discussed previously.

Kureva et al. no grab. c J. Chem  
Phys., 1957, 25, 188

NH<sub>2</sub>

(D<sub>i</sub>)

Ramsay D.A.

1957

1138a

Mem. Soc. Roy. Sci. Liege,  
1957, 18,  
pp. 421-429

The analysis of the  $\alpha$ -Bands  
of ammonia . . .

$\sqrt{H_2}$

D. A. Ramsay

[Off. 1138a] [1917]

New. Soc. Roy. Sci. Phys. 18, 44-9.

Hydrogen & noble Gases  
(gases).

Branes - analogs of noble gases  
with noble  $NH_2$ . By analogy  
with noble gases they are  
more inert than hydrogenic ones.

CA-51  
16043. 1

суперпозиція нефармічні

$$\tau_{NH} = 1.025 \text{ \AA}, \angle HNH = 103^\circ.$$

567-11

NH<sub>2</sub> ( J.A.P. )

1953

Foner S.N., Hudson R.L.,  
J.Chem.Phys., 1953, 29, N 2,  
442-443 (англ.)

Масс-спектрометрическое обнаружение триазена и тетразена и изучение свободных радикалов NH<sub>2</sub> и N<sub>2</sub>H<sub>3</sub>

РХ., 1959, № 4, 10726

40 μ

Борис А. 90

NH<sub>2</sub> Foner S.N., Cochran E.L., Bowers V.A., Yau C.K. [1958]

Phys. Rev. Letters 1, 13, 91-2.

Симметрическое излучение-поглощение  
смеси NH<sub>2</sub> и ND<sub>2</sub>.  $\mu = 9,2 \text{ см}^{-1}$ .  
NH<sub>2</sub> и ND<sub>2</sub> образуют квадратную  
димерную молекулу из атомов водорода.

PA 62, № 33

740.

№ 2  
Mc Connell H.M.  
J. Ch. Ph., 1958, 29, 1422  
No 8  
Педагогическое значение в  
формировании национальной культуры

NH<sub>2</sub> | 1 | J. A. Pople

1958

H. C. Longuet-Higgins

Mol. Phys., 1, 372-83, 1958

Measurul зорулної Рентгено  
спектрумії азоту в NH<sub>2</sub>.

CAS 53-52-1  
1955 b d

(канд. фіз.-матем. наук. допуск до експерименту  
Рамзі)

1958

(NH<sub>2</sub>)

Robinson G. W., McCarthy M., Jr.,

Canad. J. Phys., 1958, 36, 1520 (~11)

Champagne passe au vu de ce  
quelque progresso recent.

Kp. conversion des cyclohexa-  
bora polyèdres (NH<sub>2</sub>, KNO,  
OK u NH)

Champagne

+ 3 kapp.

18

(WH<sub>2</sub>)

HNO

OH

NK

+ 3 caps.

РИФ, 1958

№ 8, 1956а.

Robinson G., McCarthy M.

1958

Canad. J. Phys., 1958, B6, III, 1590-1591

Синтез разнокачественных  
гемоглобиновых пигментов гемоидов.

Синт. метода магнитных  
изделий получены синтети-  
ческие пигменты.

WH<sub>2</sub>, HNO, OH и NK

Год. 3100 - 7700°.

1958

crespo

 $NH_2$ 

Robinson G.W., McCarty M., Jr.,

J. Chem. Phys., 1953, 28, 349.Decomposition mechanism of  
diazine pyrolysis over 40K- $NH_2$ .

	K. W. Tanner, R. L. King.	1958
NH <sub>2</sub>	Nature, 181, 863-75	
N <sub>2</sub> H <sub>3</sub>	U.K. copyright © 1958 by Pergamon Press Ltd.	
N <sub>2</sub> H <sub>4</sub>		
NH <sub>3</sub>	Несколько PbTe приборов Catz Конф. Франс. зеркальные кристаллы	
NH <sub>4</sub>	Фотоэлектрическая чувствительность	
+ 4		
Ca S <sub>2</sub>	насек. NH, NH <sub>2</sub> , N <sub>2</sub> H <sub>3</sub> , N <sub>2</sub> H <sub>4</sub> и NH <sub>4</sub>	
17, 143279		☒

(NH<sub>2</sub>)

Tanner K.R., King R.L.

1958

Nature, 1958, 181, 963 (n 4614)

МК-спектр свободных радикалов  
NH<sub>2</sub>: ассим. фаз. конв. 3,0619 μ

$K_C = 5,74$ ;  $K_S/e^2 = 0,31 \cdot 10^5$  эн/см  
затух. конв. NH<sub>2</sub> 1000 cm<sup>-1</sup>.

(LHCNH = 1030).

$\nu_1 = 3200$  cm<sup>-1</sup>

$\nu_2 = 1000$  n (парал.)

$\nu_3 = 3280$  n

op-59-2-4410

Ommecck 454 1959

NH<sub>2</sub>

Dressler K., Ramsay D.A.,

Phil. Trans. Roy. Soc. (L.), 1959,

checkup,

M. n.

5296

251, 553.

Декарбонатное checkup понос-  
усове NH<sub>2</sub> и ND<sub>2</sub>.

Checkup поносове N<sup>14</sup>H<sub>2</sub>, N<sup>15</sup>H<sub>2</sub> и  
N<sup>14</sup>D<sub>2</sub> ограждение б. от  
3900-8300 A на 21-мм. квадрате

- пленка. ~~12B~~

ecp OTTuck

$X^2 \beta_1$ :  $A_{000} = 23,728$ ;  $B_{000} = 12,942$ ;  $C_{000} = 3,165$ ;

$D_A = 0,019_1$ ;  $D_B = 0,002_0$ ;  $D_C = 0,000$ ;

$A^2 A, \Pi_u$   $B_{000} = 8,78$ ;  $\alpha_1 = 0,12$ ;  $\alpha_2 = -0,024$ ;

$T_{000} = 10249 \text{ cm}^{-1}$ .

1959

NHg

Menzberg G.

An. Real Soc. esp. fis y quim.,  
S.A., 55(a), N5u6, 179

Spectros de radicales libre

lectes autómatas

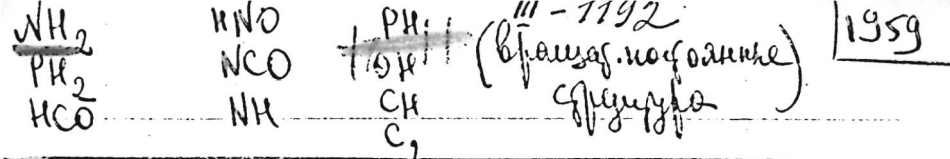
WES

Kerrberg, G.

1939

Angew. Chem., 71, 736

C <sub>3</sub>	1	<u>Herzberg, G.</u>
SiC <sub>2</sub>		Proc. Chem. Soc., 1959, 116 (аннанс)
NH <sub>2</sub>		Спектры свободных радикалов Кисл. NH <sub>2</sub> , NNO, $\frac{NCO, NCS}{-$ вул. первая Бейн.}
HNO		Одн. радикал NH <sub>2</sub> еще не уточнен
CH <sub>3</sub>		он же неуточнен. Небольшой спектр.
CH <sub>2</sub>		
C <sub>2</sub> H		
NCO		
NCS		



McCarthy M., Robinson G.W.

J.-Chim. phys. et phys.-chim. Biol., 1959, 56, 184  
723-730. Discuss., 73-231.

Инцидентные сдвиги конформации в  
серии радикалов, образующих гелевые  
межмолекулярные, в замкнутых кольцах  
+ - D. ляг.

РМН, 1960, № 24, 95253

NH<sub>2</sub> 427 Robinson G. W., McLaren M., Jr.,  
et al. J. Chem. Phys., 1959, 30, 999.

спектр J. Chem. Phys., 1959, 30, 999.

изоэнергетическое (trappeal). завис-  
ящее NH<sub>2</sub> при 4, 2°K.

Деэнергетизация изоэнергетиче-  
ской: вб. разницы в энергии  
с NH<sub>2</sub> или N<sub>2</sub>H<sub>4</sub>. Несколько

0 v<sub>2</sub>' 0 - 0 0 0 v<sub>2</sub> = 6 - 16.

Cuycina <sup>3</sup>H,  $\Pi_u \leftarrow ^2B_1$ . Изменение

расстояния между атомами  
ион. бензином H, N, S, O ~ woodcut!

Резар D.A. Ramsay 1959? 1957

Физиол. Am. N.Y. Acad. Sci 485-98.

(NH<sub>3</sub>)  $\equiv$  transparente слюда на  
агоморф обособлен  
пигменты.

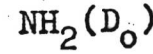
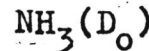
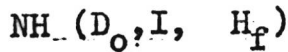
9 BP-307a Резар во время  $\text{NH}_2\text{Cl}$ ,  $\text{CF}_2\text{Cl}_2$   
р. падающих, слюда

CA-5j 16094-a Ред в  $\text{PH}_3$  р. п. зеленые

Изменение при фиксировании  
HCO, HNO, NH<sub>2</sub> и PH<sub>2</sub> синтеза. Известно  
NH<sub>2</sub> и HCO связаны с переходами из низкогорячих  
веществ соч. в линии верхнее  
переходных пром. изотопов, дают волны  
и узлы.

III-202

1959



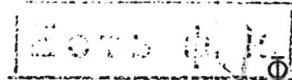
Reed R.I., Snedden W.,

J.Chem.Soc., 1959, Dec., 4132-4133

Потенциал ионизации NH.

РЖХ., 1960, № 14, 55908

Ю



1959

-N<sub>H2</sub>

Stewart J. E.,

J. Chem. Phys., 1959, 30, 1259.

Konservacion energii  
nezhurnika v bavarskikh akad-  
emicheskikh svedeniih.

NK

Thiel M. V. Pimentel G. C.

1960

Nath

J. Chem. Phys., 1960, 32, 133

~~OK~~

Исследование с помощью рентгеновской спектроскопии: UK спектр  
использованного протонного генератора азотоборногидрида кремния, II  
характеризующийся в 250  $\text{cm}^{-1}$  зоной  
азота и  $\text{NH}_2$  и  $\text{ND}_2$  конверсией

3962a Димитров 6 NH<sub>2</sub>

1960

NH<sub>2</sub>

Tsuzai M.

Spectrochim. Acta, 1960, 16, 535

Кислота азотная  $^{15}\text{N}$  на кисло-  
щелочном рефрактометре и  
спектрометре спектра NH<sub>2</sub>.

Моделирование спектра спектрометра NH<sub>2</sub>

NH<sub>2</sub> 2 1961

ЗБ149. Теоретическое вычисление изотропной сверхтонкой структуры в свободных радикалах NH<sub>2</sub>. Higuchi Jiro. Theoretical calculation of isotropic hfs of the free NH<sub>2</sub> radical. «J. Chem. Phys.», 1961, 35, № 6, 2270—2271 (англ.)

Методом МО вычислены константы сверхтонкой структуры  $a_{\text{H}}$  и  $a_{\text{N}}$  неспаренного электрона в NH<sub>2</sub> с ядрами H<sup>1</sup> и N<sup>14</sup>. При нахождении волновых функций учитывались следующие электронные конфигурации:  $(1a_1)^2 (2a_1)^2 (1b_2)^2 (3a_1)^2 (1b_1)$ ,  $(1a_1)^2 (2a_1) (1b_2)^2 (3a_1)^2 (1b_1) (4a_1)$  и  $(1a_1)^2 (2a_1)^2 (1b_2) (3a_1)^2 (1b_1) (2b_2)$ . В первом порядке теории возмущений найдено, что сверхтонкие расщепления возрастают с увеличением угла HNH', так как увеличивается вероятность нахождения электрона в месте расположения ядер. Для  $\angle \text{HHN}' = 105^\circ$   $a_{\text{H}} = -16,1$  и  $a_{\text{N}} = 29,7$  э. С учетом внутренних оболочек  $a_{\text{N}} = 14,7$  э, что удовлетворительно согласуется с эксперим. величиной 10,3 э.

Е. Иванов

X. 1963. 3.

Geoghegan

K. deitzky

NH<sub>2</sub>

ISCP - 1075-11

1961

Determination of electron affinities. III. Amino radical.

F. M. Page (Coll. Advanced Technol., Birmingham, Engl.).

*Trans. Faraday Soc.* 57, 1254-8(1961); cf. CA 55, 20604h.—

The electron affinity of NH<sub>2</sub> was detd. exptl. by the magnetron method, the radicals being prep'd. by the pyrolysis of N<sub>2</sub>H<sub>4</sub>. The value was 33.3 kcal./mole at 1900°K. or 27.6 kcal./mole at 0°K. The measured current of neg. ions from NH<sub>3</sub> corresponded almost to a thermo-neutral overall reaction. The apparent electron affinity of the neg. ions was only 3 kcal./mole. The magnetron technique not only gives electron affinities of radicals, but also provides a new method of general applicability for detg. bond energies.

Victor R. Deitz

C.A. 1962, 56, 10

10921i - 10922f

1961

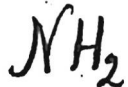
A  
 (NH<sub>2</sub>)

4Б41. Определение сродства к электрону. Часть III.  
 Амино-радикал. Page F. M. Determination of electron  
 affinities. Part 3. The amino radical. «Trans. Faraday  
 Soc.», 1961, 57, № 8, 1254—1258 (англ.)

Предложенная автором (РЖХим, 1962, 12Б17) магнетропная техника измерения величины электронного сродства ( $E$ ) использована для определения величины  $E$  радикала NH<sub>2</sub>. Радикалы генерировались пиролизом гидразина на проволоке в магнетроне. Полученная величина  $E = 33,3 \pm 2$  ккал/моль (1900° К) хорошо согласуется с оценкой  $E \approx 28 + 10$  ккал/моль, вытекающей из данных по энергиям решеток щел. аминов. Показано, что магнетропная техника пригодна не только для измерения электронного сродства радикалов, но и дает новый метод определения энергий связей. Для этого необходимо исследовать два случая радикального пиролиза: по слабой связи (гидразин); полная диссоциация) и по сильной связи (аммиак), (частичная диссоциация) и сопоставить их. Сообщение II см. РЖХим, 1963, 1Б31.

В. Быховский

X. 1963. 4



1961

(ЗБ24.) Электронные спектры небольших молекул.  
Walsh A. D. The electronic spectra of small molecules.  
«Photofelectr. Spectrom. Group Bull.», 1961, № 13, 348—  
358 (англ.).—Обсуждается интерпретация электронных  
спектров линейных и изогнутых трехатомных молекул  
гидридных НАН в рамках одноэлектронного метода  
МО ЛКАО. Порядок уровней МО и зависимость энер-  
гии связи от угла НАН устанавливается на основе  
двух принципов, первый из которых является опреде-  
ляющим: 1) если примесь АО в гибридной орбите цент-  
рального атома увеличивается при уменьшении угла  
НАН, то энергия связи соответствующей МО умень-  
шается, и наоборот; 2) энергия связи уменьшается при  
уменьшении угла НАН, если соответствующая МО яв-  
ляется разрыхляющей по отношению к связи Н—Н  
(т. е. имеет узел между атомами Н), и наоборот. По-  
строенные корреляционные диаграммы для энергий  
МО в зависимости от угла НАН позволяют удовлетво-  
рительно интерпретировать спектры  $\text{H}_2\text{O}$  и  $\text{NH}_2$ , обус-  
ловленные переходом электронов внутри валентной  
оболочки этих молекул, изменение формы молекул при  
возбуждении и распределение интенсивности в коле-  
бательной структуре. Порядок изменений энергий МО

Х.1962.3

Б.С. Герб

при увеличении угла НАН от  $90^\circ$  до  $180^\circ$  следующий:  
 $a_1 - \sigma_g$  (уменьшается),  $b_2 - \sigma_u$  (уменьшается),  $a_1 - \pi_u$   
(возрастает),  $\underline{b_1} - \pi_u$  (не меняется),  $\underline{a_1} - \sigma_g$  (умень-  
шается),  $b_2 - \pi_u$  (уменьшается).

Е. Никитин

2729-11

1962

NH<sub>2</sub> (D)

Clyne M.A.A., Thrush B.A.

Proc. Chem. Soc., 1962, June, 227  
( same )

The dissociation energy of the  
NH radical

PX., 1963, 9b329

10 μ



E439

1962

NH<sub>2</sub>

специ

№ 2 Д368 Д. Кинетическая спектроскопия высокого разрешения свободных радикалов NH<sub>2</sub>. Напис Maurice Непгу. High-resolution kinetic spectroscopy of the NH<sub>2</sub> free radical. Doct. diss. Indiana Univ., 1962, 112 pp. Ref. «Dissert. Abstrs», 1962, 23, № 6, 1943 (англ.)

об. В64.2A

I962

NH<sub>2</sub>

Herzberg G.

1008

Internat. Sypos. Molec Struct. and  
Spectrosc. Tokyo, I962. S.I., s.a,  
G3/I-G3/II

Последние работы по спектрам сво-  
бодных радикалов.

рн. SiC<sub>2</sub>

$\text{M}_2$

Jordan P. C.H., Longuet-Higgins  
H.C. 1962

акции  
распр.

Molec. Phys., 1962, 5, n2, 121.

Нижнее электронное уровне  
радикалов  $\text{CH}$ ,  $\text{CH}_2$ ,  $\text{CH}_3$ ,  
 $\text{N}_2$ ,  $\text{M}_2$ ,  $\text{BHe}$ ,  $\text{BHe}_2$  и  $\text{BHe}_3^+$



X·1964·2

авг III СР

1962

*NH<sub>2</sub>-Kohlsdorf*

~~H-N-NO<sub>2</sub>~~

*W(150)*

) Fundamental NH<sub>2</sub> stretching frequencies in amines and amides. P. J. Krueger (Univ. Alberta, Calgary, Can.). *Nature* 194, 107-78(1962). As the electron-withdrawing nature of a substituent increases (2,4,6-trimethylaniline, *o*-toluidine, and 2,6-dimethylaniline) the  $sp^3/sp^2$  character of the amino-group in an aniline series decreases. This is in harmony with calcns. which show an HNH angle of 109.4° in *p*-phenylenedianiline and a smooth rise to 111.1° in aniline and 113.6° in *p*-nitroaniline. Ortho substitution, in general, leads to angle opening or more extensive  $sp^2$  contribution to the N-bonding orbitals. Where the substituents are 2-NO<sub>2</sub>, 2,4-di-NO<sub>2</sub>, and 2-CO<sub>2</sub>Et, HNH angles of 121.7, 122.6, and 123.6° were calcd. from infrared measurements. Strongly electron-donating substituents drive the amino group fairly completely into a pyramidal NH<sub>2</sub>-like structure, whereas strongly electron-withdrawing substituents tend to pull the amino H atoms towards the plane of the aromatic ring, thereby increasing the HNH angle. Ortho substituents involved in strong intramol. H bonding appear to lead to planar mols. in which the HNH angles may exceed 120°.

I. C. Kogon

C. I. 1962-578

9228 et

NH<sub>2</sub>

A-86 | 1962

Ramsay & A.

(B<sub>0</sub>, z.)

Proc. 10th Collg. Spectroscop.  
Internat. College Park, 1962,  
Washington, 1963, 583-96.

Schiavello M., Volpi G.G.,

1962

J. Chem. Phys.,

1962, 37, 1510

4

Espanola

$\Delta H_f (NH_2^-)$

1962

NH<sub>2</sub>

Walsh A.D.

нитрий. и  
амин.  
(одинак.)

Advances Molec. Spectrosc. V. 1,  
1962, 148.

Электронное спектропо-  
гра菲ия аминов.

(All. H<sub>2</sub>O) III

1962

 $\text{NH}_2$ 

Spectrum of the  $\text{NH}_2$  radical; its application to cometary spectra. A. Woszczyk (Univ. Liege, Belg.). *Mem. Soc. Roy. Sci. Liege, Collection in-4°* 2(6), 113 pp.(1962). SFTT

Woszczyk

C.A. 1963  
S933d

59-6

+  
mequice

NH<sub>2</sub>Tuq.

M-N.

geranobuse

coronae

que H<sub>2</sub>O

in ruraro  
kara

Gulsoy C.A. Heilsoy, 1963, b.v.  
1963

Dise. Far. Soc 1963, 35,  
#1.

Употребление копреллиса  
сумасе гуапалес  
que AH<sub>2</sub> - это money

употребление sacred

и съществуващ  
възможност.

1963

NH<sub>2</sub>

8 Д235. Реакции с радикалом NH<sub>2</sub>. I. Рекомбинация NH<sub>2</sub> при разложении аммония. Напес Мацгисе Н., Baird Edward J. Reactions of nitrogen-hydrogen radicals. I. NH<sub>2</sub> recombination in the decomposition of ammonia. «J. Chem. Phys.», 1963, 38, № 3, 672—676 (англ.)

Описаны фотоэлектрич. измерения поглощения NH<sub>2</sub> как ф-ции времени после окончания импульсного радиочастотного разряда, проходящего через аммоний. Определен верхний предел значения коэф. экстинкции для длины волны  $\lambda = 16725,40 \text{ см}^{-1}$ . Он оказался равным  $(1,02 \pm 0,10) \cdot 10^3 \text{ л} \cdot \text{моль}^{-1} \text{ см}^{-1}$ . При соответствующих условиях скорость исчезновения NH<sub>2</sub> пропорциональна 2-й степени конц-ии этого радикала. Представлены аргументы в пользу того, что на 1-й стадии рекомбинация приводит к образованию гидразина. Константа скорости рекомбинации равняется  $(2,33 \pm 0,2) \cdot 10^9 \text{ л} \cdot \text{моль}^{-1} \text{ сек}^{-1}$ . Найдено, что в пределах изменения давления аммония от 425 до 850 м.м. рт. ст. эта константа остается постоянной.

90 · 1963 · 87

1963

NH<sub>2</sub>

Glaxium S. H.

J. Chem. Phys., 1963, 39, 3141 (vII)

Взаимодействие синтетической  
гомоциклической разнокарбон.

$\text{NH}_2^-$ ;  $\text{NH}_2$

Bsp - 5194-III

1963

Lampe F. W.,  
Fitterell J. H.

доказательство  
к упоминанию

Trans. Faraday Soc.,  
1963, 59, 1954-61, N 489

Доказательство к упоминанию  
исследований методом  
неравенства 20 серебра,  
бореция. соответствия

одного изображения  
демп-  
сессиониста.



1075-III

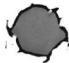
NH<sub>2</sub>. ( E - электрон.сродство )

1963

Page F.M.

Determination of electron  
affinities. Part 3. The amino radical.  
"Trans.Faraday Soc.", 1961, 57, N 8,  
1254-1258 ( англ. )

РХ., 1963, 4, Б41



если  
ошиб

10 М

$\text{CH}_2$ ,  $\text{NH}_2$ ,  $\text{CH}_3$ ,  $\text{HCO}$ ,  $\text{HNO}$ ,  $\text{BO}_2$ ,  
 $\text{NCO}$ ,  $\text{Na}^+$ ,  $\text{NO}_3$  (energized - V.) | 1963

Ramsey D. A., + 104, 100% | 3828

Proc. Colloq. Spectrosc. Intern., 10th  
Univ. Maryland, 1962, 583-96 (Pub. 1963)

Optical spectra of gaseous free  
radicals. CA, 1964, 61, #9, 10184 g  
(0830p) 10 +10

1963

NH<sub>2</sub>

50-1

Раннезим. д.

Фотки спектропсокопии,  
Изг. ин. лист, 1963, 11-44.

Спектры свободных и мо-  
дифицированных паджакасов.

оф. 1963. 120 224.

1963

NH<sub>2</sub>

Reeves C.N. BP-XI-2237

BP-2972-III

J. Chem. Phys., 1963, 39, vi, 1-10

Физическое значение гибкости  
и нарастающей концентрации  
нейтральных молекул. Т. Мег-  
Барти с и др. неизвестно.

φ. 1964. 6A

NH<sub>2</sub>

A-121

1963

Stanton R.E.

J. Chem Phys., 1955,  
39, N9, 2368-73.

do, y,  
;

4004:

XI-3132

1964

$\text{BH}_4^-$ ;  $\text{CH}_4$ ;  $\text{NH}_4^+$ ;  $\text{CH}_2$ ;  $\text{H}_3$ ;  $\text{NH}_2$ ;  
 $\text{H}_2\text{O}$ ;  $\text{H}_3\text{O}^+$  (str., равновесн. умк)

Krauss M.

J.Res.Natl.Bur.Std., 1964, 68A, (6),  
635-44

Calculation of the geometrical ...

J

Y



CA, 1965, 62, N 12,  
B863h

1964

NH<sub>2</sub>(V<sub>i</sub>)

7 Д 107. Соотношение между частотами валентных колебаний связанных N—H в первичных амидах. Ramiah K. Venkata, Chalapathi V. Venkata. A relation between the bonded N—H stretching frequencies of primary amides. «J. Molec. Spectrosc.», 1964, 12, № 3, 300—302 (англ.)

Установлено соотношение между частотами симметричных и антисимметричных валентных колебаний связанных групп  $\text{NH}_2$  ( $\nu$  в  $\text{см}^{-1}$ )  $\nu_s = (0,80 \pm 0,06) (\nu_{as} - 3345) + 3185$ . Аналогичное соотношение для свободных групп  $\text{NH}_2$  в первичных амидах имеет вид:  $\nu_s = (1,12 \pm 0,06) (\nu_{as} - 3530) + 3415$ .

оф. 1965

78

1964

NH<sub>2</sub>Salzman J. R., Bair E. F.J. Chem. Phys., 41, 3654.

Recombination and disproportionation of NH<sub>2</sub> radicals.

1961

Epruca  
NH<sub>2</sub>  
L.Y.

Frequencies and intensities of infrared absorption bands of the stretching and deformation vibrations of the NH<sub>2</sub> group in primary amines. M. R. Yagudaev, E. M. Popov, I. P. Yakovlev, and Yu. N. Sheinker. *Izv. Akad. Nauk SSSR, Ser. Khim.* 1964(7), 1189-96(Russ). The vibrational frequencies of methylamine (I) and its D-substituted derivs. were measured and the force consts. of I were calcd. The sym. and asym. stretching vibrations,  $\nu_1$  and  $\nu_{10}$ , resp., are characteristic. The intensity ratio  $A\nu_1/A\nu_{10}$  is  $\sim 0.6$ . The frequencies and intensities mentioned served for evaluating the force and electrooptical parameters of the NH<sub>2</sub> group of aliphatic, aromatic, and heterocyclic amines. The electron-donor ring substituents of aniline have no appreciable effect on the NH<sub>2</sub> group; a slight increase of the parameters is observed in the order para- < meta- < ortho-substituted anilines. The substitution of electron acceptors, however, increases the parameters considerably and leads to the disturbance of the additivity of the NH bonds. The parameters are highly solvent sensitive. The values of  $\partial\mu_{NH}/\partial\rho_{NH}$  and

C.A.

1966. 64. 13

18705

h-18706ab

$K_{NH}$  decrease linearly with increasing  $pK_a$  values of the anilines. The deformation vibration  $\nu_4$  of the  $NH_2$  group in I is not localized in the  $NH_2$  group because of coupling the vibrations in the Me and  $NH_2$  groups. In  $CD_3NH_2$ , however, the vibration is localized; it approaches that of the calcd. value of the fragment C- $NH_2$ . It follows that in branched alkyl amines, as well as in aromatic and heterocyclic amines,  $\nu_4$  is characteristic of the angular coordinates of the  $NH_2$  group. The intensities  $A_{\nu_4}$  change in various compds. They are less solvent-sensitive than those of the stretching vibrations.

P. Adamek

$D_2H_2$ ,  $CH_2$ ,  $\delta_1H_2$ ,  $NH_2$ ,  $PH_2$ ;  $H_2S$  16, 43+15  
 $H_2O$ ,  $H_2S$ ,  $CO_2$ ;  $CS_2$ ,  $NO_2$ ,  $SO_2$ ,  $ClO_2$ ,  $NF_2$ ,  
 $XeF_2$ ,  $HCO$ ;  $NHO$ ,  $H_2SiCl$ ,  $H_2SiBr$ ,  $NH_3$ ,  
 $PF_3$ ;  $PCl_3$ ,  $HCOH$ ,  $CO_2Cl$ ,  $COSCl$ ,  
 $C_2N_2$ ,  $C_2H_2$  (сингулярно и мол. нос.)

Walsh A. D.

Ann. Rept. Progr. Chem. (Chem. Soc.  
London), 1964; 61, 8-26

65 best  
speciz.

10

CA166

1965

NH<sub>2</sub>  
PH<sub>2</sub>  
~~коэффициенты  
спин-вращ.  
удлин.~~  
 4146

5 Д108. Постоянные спин-вращательного взаимодействия в изогнутых молекулах  $\text{AH}_2$ , находящихся в дублетных электронных состояниях. Dixon R. N. Spin-rotation interaction constants for bent  $\text{AH}_2$  molecules in doublet electronic states. «Molec. Phys.», 1965, 10, № 1, 1—6 (англ.)

Рассматривается зависимость спин-вращательной связи от электронной структуры дублетных состояний изогнутых молекул типа  $\text{AH}_2$ , где А — элемент III или V группы периодич. системы. Рассмотрение основывается на теории Ван-Флека. Применение теории к молекуле  $\text{NH}_2$  (для которой известны самосогласованные МО ЛКАО) дало очень хорошее согласие с эксперим. значениями спин-вращательного взаимодействия и  $g$ -фак-



оф. 1966.58

тора). Менее точные модели электронной структуры (модель направленных гибридных орбиталей и вытекающая из модели объединенного атома модель чистой прецессии) дают заметно худшие результаты (расхождение с опытом составляет 40—60%). В случае молекулы  $\text{RH}_2$  (для которой не рассчитаны самосогласованные МО) эксперим. значения спин-вращательного взаимодействия лежат между значениями, получаемыми из модели направленных гибридных орбиталей и из модели чистой прецессии.

Т. Ребане

1965

84  
2

3Д85. Теория эффекта Реннера в почти линейной молекуле в приложении к  $\text{NH}_2$ . Dixon R. N. The Renninger effect in a nearly linear molecule, with application to  $\text{NH}_2$ . «Molec. Phys.», 1965, 9, № 4, 357—366 (англ.)

Теория эффекта Реннера в линейной трехатомной молекуле уточнена с учетом наличия двух минимумов на потенц. кривых обоих электронных состояний, соответствующих в приближении Борна—Оппенгеймера изогнутой молекуле (и происходящих из двухкратно вырожденного электронного состояния линейной молекулы). Расчет электронно-колебательных состояний произведен путем диагонализации усеченной матрицы гамильтонiana на электронно-вычислительной машине. Использовалась гибкая форма потенциалов с двумя ми-

9.1966. 38

нимумами в виде комбинации квадратичных и гауссовых ф-ций. Приведена диаграмма электронно-колебательных уровней в зависимости от высоты барьера. Теория применена к анализу эксперим. данных о молекуле  $\text{NH}_2$ . Сделан вывод о том, что первое возбужденное электронное состояние соответствует «сильному» эффекту Рениера, причем равновесное значение валентного угла составляет  $(144 \pm 5)^\circ$ , а высота барьера между двумя минимумами равна  $(777 \pm 100) \text{ см}^{-1}$ . При больших отклонениях от ранее предполагавшейся линейной равновесной конфигурации электронно-колебательные взаимодействия играют малую роль.

Т. Ребане

NH<sub>2</sub>

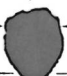
Kömann K.H., ugr.

1965

Naturwissenschaften,  
52, N1, 12

M.-C.

Працетуморное продукте,  
образующееся в моли-  
тии неградуса



(Cu. N<sub>2</sub>H<sub>2</sub>)<sup>III</sup>

NH<sub>2</sub>; ND<sub>2</sub> Kuchitsu K.;  
Morino Y.

[1965]

usobbe  
no<sup>o</sup>i. Bull. Chem. Soc. Japan, 38(5),  
805-13.

Bp-4190-1  
Estimation of anharmonic  
potential constants. I. Linear  
ar. XY<sub>2</sub> molecules.

(con. CO<sub>2</sub>)

NH<sub>2</sub>

1965

6 Д101. О кулоновском интеграле аминогруппы.  
Kwiatkowski S. On the core integral for the amino group. «Bull. Acad. polon. sci. Sér. sci. math. astron. et phys.», 1965, 13, № 11—12, 817—822 (англ.; рез. русск.)

Вводится новое приближение для ионизационного потенциала азота в группе — NH<sub>2</sub> и кислорода в группе — OH, который определяется как сумма ионизационного потенциала заместителя и одноцентрового кулоновского интеграла. Новое приближение было применено для проведения вычислений (в рамках метода MO) электронного спектра, а также некоторых свойств основного состояния анилина.

оп. 1966. 670

Физ. 10

539.293

Cohen-Solal G., Marfaing Y.

Préparation de structures à largeur de bande interdite variable par épitaxie du tellure de mercure sur le tellure de cadmium.

C. r. Acad. sci., 1965, 260, N 15, 4190—4193.

Изготовление полупроводниковых структур с переменной шириной запрещенной зоны методом эпитаксиального роста HgTe на CdTe.

NH<sub>2</sub>

видим., УФ,  
ше-спектр

ВФ - 4250 - II

1965

170

7 Д248. ИК-спектр свободного радикала NH<sub>2</sub> в матрицах из Ar, N<sub>2</sub> и CO. Milligan Dolphus E., Jackson Marilyn E. Matrix-isolation infrared spectrum of the free radical NH<sub>2</sub>. «J. Chem. Phys.», 1965, 43, № 12, 4487—4493 (англ.)

При 14°K исследованы ИК-спектры поглощения ( $900 \div 3600 \text{ см}^{-1}$ ) радикала NH<sub>2</sub> в матрицах из Ar, N<sub>2</sub> и CO, а также спектры в видимой и УФ-областях NH<sub>2</sub> и NH в матрицах из Ar и N<sub>2</sub>. Радикал NH<sub>2</sub> и некоторые его изотопные модификации получены в достаточных для прямого определения конц-иях фотолизом с помощью микроволн. разряда в H<sub>2</sub> или Xe молекул аммиака, изолированных в матрице. ИК-спектры продуктов фотолиза NH<sub>3</sub> в матрице из CO показали высокую конц-ию HCO, что подтверждает факт образования при

т. о.

о. 1966. № СА. 1966. 64. 4. 4449de



фотолизе атомов Н. Основные деформационная и валентная колебательные частоты найдены равными, соответственно:  $1499$  и  $3220 \text{ см}^{-1}$  для  $^{14}\text{NH}_2$ ,  $1495,5$  и  $3215 \text{ см}^{-1}$  для  $^{15}\text{NH}_2$ ,  $1321 \text{ см}^{-1}$  для NHD и  $1110 \text{ см}^{-1}$  для ND<sub>2</sub>. Сложность спектра NH<sub>2</sub> в Ar согласуется с возможностью свободного вращения радикала в инертной матрице. Вычислены силовые константы и значения термодинамич. величин для NH<sub>2</sub>. Делается вывод об относит. неэффективности фотолиза NH<sub>3</sub>, изолированного в матрице. Библ. 26 изв.

С. Бурейко

NH<sub>2</sub>

1966

Self-consistent calculation of the proton affinity of the amide ion, NH<sub>2</sub>. M. N. Adamov, B. S. Aleksandrov, and I. F. Tupitsyn (Inst. Appl. Chem., Leningrad). *Teor. i Eksperim. Khim.*, Akad. Nauk Ukr. SSR 2(2), 149-53(1966)(Russ). The self-consistent L.C.A.O. method was used to calc. the proton affinity of the NH<sub>2</sub><sup>-</sup> ion assuming that the valence angle and the N-H bond length are the same as that for NH<sub>3</sub>, 106°47' and 1.014 A., resp. The calcd. value of the energy of the proton affinity is compared with empirical estimates.

GLJR

C.A. 1960-65-6  
8024-d

NH<sub>2</sub>

XIII-1608

1966

2 Д477. Излучение аммиака, возбужденного лазером на CO<sub>2</sub>. Bordé Christian, Henry Annie, Henry Lucien. "Emission du gaz ammoniac excité par le rayonnement d'un laser à gaz carbonique. «С. г. Acad. sci.», 1966, AB262, № 21, B1389—B1390 (франц.)

VI

Получено излучение (И) аммиака в области 3800—6900 Å, а также вблизи 3 и 10 μ при возбуждении излучением лазера на CO<sub>2</sub> мощностью 150 вт. В видимой области в И разрешен ряд линий, отнесенных к прогрессии (0, v<sub>2</sub>', 0←0, 0, 0) радикала NH<sub>2</sub> с v<sub>2</sub>'=7, 8, 9, 10. При наличии следов ртути в аммиаке в спектре И наблюдаются линии Hg 5460,74; 4358,34 и 4046,56 Å, обусловленные переходами из состояния <sup>7</sup><sup>3</sup>S с энергией:

φ·1968·28

7,8 эв. Видимое И в аммиаке появляется при давлении газа порядка 120 мм рт. ст.; его интенсивность усиливается при увеличении давления и мощности лазера. Пороговое значение мощности, при котором возникает свечение аммиака, ~40 вт на линии  $P$  (20) в излучении лазера. При импульсном режиме работы лазера наблюдается запаздывание люминесценции аммиака, составляющее величину порядка 100 мсек. при давлении газа в 1 атм.

А. Макушенко

1966

Н и  
3

1Д196. Эмиссионные спектры при разложении аммиака в разряде. Carbaugh D. C., Marchello J. M.  
Emission spectra during glow-discharge decomposition of ammonia. «J. Opt. Soc. America», 1966, 56, № 6, 836—837  
(англ.)

Изучен спектр испускания (300÷7000 Å) продуктов разложения  $\text{NH}_3$  в разряде перем. тока при давлениях 1,7 и 3,4 мм рт. ст. Из рассмотрения интенсивностей эмиссионных линий атомарного водорода и радикала  $\text{NH}_2$ , полученных в разряде, определены конц-ии радикалов и картина возбужденных уровней. Представлена зависимость интенсивностей трех линий  $\text{NH}_2$  и бальмеровских линий  $\text{H}\beta$  и  $\text{H}\gamma$  водорода (других бальмеровских линий не наблюдалось) от времени жизни; рассчитаны силы ли-

оп. 1966. 12)

ний и заселенности для нескольких уровней водорода. Обнаружена инверсия заселенности между четвертым и пятым электронными уровнями атомарного водорода, полученного в разряде  $\text{NH}_3$ , отсутствующая при пропускании разряда через чистый водород. Сделан вывод, что инверсия даже выше требуемой для действия лазера.

С. Бурейко

$\text{NH}_2$  Ghosh P. K., Bar E.J., 1966.

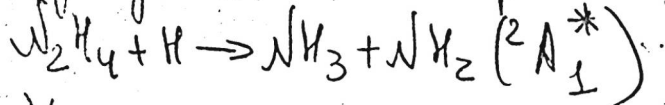
(+)

J. Chem. Phys., 1966, 45(12), 4738-41

Reactions of nitrogen-hydrogen radicals. I. Decomposition  
of hydrazine by hydrogen atoms.

Ucs. nomencl. cobond. reaksiun  $\text{NH}_2$ ,  
qto manuskr.

Установлено, что при взаимодействии с  $\text{NH}_2$  происходит  
отрывание атома водорода и в результате происходит



Коротковолн. излучение со сп. 50,7 км, при этом  
разность энергий  $\Delta H_f$   $\text{NH}_2$  возрастает  
сост. с излучением газификации.

NH<sub>2</sub>

(el. u)

Rb. uex.  
paracet

Popple J.A., Segal G.A. 1966

J. Chem. Phys., 1966, 44,  
n 9, 3289-3296.

● Cev BH<sub>3</sub>; III

1966

NH<sub>2</sub>

24121d Reactions of nitrogen-hydrogen radicals. II. Decomposition of hydrazine by hydrogen atoms. Pradip K. Ghosh and Edward J. Bair (Indiana Univ., Bloomington). *J. Chem. Phys.* 45(12), 4738-41(1966)(Eng); cf. *CA* 58, 6203c. The luminescent reaction of hydrazine with at. H was studied in flowing gas systems. The emission is due to NH<sub>2</sub> radicals, apparently produced by the process N<sub>2</sub>H<sub>4</sub> + H → NH<sub>3</sub> + NH<sub>2</sub>(<sup>2</sup>A<sub>1</sub>). Estimates of the emission quantum yield show that this is a relatively minor process. Accepting the conclusion of Schiavello and Volpi (*CA* 57, 14474b) that the major decompr. process is N<sub>2</sub>H<sub>4</sub> + H → N<sub>2</sub>H<sub>3</sub> + H<sub>2</sub> with a rate  $3.5 \times 10^8 \exp(-2000/RT)$  l./mole-sec., the temp. dependence of the emission intensity is interpreted in terms of these competing processes

C.A. 1967 · 66 · 6

to give a rate  $1.2 \times 10^5 \exp(-2600/RT)$  l./mole-sec. for the emission reaction. The emission spectrum has a short-wavelength limit corresponding to 50.7 kcal., yielding a value for the heat of formation of NH<sub>2</sub> consistent with other detns. The absorption spectrum shows an unexpectedly high concn. of NH<sub>2</sub> radicals in the reaction zone. This is consistent with the other known facts if the process, N<sub>2</sub>H<sub>3</sub> + H → 2NH<sub>2</sub>, becomes important when the [H]/[N<sub>2</sub>H<sub>4</sub>] ratio is large.

RCJQ

NH<sub>2</sub>

Trinajstic N. 1966

Croat. Chem. Acta, 38, 287.

Equivalent orbitals of NH,  
NH<sub>2</sub>, and NH<sub>3</sub>.

(con. NH)

$\text{BH}_2$ ,  $\text{CH}_2$ ,  $\underline{\text{NH}_2}$ ,  $\text{PH}_2$   $\bar{v} \ 6135^{1966}$   
(энергосистема смесей)

Walsh A.D.,  
Ann. Rep. Progr. Chem. (Chem. Soc.  
London), 1966, 63, 44-69.

66-й выпуск  
сборник

(cp)

lo.

613

ca 68

1984

№  
2Изучение  
импульсной  
фотолизу

1/9 Д662. Установка импульсного фотолиза для спектроскопических исследований. Dalal N. S., Krishna-machari S. L. N. G. Flash photolysis unit for spectroscopic studies. «Govt India Atomic Energy Commiss. (Rept)», 1967, N B. A. R. S.—296, 15pp., ill. (англ.)

Описывается установка импульсного фотолиза для исследования спектров поглощения промежуточных продуктов в газовой фазе. Принцип метода состоит в получении под действием мощных однократных световых импульсов короткоживущих лабильных состояний (радикалов) и регистрации их спектров поглощения. Приводится конструкция импульсных ламп: фотолизирующая лампа (разрядный промежуток 30 см, рабочий газ аргон,  $p = 40$  мм рт. ст.); фотографирующая (зондирующая) лампа-капилляр (рабочий газ ксенон,  $p = 10-15$  мм рт. ст.);

9.1988.90

лампы подсоединенны к вакуумной системе. Длительность светового импульса для фотолизирующей лампы  $\tau_{1/e} = 35-75$  мсек., для фотографич. лампы  $\tau_{1/e} = 15-35$  мсек. В работе используется многоходовая кювета, допускающая восьмикратное прохождение измерительного света.

Спектры продуктов фотолиза фотографируют на спектрографе с задержкой от 10 мсек. до 50 мсек. к моменту фотолизирующей вспышки. В качестве иллюстрации работы установки приведены спектры поглощения радикала  $\text{NH}_2$ , полученные фотолизом  $\text{NH}_3$ .

А. К. Чибисов

NH<sub>2</sub>

Dixon R.N.

1947

Molec. Phys., 12, v1, 83-90.

Приблизительное представление  
о величине концентрации атомов  
с одинаковыми спинами для  
электронных состояний  
валентных оболочек.

(See: CH)

1967

NH<sub>3</sub>

Fisher J.P., Henderson S.

(A)

U.S. Clearinghouse Fed.  
Sci. Tech. Inform., 1967,  
AD - 667033, 16 pp.

Ionization potential and  
heat of formation of  
the  $\text{N}(\text{CH}_3)_2$  radical  
by mass spectrometry

[catal. (CH<sub>3</sub>)<sub>2</sub>N]

T

NH<sub>2</sub>

C<sub>2</sub>H<sub>2</sub>

HCHO

(~~Other substances~~)  
(Aliphatic)

(+Lum.)

C.A. 1968-69-4

XIII - 302

1967

(14444j) High resolution electronic spectra of polyatomic molecules. Innes, X. (Vanderbilt Univ., Nashville, Tenn.). Proc. Int. Conf. Spectrosc., 1st, Bombay 1967, 1, 219-21 (Eng). The use of rotational structure and the Franck-Condon principle in the characterization of electronic states of nonlinear, polyat. mols., such as NH<sub>2</sub>, C<sub>2</sub>H<sub>2</sub>, HCHO, was described. The low and high resoln. spectra of HCHO vapor were discussed. HCHO in the excited state, unlike the ground state, is pyramidal. The spectra of s-tetrazine and pyrazine were examd. at 5000 and 3000 Å., resp. The simple Franck-Condon envelopes in each case showed that the mol. retains its symmetry ( $D_{2h}$ ) in the excited state. By the use of isotopic substitution of N and H, it was possible to obtain enough rotational consts. to det. the coordinates of atoms in each electronic state.

BWJN



IX

NH<sub>2</sub>

Bsp - M 2569. IV

1907  
54

Johns N.W.C.

Canad. J. Phys., 45, N 8, 2639.

Квази-линейные зондажи  
в немонотрех пространствах  
линейных полиномах.

(See. MCN)

NH<sub>2</sub>

Okabe H., Lenzi M.  
J. Chem. Phys.  
47, N12, 5241

1967

Ромодекссесащие NH<sub>3</sub>  
б вакуумной PP-авиа-  
ции.

(ал. NH<sub>3</sub>) III

Chem. noct. |  $X_2O$ ,  $X_2S$ ,  $X_2Se$ ,  $SO_2$ ,  $NO_2$   
 $ClO_2$ ,  $NX_2$ ,  $PX_3$ ,  $AsX_3$ ,  $SeX_3$ ,  $ige$  1967  
 $X = \frac{HDT}{}$ )

Strey G., J. Molec. Spectrosc.,  
1967, 24, N1, 87-99

Extremal properties of force  
constants. Part I.

Period. 40

(P)

Aug 2017

NH<sub>2</sub>

89 - XIII - 1239

1968  
8 Д146. Асимметричный волчок в электронной спектроскопии. Эффекты центробежного искажения и взаимодействия электронных спинов в спектрах NH<sub>2</sub> и CH<sub>2</sub>. Duxbury G. The asymmetric rotor in electronic spectroscopy. Centrifugal distortion and electron spin coupling effects in the spectra of NH<sub>2</sub> and CH<sub>2</sub>. «J. Molec. Spectrosc.», 1968, 25, № 1, 1—11 (англ.)

Выполнен анализ эксперим. данных об электронно-колебательно-вращательных спектрах радикалов NH<sub>2</sub> и CH<sub>2</sub> с учетом поправок центробежного искажения и спин-вращательного взаимодействия. Методом наименьших квадратов определены значения вращательных постоянных  $A(000) = 23,692 \pm 0,004 \text{ см}^{-1}$  ( $20,114 \pm 0,008$ ),  $B(000) = 12,939 \pm 0,004$  ( $11,192 \pm 0,006$ ) и  $C(000) = -8,181 \pm 0,004$  ( $7,070 \pm 0,004$ ) основного колебательного состояния (000) электронного уровня  $\tilde{X}^2B_1$  радикала NH<sub>2</sub>.

9. 1968. 89

1968

и уровня  $\tilde{a}^1A_1$  радикала  $\text{CH}_2$  (цифры в скобках), четырех независимых постоянных центробежного искажения  $\tau_{aaaa} = -0,0744 \pm 0,0011 (-0,0466 \pm 0,0022)$ ,  $\tau_{bbbb} = -0,0060 \pm 0,0002 (-0,0060 \pm 0,0004)$ ,  $\tau_{aabb} = 0,0156 \pm 0,0011 (0,0150 \pm 0,0022)$ ,  $\tau_{abab} = -0,0035 \pm 0,0006 \times (-0,0021 \pm 0,0010)$  и значений диагональных компонент тензора спин-вращательного взаимодействия  $\epsilon_{aa} = -0,292 \pm 0,007$ ,  $\epsilon_{bb} = -0,054 \pm 0,007$  и  $\epsilon_{cc} = -0,001 \pm 0,007 \text{ см}^{-1}$  для уровня  $\tilde{X}^2B_1$  радикала  $\text{NH}_2$ . Отмечено возмущение колебательно-вращательных состояний уровня  $\tilde{a}^1A_1$  радикала  $\text{CH}_2$  колебательно-вращательными состояниями уровня  $\tilde{X}^3\Sigma_g^-$ .

М. Р. Алиев

1968

44378n Asymmetric rotor in electronic spectroscopy: centrifugal distortion and electron spin coupling effects in the spectra of NH<sub>2</sub> and CH<sub>2</sub>. G. Duxbury (Univ. Sheffield, Engl.). *J. Mol. Spectrosc.* 25(1), 1-11(1968)(Eng). Centrifugal distortion consts. and three spin-rotation interaction consts. of NH<sub>2</sub>,  $\tilde{X}$ ,  $^2B_1$  are derived from the data of Dressler and Ramsay. The values of the spin-rotation consts. are  $\epsilon_{aa} = -0.292 \pm 0.007$  cm.<sup>-1</sup>,  $\epsilon_{bb} = -0.054 \pm 0.007$  cm.<sup>-1</sup>, and  $\epsilon_{cc} = -0.001 \pm 0.007$  cm.<sup>-1</sup>, showing an asymmetry effect in the spin splitting, and are in good agreement with those predicted by Dixon on the basis of a single electron configuration wave function. The energy levels of the  $\tilde{\alpha}$ ,  $^1A_1$  state of CH<sub>2</sub> calcd. with revised parameters are used as evidence that the  $\tilde{\alpha}$ ,  $^1A_1$  state is perturbed by the  $\tilde{X}$ ,  $^3\Sigma_g^-$  state and an est. of the sepn. is given. 18 references.

RCKP

C.A. 1968. 66 · 10



NH<sub>2</sub>

Gordon M.S.  
et al

1968

paper  
partial.  
unref.

"J. Chem. Phys."  
1968, 49, N10, 4643-50.

● (in CH<sub>2</sub>; III)

1968

NR<sub>2</sub>

15472z Molecular dynamics study by the neutron inelastic scattering method. V. Thiourea. Comment. Trevino, Samuel F. (Picatinny Arsenal, Dover, N.J.). *Physica* 1968, 40(1), 160 (Eng). The work of A. Bajorek, *et al.* (1967) on inelastic neutron scattering by thiourea at -160° is discussed. The assignment of the 637-cm.<sup>-1</sup> vibration should be changed to an NH<sub>2</sub> wag. The assignment of the 5 neutron bands would thus be: 443.6 cm.<sup>-1</sup>, NH<sub>2</sub> torsion; 521 cm.<sup>-1</sup>, NH<sub>2</sub> torsion; 637 cm.<sup>-1</sup>, NH<sub>2</sub> wag; 790 cm.<sup>-1</sup>, NH<sub>2</sub> wag; and 1104 cm.<sup>-1</sup>, NH<sub>2</sub> wag.

JDJN

C.A. 1969.70.4

1969

NM

2

9 Б1036. Тепловые реакции ионов  $O_2^+$  и  $O^-$  в газообразном аммиаке. Bohme D. K., Fehsenfeld F. C. Thermal reactions of  $O_2^+$  and  $O^-$  ions in gaseous ammonia. «Canad. J. Chem.», 1969, 47, № 14, 2715—2717 (англ.)

По методике исследования послесвечения потока газа установлены типы р-ций и скорости р-ций ионов  $O_2^+$  и  $O^-$  с  $NH_3$  при  $21,4^\circ$ . Послесвечение наблюдалось в чистом кислороде и в смеси гелия с кислородом. Имеют место четыре типа реакции:  $O_2^+ + NH_3 \rightarrow NH_3^+ + O_2$ ;  $NH_3^+ + NH_3 \rightarrow NH_4^+ + NH_2$ ;  $NH_4^+ + NH_3 + O_2 \rightarrow NH_4^+ \cdot NH_3 + O_2$ ;  $O^- + NH_3 \rightarrow OH^- + NH_2$ . Скорости р-ций ( $10^{-9} \text{ см}^3/\text{сек}$ ) равны соответственно: 2,6; 1,6; 1,8; 1,2. Перенос заряда осуществляется в ходе первой р-ции. В третьей р-ции образуются кластерные ионы. Возникающие в ходе четвертой реакции ионы гидроксила не реагируют с молекулами аммиака, из чего следует, что сродство к электрону молекулы  $NH_2$  может быть меньше 1,10 эв.

С. Ф. Шушурин

Средний балкЭнергия ядер

X. 1970. 9

NH<sub>2</sub>

1969

17 Б259. О характеристических колебаниях группы NH<sub>2</sub>. Cain B. R., Freeman J. M., Henshall T. On the characteristic vibrations of the NH<sub>2</sub> group. «Canad. J. Chem.», 1969, 47, № 16, 2947—2952 (англ.)

Методом групповых колебаний выполнен анализ норм. колебаний группы R—NH<sub>2</sub>. Выведены ф-лы для кинематич. коэф. Использовано модифицированное валентное силовое поле. Путем разделения высоких и низких частот получены ф-лы, связывающие частоты колебаний группы NH<sub>2</sub> с силовыми постоянными R—NH<sub>2</sub>. Результаты применены к расчету частот метиламина. Выполнен также точный расчет частот метиламина и показано, что частоты группы NH<sub>2</sub>, вычисленные точно и приближенно, отличаются незначительно.

М. Р. Алиев

Vi

V. 1970. 7



+2



1969

CH<sub>3</sub>NH<sub>2</sub>

55124q Characteristic vibrations of the NH<sub>2</sub> group. Cain,  
B. R.; Freeman, Joan M.; Henshall, Thomas (Univ. Salford,  
Salford, Engl.). *Can. J. Chem.* 1969, 47(16), 2947-52 (Eng).

The group frequency factorization procedure developed by King  
and Crawford for the redn. in size of a vibrational secular deter-  
minant, by factorizing from it those frequencies that are charac-  
teristic of a constituent group, and subsequently extended by  
the authors has now been successfully applied to NH<sub>2</sub> group  
vibrations. The method is exemplified by the skeletal vibra-  
tions of methylamine, for which satisfactory results are obtained  
on factorization from the secular determinant of frequencies  
that are characteristic of both NH<sub>2</sub> and Me groups. RCCM

+2

C.A. 1969

71-12



1969

NH<sub>2</sub>NHD2NP cured  
by ear juice

118223d Reinterpretation of the ESR spectrum of NH<sub>3</sub>, NHD, and ND<sub>2</sub> in argon at 4°K. Cochran, Edward L.; Adrian, Frank J.; Bowers, Vernon A. (Johns Hopkins Univ., Silver Spring, Md.). *J. Chem. Phys.* 1969, 51(6), 2759-61. (Eng). A more highly resolved ESR spectrum than previously reported (S. N. Foner, *et al.*, 1958) was recorded of the uv photolysis products of partially deuterated NH<sub>3</sub> in Ar at 4.2°K. Strong sharp lines assumed to be the center lines of N hyperfine splitting (hfs) multiplets ( $M_n = 0$ ) for which the N hfs = 0 and broad weak lines assumed to be the outer lines of N hfs multiplets ( $M_n = \pm 1$ ) were observed. The reassignment of signals in the spectrum is shown and removes the apparent isotope shift in the N hfs const.

FBJN

+1

X

C.A. 1969.

71-24

1969

NH<sub>2</sub>

(A)

102233c Electron affinity and dipole moment of C<sub>2v</sub> molecules  
(NH<sub>2</sub>, H<sub>2</sub>S). Phillips, Alfred, Jr. (Howard Univ., Washington,  
D.C.). 1969, 105 pp. (Eng). Avail. Univ. Microfilms, Ann  
Arbor, Mich., Order No. 70-2003. From *Diss. Abstr. Int. B*  
1970, 30(8), 3814-15.

SNDC

+1

C.II.1970

X3.20



NH<sub>2</sub>

Ehrenson S.

1969

J.A.C.S.,

91, N<sub>14</sub>, 3693

pl.-seex.  
pacet

(C<sub>6</sub>H<sub>5</sub>CH<sub>2</sub>)<sub>2</sub>III

unpublished (21, n.n.).

1969

Puranik P.G., Sircleshwar L.

Indian J. Pure and Appl. Phys.,

1969, 7, v12, 730-732 (acc.).

Potential constants and mean  
amplitudes of vibration of nitrami-  
de.

Pubd, 1970, 13589

NH<sub>2</sub>

1980

1 Д191. Неэмпирические расчеты неограниченным методом Хартри—Фока. II. Радикал NH<sub>2</sub>. Claxton T. A.  
Ab initio UHF calculations. Part 2. The NH<sub>2</sub> radical.  
«Trans. Faraday Soc.», 1970, 66, № 571, Part 7, 1537—  
1539 (англ.)

кв.-мех.  
расчет

Неограниченным методом Хартри—Фока в миним. базисе АО ССП, выраженных в виде линейных комбинаций гауссовых ф-ций (9 типа *s* и 5 типа *p*), осуществлен расчет NH<sub>2</sub> с оптимизацией угла HNH (105°) и экспоненты атома Н (1,35). Вычисленные константы сверхтонкого взаимодействия  $a_{\text{II}} = -22,33$ ,  $a_{\text{N}} = 8,46 \text{ гс}$ , хорошо согласуются с эксперим. данными. Ч. I см. РЖФиз, 1970,  
8Д147.

А. П. Клягина

Ф. 1981

18

NH<sub>2</sub>

1970

M.U:

(80595t) Ab initio UHF [unrestricted Hartree-Fock] calculations. 2. NH<sub>2</sub> radical. Claxton, Thomas A. (Dep. Chem., Univ. Leicester, Leicester, Engl.). *Trans. Faraday Soc.* 1970, 66(7), 1537-9 (Eng). Calcns. for NH<sub>2</sub> by using a minimal basis set of SCF AO, expressed as a linear combination of gaussian orbitals, are optimized by detg. the theoretical bond angle (105°) and H AO exponent (1.35). After this partial optimization the calcd. hyperfine coupling consts. are:  $a_{\text{H}} = -22.33$ ;  $a_{\text{N}} = 8.46 \text{ G}$ , in excellent agreement with expt. RCTD

Ab. expt.  
paereū

C.I. 1970.73.16

NH<sub>2</sub> om̄m̄uek A. 1655 1970

Milligan D. E. et al.

Phys Chem 1970, 4, 143-  
231 (seeed)

Спектр поглощ...

NH<sub>3</sub>

cu no. 00

1971

Boyd R.Y.,  
Whitehead M.A.

J. Chem. Soc.,

8

1941, 22, 4, 22, 3549

(Cu. Br) III

Сравнение орбит. периодов и массовых  
поменувшихся геоэнергетических (2V)  
систем гора-шеров.

М-на орбит. I II III . IV экспр.

$NH_2$	$b_1$	12.71	11.46	12.92	11.70	11.4
	$a_1$	13.58	12.74	15.39	14.05	
	$b_2$	14.35	13.32	13.69	13.20	
	$a_2$	28.55	29.11	24.52	24.85	

NH<sub>2</sub>

XIII - 1956

1971

4Д141. Расщепление между электронными состояниями  $^2B_1$  и  $^2A_1$  радикала NH<sub>2</sub>. Bender Charles F., Schaefer Непгу F., ГГ. Electronic splitting between the  $^2B_1$  and  $^2A_1$  states of the NH<sub>2</sub>. radical. «J. Chem. Phys.», 1971, 55, № 10, 4798—4803 (англ.)

Неэмпирическим методом ССП МО с ограниченным учетом конфигурац. взаимодействия (КВ) в расширенном базисе объединенных гауссовых ф-ций рассчитано основное  $^2B_1$ - и первое возбужденное  $^2A_1$ -состояния радикала NH<sub>2</sub>. Расчет КВ выполнен в рамках предложенной ранее процедуры итерационных натуральных орбиталей (РЖФиз, 1970, 2Д135). В КВ учтены только конфигурации, содержащие не более 1 МО, лежащей выше валентных МО, а из вырожденных по спину состояний одной и той же конфигурации отбирались те, которые

черт.  
стор.

оп. 1972. 49

взаимодействуют с основной конфигурацией ССП. Расчитанные геометрич. параметры  $\theta=105,4^\circ$ ,  $r=1,019 \text{ \AA}$  (ССП),  $\theta=102,7^\circ$ ,  $r=1,055 \text{ \AA}$  (ССП+КВ) для состояния  $^2B_1$  и  $\theta=141,9^\circ$ ,  $r=0,997 \text{ \AA}$  (ССП),  $\theta=144,7^\circ$ ,  $r=1,010 \text{ \AA}$  (ССП+КВ) для состояния  $^2A_1$ , согласуются с эксперим. значениями,  $\theta=103,3\pm0,5^\circ$ ,  $r=1,024 \text{ \AA}\pm0,005 \text{ \AA}$ ;  $\theta=144\pm5^\circ$ ,  $r=0,97\div1,00 \text{ \AA}$ . Разница между энергией линейной структуры и энергией равновесной конформации в возбужденном состоянии  $^2A_1$  найдена равной  $1370 \text{ см}^{-1}$ .

(ССП),  $1030 \text{ см}^{-1}$  (ССП+КВ), эксперим. значение —  $770\pm100 \text{ см}^{-1}$ . Расщепление уровней составило  $12\ 800 \text{ см}^{-1}$  (ССП),  $14\ 500 \text{ см}^{-1}$  (ССП+КВ), эксперимент —  $11\ 000 \text{ см}^{-1}$ .

NH<sub>2</sub>

расщеп.

и.и., ЭЛ,

иссл.

стр - ра,  
иссл. иссл.

РЖХ, 1972, № 9

XIII - 1956

1971

9 Б18. Электронное расщепление между состояниями  $^2B_1$  и  $^2A_1$  радикала  $\text{NH}_2$ . Bender Charles F., Schaefer Непгу F., III. Electronic splitting between the  $^2B_1$  and  $^2A_1$  states of the  $\text{NH}_2$  radical. «J. Chem. Phys.», 1971, 55, № 10, 4798—4803 (англ.)

Методом ССП МО ЛКАО без учета и с учетом конфигурац. взаимодействия (с включением конфигураций, содержащих не более одной спин-орбитали сверх валентной оболочки и в рамках процедуры итерац. натуральных орбиталей, ИНО) рассчитано основное ( $^2B_1$ ) и первое возбужденное ( $^2A_1$ ) состояния радикала  $\text{NH}_2$ .

в базисе объединенных гауссовых функций с добавлением ф-ций поляризации  $d$ -АО на N и  $p$ -АО на H. Получены след. оптим. геометрич. параметры в методе ССП и ИНО:  $^2B_1$ ,  $\angle_{\text{HHN}}(0)$ :  $105,4^\circ$  и  $102,7^\circ$ ,  $r_{\text{NN}}$ : 1,019 и 1,055 Å;  $^2A_1$ ,  $\theta$ :  $141,9^\circ$  и  $144,7^\circ$ ,  $r$ : 0,997, 1,010 Å, с расщеплением  $^2B_1 - ^2A_1$  12 800 и 14 500 см $^{-1}$  и барьером перехода из угловой формы в линейную для состояния  $^2A_1$  1370 и 1030 см $^{-1}$ . Вычисленные значения силовых констант соответствуют эксперим. оценкам.

А. П. Клягина

N-H pagukad

NH<sub>2</sub>

Compound  
naphthal.

pacem

C.A. 1971 p. 252

XIII-1956

1971

145735b) Electronic splitting between the <sup>1</sup>B<sub>1</sub> and <sup>1</sup>A<sub>1</sub> states of the amino radical. Bender, Charles F.; Schaefer, Henry E., III (Lawrence Radiat. Lab., Univ. California, Livermore, Calif.). *J. Chem. Phys.* 1971, 55(10), 4798-803 (Eng). Theoretical calcns. are reported for the ground and 1st excited states

of NH<sub>2</sub>. A contracted Gaussian basis of 4s, 2p, and 1d functions is centered on the N atom, while for H 2s and 1p functions are used. Both self-consistent-field (SCF) and multiconfiguration 1st-order wave-functions have been computed, the latter using the iterative natural-orbital method. The new theoretical ideas were tested and found useful: (a) Bunge's partitioning of degenerate spaces and (b) a procedure for generating uniform sets of starting orbitals for multiconfiguration calcns. For the <sup>1</sup>B<sub>1</sub> state the SCF, configuration interaction (CI), and exptl. geometries are  $\theta = 105.4^\circ$ ,  $r = 1.019 \text{ \AA}$ ;  $\theta = 102.7^\circ$ ,  $r = 1.055 \text{ \AA}$ ;  $\theta = 103.3 \pm 0.5$ ,  $r = 1.024 \pm 0.005 \text{ \AA}$ . The analogous results for the <sup>1</sup>A<sub>1</sub> state are  $\theta = 141.9^\circ$ ,  $r = 0.997 \text{ \AA}$ ;  $\theta = 144.7^\circ$ ,  $r = 1.010 \text{ \AA}$ ;  $\theta = 144 \pm 5$ ,  $r = 0.97-1.00 \text{ \AA}$ . For the upper <sup>1</sup>A<sub>1</sub> state the barrier to linearity is 1370 cm<sup>-1</sup> in the SCF approxn., 1030 cm<sup>-1</sup> from the correlated wavefunctions, and 770  $\pm$  100 cm<sup>-1</sup> exptl. The <sup>1</sup>B<sub>1</sub>-<sup>1</sup>A<sub>1</sub> splitting  $T$ , is predicted to be 12,800 cm<sup>-1</sup> (SCF) and 14,500 cm<sup>-1</sup> (CI), whereas the exptl. value is thought to be  $\sim$ 11,000 cm<sup>-1</sup>. Potential curves are shown and electronic structure considerations discussed.

NH<sub>2</sub>

XII - 704

1971

130571a, Molecular orbital study of NH<sub>2</sub>, NO<sub>2</sub>, and NF<sub>2</sub>.  
DelBene, Janet (Dep. Chem., Youngstown State Univ., Youngs-  
town, Ohio). *J. Chem. Phys.* 1971, 54(8), 3487-90 (Eng). The  
orthogonality constrained basis set expansion method was used to

rb-wex  
pacet  
det. SCF wavefunctions for ground and lower excited doublet  
states of NH<sub>2</sub>, NO<sub>2</sub>, and NF<sub>2</sub>. The calcns. on NO<sub>2</sub> and NF<sub>2</sub> were  
performed by using a minimal basis set, and both minimal and  
extended bases were used in the study of NH<sub>2</sub>. Geometries and  
dipole moments of the various states were obtained and found to  
be in good agreement with available exptl. data. Calcd. vertical  
and 0-0 transition energies in these systems were also found to  
approximate the exptl. detd. excitation energies. RCJQ

+2

C.A. 1971 8424



NH<sub>2</sub>

XIII-704

1971

21 Б28. Исследование молекулярных орбит NH<sub>2</sub>, NO<sub>2</sub> и NF<sub>2</sub>. Del Bene Janet E. Molecular orbital study of NH<sub>2</sub>, NO<sub>2</sub>, and NF<sub>2</sub>. «J. Chem. Phys.», 1971, 54, № 8, 3487—3490 (англ.)

Иосиф  
СР - Р2

С помощью предложенного варианта метода МО ЛКАО ССП с однодетерминантной функцией, включающей  $N$  МО, занятых двумя электронами и одну МО с одним электроном с разложением базисного набора, ограниченным ортогональностью (см. РЖХим, 1970, 9Б16) проведен расчет систем с дублетным основным состоянием: NH<sub>2</sub>, NO<sub>2</sub> и NF<sub>2</sub> для основного и некоторых возбужденных состояний с варьированием по длинам связей и валентному углу. Для NO<sub>2</sub> и NF<sub>2</sub> использовался миним. базисный набор в виде 3 ГФ на АО с одинаковыми экспонентами для 2s- и 2p-АО, для NH<sub>2</sub>, кроме того, расши-



X. 1971.21

ренный набор по 4 ГФ, разделенных для валентных АО на две группы — внешнюю и внутреннюю (3+1 ГФ) с оптимизацией по энергиям атомов. Для  $\text{NH}_2$  основной конфигурацией является  $1a_1^2 2a_1^2 1b_2^2 1b_1^1 3a_1^2$   ${}^2B_1$ , а в состоянии  ${}^2A_1$  электрон с  $3a_1$  перешел на  $1b_1$ ; вычисленные расстояния в миним. базисе 1,06 и 1,02 Å, углы 100° и 131°, разность энергий  ${}^2A_1 \leftarrow {}^2B_1$  2,09 эв; в расширенном базисе, соотв., 1,01 и 0,98 Å, 108° и 144° и 1,13 эв, дипольный момент меняется при расширении базиса от 1,77 до 2,40 D в основном и от 0,84 до 0,97 D в возбужденном состоянии, причем показано, что отличия связаны не просто с увеличением числа ГФ, а с их делением на группы. Для  $\text{NO}_2$  основной конфигурацией является  $1a_1^2 1b_2^2 2a_1^2$   $3a_1^2 1b_1^2 2b_2^2 3b_2^1 1a_2^2 4a_1$   ${}^2A_1$ , затем идет терм  ${}^2A_2$  с верхними МО  $3b_2^2 1a_2 4a_1^2$  и  ${}^2B_2 \dots 3b_2^1 1a_2^2 4a_1^2$ . В перечисленных термах найдены расстояния 1,24; 1,30 и 1,30 Å, углы 132°, 116° и 95°, дипольные моменты 0,19; 0,56 и 0,37 D, энергии возбуждения в  ${}^2A_2$  0,37 и в  ${}^2B_2$  0,86 эв. В  $\text{NF}_2$  основной конфигурацией является  $1a_1^2 1b_2^2 2a_1^2 2b_2^2 3a_1^2 1b_1^1 1a_2^2 3b_2^2$   $4a_1^2 2b_1$   ${}^2B_1$  с валентным углом 102° и расстоянием 1,35 Å, в возбужденном состоянии  ${}^2A_1$  электрон с  $4a_1$  переходит на  $2b_1$ , угол 120°, расстояние N—F 1,37 Å, дипольные моменты 0,49 и 0,39 D, энергия возбуждения 3,81 эв.

М. Дяткина

NH<sub>2</sub>

A-2546

1971

Gimarc B. et al.

J. Amer. Chem. Soc.  
1971, 93, N<sub>3</sub>, 593-9

edsp  
uoc.  
eucyklu.)

(ex. NH<sub>3</sub>; III)

NH<sub>2</sub>

paciem<sup>(X)</sup>  
BPP-3056-1X

Hausser K.-H.

1941

Frenkel E.

Theor. chim. acta 1971,  
22, N2, 105-112



(Ces. Bett<sub>2</sub>)<sup>III</sup>

NH<sub>2</sub>

[Om. 18105]

1971

Herzberg G.,  
Spectroscopic Studies of  
molecular structures,  
Nobel Lecture, December  
11, 1971.

CH<sub>3</sub>, CH<sub>2</sub><sup>+</sup>, CH<sub>2</sub><sup>-</sup>, CH<sub>2</sub><sup>0</sup>, CH<sub>3</sub><sup>+</sup>, CH<sub>3</sub><sup>-</sup>  
CH<sub>4</sub>; CH<sub>4</sub><sup>+</sup>, CH<sub>5</sub><sup>+</sup>; CH<sub>5</sub><sup>+</sup>, NH<sub>3</sub><sup>+</sup>, NH<sub>2</sub><sup>+</sup>, NH<sub>2</sub><sup>-</sup>, NH<sub>3</sub><sup>0</sup>  
NH<sub>4</sub><sup>+</sup>, NH<sub>2</sub><sup>+</sup>; NH<sub>2</sub><sup>-</sup>; NH<sub>3</sub><sup>0</sup>; NH<sub>3</sub><sup>+</sup>; NH<sub>4</sub><sup>+</sup>

XI 2757 NH<sub>4</sub><sup>+</sup>; NH<sub>4</sub><sup>+</sup>; O<sub>2</sub>O, OH<sup>+</sup>, OH<sub>2</sub><sup>+</sup>; OH<sub>2</sub><sup>+</sup>  
OH<sub>2</sub><sup>+</sup>; OH<sub>3</sub><sup>+</sup>; OH<sub>3</sub><sup>0</sup>; OH<sub>3</sub><sup>-</sup>; OH<sub>2</sub><sup>+</sup>, OH<sub>2</sub><sup>0</sup>, OH<sub>2</sub><sup>-</sup>

Lathan W.A., Hebre W.J., Curtiss S.A.,  
Popel J.A.

J. Amer. Chem. Soc.; 1971, 93, N<sup>o</sup> 24,  
6377-87

b

PX72

1971

NH<sub>2</sub> pagukas

19984q Formation of NH<sub>2</sub> radical in a  $\gamma$ -irradiated frozen aqueous azide system. Moorthy, P. N.; Rao, K. N.; Shankar, J. (Chem. Div., Bhabha At. Res. Cent., Trombay, India). *Nature (London), Phys. Sci.* 1971, 234(44), 17-18 (Eng). The NH<sub>2</sub> radical was obsd. in the ESR spectrum of  $\gamma$ -irradiated 0.5M aq. NaN<sub>3</sub> at  $\geq -196^\circ$ .

$\gamma$ -pagukas.

C.A.

1972.46.4

XIII -2211

1972

CH<sub>2</sub>, NH<sub>2</sub>, BH<sub>2</sub> (kb. ex. paecesi)

Brews L. S.,

J. Chem. Phys., 1972, 57, n<sup>8</sup>,  
3167-74

10

1972

NH<sub>2</sub>OHSHрасчет

X. 1972

77

17 Б42. Константы изотропного сверхтонкого расщепления в радикалах  $\text{NH}_2$ ,  $\text{OH}$  и  $\text{SH}$ . Bendazzoli G. L., Bernardi F., Palmieri P. Isotropic hyperfine coupling constants for  $\text{NH}_2$ ,  $\text{OH}$  and  $\text{SH}$  radicals. «Mol. Phys.», 1972, 23, № 1, 193—196 (англ.)

На примере расчета констант изотропной СТС в  $\text{NH}_2$ ,  $\text{OH}$  и  $\text{SH}$  обсуждена адекватность методов расчета и выбора базисных АО в расчетах констант СТС в радикалах. Исследованы неограниченный метод Хартри — Фока (НХФ) с амниглиацией квартетной компоненты и ограниченный метод Хартри — Фока с конфигурац. взаимодействием (ХФ — КВ). В рамках этих методов со-поставлены три способа выбора базисных АО: 1) ими-  
тация миним. базиса АО слейтеровского типа Клементи и Раймонди с представлением каждой АО в виде ли-нейной комбинации 4-х гауссовских функций, 2) ими-

(72) A

тация двухэкспонентного базиса Клементи с аналогичным представлением АО, 3) стандартный базис сгруппированных гауссовых функций, предложенный Вейяром (см. РЖХим, 1969, 11Б15). В расчётах методом НХФ радикалов OH и SH, в к-рых орбитальное состояние неспаренного электрона дважды вырождено, применен метод средней энергии конфигурации, обобщенный авторами на случай метода НХФ. Найдено, что базисный набор (1) приводит к правильному знаку и порядку величины констант СТС от протонов  $a_{\text{H}}$  и к неудовлетворительным результатам для констант СТС от ядер тяжелых атомов, базисный набор (2) приводит к хорошему согласию с эксперим. значениями  $a_{\text{H}}$  и  $a_{\text{N}}$ , однако, в случае радикала OH метод НХФ дает слишком малое значение  $a_{\text{O}}$ , а метод ХФ — КВ даже неправильное значение знака  $a_{\text{O}}$ ; базисный набор (3) в методе НХФ приводит к значениям констант, значительно превышающим эксперим. величины, то же система в методе ХФ — КВ приводит к значительно лучшему согласию с экспериментом. Авторы приходят к след. выводам: для достаточно точных расчетов величины констант СТС от ядер тяжелых атомов необходим очень большой базис АО; слайтеровские АО существенно предпочтительнее в таких расчетах по сравнению с гауссовыми АО; при использовании базиса гауссовых АО метод ХФ — КВ предпочтительнее метода НХФ.

Г. М. Жидомиров

NH<sub>2</sub>

1972

9 Д154. Изотропные константы сверхтонкого взаимодействия радикалов NH<sub>2</sub>, OH и SH. Bendazzoli G. L., Вегларди F., Palmieri P. Isotropic hyperfine coupling constants for NH<sub>2</sub>, OH and SH radicals. «Mol. Phys.», 1972, 23, № 1, 193—196 (англ.)

В рамках неограниченного и ограниченного метода Хартри — Фока (в последнем случае учитывалось конфигурац. взаимодействие) выполнены расчеты констант сверхтонкого взаимодействия для радикалов NH<sub>2</sub>, OH и SH. Результаты расчетов привели к следующим заключениям. Для получения точных значений констант взаимодействия необходимо использовать большие орбитальные базисы, причем выбор формы волн. ф-ции зависит от природы используемых АО. С орбитами слэтеровского типа неограниченный метод Хартри—Фока дает, по-видимому, лучшее описание спин-поляризационных эффектов. С орбитами гауссова типа ограниченный метод Хартри—Фока с учетом конфигурац. взаимодействия обладает некоторыми преимуществами при корректировке неправильного поведения гауссовых орбиталей вблизи ядер атомов.

Ю. Удачин

+2

☒

$\text{NH}_2\text{-COH}$  (коникумаде, пасрём) 1972  
 $\text{N}, \text{O}$  (епогембо к. номону) 11 13 14

Bonaccorsi R., Pullman A., XI 2805

Serocco E., Tomasi J.,

Chem. Phys. Zett., 1972, 12, N 4, 622 -

624 (авн.)

N-versus O-proton affinities of  
the amide group: ab initio  
electrostatic molecular potentials.

Библи, 1972, 13559 10

1972

NH<sub>2</sub>

Breus, L.E.

Kb. mes.  
pace.

"J. Chem. Phys"

1972, 57(8), 3167-74.

(crys. CH<sub>2</sub>; III)

NH<sub>2</sub>

1972

Carsky P., Fahradičnik R.

зверк  
Симоен.

"Theor. chim. acta", 1972, 26,  
171-78.

(c.u. BH<sub>2</sub>, III)

NH<sub>2</sub>

Kileast &  
at el

1872

packet  
Rec'd. Oct.

J. Chem. Soc. Faraday,  
Trans. 1872, Part 2,  
68, N<sup>o</sup> 3, 435-43

X 1872 15

III, all NH<sub>2</sub>

$C_2$ ;  $N_2$ ;  $O_2$ ;  $H_2$ ;  $CH$ ;  $NH$ ;  $OH$ ;  $CN$ ;  $NO$ ;  
 $H_3$ ;  $H_4$ ;  $CH_2$ ;  $CH_3$ ;  $CH_4$ ;  $\underline{NH_2}$ ;  $\underline{NH_3}$ ;  $H_2O$ ,  
 $H_3O^+$  (8; parer)  $\sqrt{3315}$

Matthew F. M.; Ellison F.O.;  
J. Chem. Phys.; 1972, 57,  
N12, 5183-202

10 . PX 73 12  
()

XIII 2070

1972

NH<sub>2</sub>, AsH<sub>2</sub> (He<sup>-</sup>)

Smyth K.C., Braeman J.T.,  
J. Chem. Phys., 1972, 56, N9,  
4620-4625 (ann.)

10

NH<sub>2</sub>

XIII - 2722

1972

5 Д343. О структуре полосы Шустера. Weisbeck Roland. Zur Struktur der Schuster-Bande. «Z. Naturforsch.», 1972, 27a, № 11, 1687—1688 (нем., рез. англ.)

Полоса Шустера наблюдалась в спектре излучения СВЧ-разряда в протоке аммиака при давл. 10 мм рт. ст. В отличие от спектров излучения тлеющего и барьерного разрядов на фоне диффузной полосы с двумя максимумами при 5643 и 5681 Å обнаружено большое число узких интенсивных линий, часть из которых принадлежит радикалу NH<sub>2</sub>. Остальные линии, по-видимому, принадлежат многоатомным молекулам, образованным атомами N и H. Библ. 11.

В. Александров

Синтез.

ф. 1973 № 5

(см. Гиппес NH<sub>3</sub>)  
III

XIII-2122

1972

NH<sub>2</sub>

9 Б168. О структуре полосы Шустера. Weisbeck Roland. Zur Struktur der Schuster-Bande. «Z. Naturforsch.», 1972, 27a, № 11, 1687—1688 (нем., рез. англ.)

В спектре испускания МВ-разряда в аммиаке ( $p \approx 10$  мм) в области 5600—5700 Å наблюдали полосу Шустера, перекрытую рядом резких интенсивных линий. Примерно половина из этих линий отнесена  $\alpha$ -полосе радикала NH<sub>2</sub>. Остальные линии не идентифицированы; они, по-видимому, принадлежат нек-рой многоатомной молекулe, состоящей из атомов N и H. Резюме

Спектр  
шестер.

X.1973. № 9

NH<sub>2</sub>

(Zoos., M.N.)  
(S)

7 Б27. Расчеты небольших и алифатических радикалов в приближении ППДП для открытых оболочек. Электронные спектры и некоторые свойства основного состояния. Zahradník R., Čársky P. Open shell CNDO treatments on small and aliphatic radicals. Electronic spectra and some ground state properties. «Theor. chim. acta», 1972, 27, № 2, 121—134 (англ.; рез. нем., франц.)

1972.

По схеме ограниченного метода ССП МО ЛКАО для открытых оболочек в вариантах Рутана (Р) и Лонг-Хиггинса и Попла (ЛХП) с ограниченным учетом взаимодействия однократно возбужденных конфигураций рассчитаны электронные спектры и Пт ионизации радикалов  $\text{BH}_2$  (I),  $\text{NH}_2$  (II),  $\text{HCO}$  (III),  $\text{NO}_2$  (IV),  $\text{NF}_2$  (V),  $\text{HNCN}$  (VI),  $\text{BOF}_2$  (VII),  $\text{H}_2\text{NO}$  (VIII),  $\text{H}_2\text{CN}$  (IX). В расчетах использовано валентное приближение ППДП/2 и вариант ППДП Дель-Бене и Джраффе (ДБД) (РЖХим, 1968, 22Б74). Для I—V по схеме ППДП/2-ЛХП рассчитана равновесная геометрия в основном состоянии, разница между вычисленными и наблюдаемыми длинами связей и валентными углами ле-

XIII - 666

18

1

жит в пределах 0,02 Å и 5°. Для радикалов I, VI, VIII, IX обсуждены результаты расчета дипольных моментов. Сделан вывод, что схемы ППДП/2-Р и ППДП/2-ЛХП дают близкие результаты и удовлетворительно передают равновесную геометрию и дипольные моменты в основном состоянии, тогда как для расчета Пт ионизации и электронных спектров предпочтителен вариант ДБД, дающий удовлетворительное соответствие с экспериментом.

Г. М. Жидомиров

“<sup>17</sup>O  
але

1973



18 Б15. Применение неэмпирического неограниченного метода Хартри—Фока для расчета поверхностей потенциальной энергии малых свободных радикалов.  
 Brown R. D., Williams G. R. Application of the ab-initio UHF method to the calculation of potential energy surfaces of small free radicals. «Mol. Phys.», 1973, 25, № 3, 673—694 (англ.)

М.Н. Ес

Синтез

Удо:

В рамках неограниченного метода Хартри—Фока (НХФ) проведен расчет трех состояний  $\text{NH}_2(^2B_1, ^2A_1, ^2B_2)$ , а также основного ( $^2A_1$ ) и 1-го возбужденного ( $^2B_1$ ) состояний  $\text{BH}_2$  и  $\text{CH}_2^+$ . При расчете использованы функции НХФ и функции, в к-рых из функций НХФ исключена квартетная спиновая компонента. Расчеты выполнены в миним. базисе слейтеровских функций, к-рые при вычислении ряда двухэлектронных интегралов (обменных, гибридных и многоцентровых) аппроксимировались 3 гауссовыми АО каждая. Для всех состояний полу-

ЭКСІ


 $+2$ 
+1 обш. а. также  $\text{BH}_2$ 

Х. 1973 № 18

609

1

\*

7

\*

чены межъядерные расстояния  $R$  (AH) и валентные углы  $\theta$  (НАН) равновесных конфигураций (тип симметрии  $C_{2v}$ ), дипольные моменты, силовые постоянные, основные частоты колебаний, константы изотропного СТВ и электронные термы. Рассчитаны спиновые и полные заселенности. Результаты расчетов согласуются с имеющимися эксперим. данными. Определены вероятные продукты диссоциации для всех состояний. Отмечено, что при диссоциации  $\text{CH}_2^+$  оба состояния  ${}^2A_1$  и  ${}^2B_1$  дают атом С в основном состоянии, а при диссоциации  $\text{BH}_2$  ( ${}^2B_1$ ) получается атом В в возбужденном состоянии ( ${}^4P$ ). Даны оценки энергий диссоциации всех трех соединений в указанных состояниях. Проведен анализ локализованных МО, причем особое внимание уделено распределению несвязывающих электронов, где различия МО для разных спинов наиболее существенны. С помощью теоремы Кулмэнса определены Пт ионизации, согласующиеся для  $\text{NH}_2$  и  $\text{BH}_2$  с экспериментальными в пределах 1—5%.

М. Е. Ерлыкина

$\text{CH}_3$ ;  $\text{C}_2\text{H}_3$ ;  $\text{CN}$ ;  $\text{HCN}^-$ ;  $\text{H}_2\text{CN}$ ;  $\text{HCO}$ ;  $\text{CH}_3\text{CO}$ ;  $\text{CO}_2^-$ ;  $\text{NH}_2$ ;  $\text{NH}_3^+$ ;  $\text{H}_2\text{NO}$ ;  $\text{NO}_2$ ;  $\text{HBO}$ ;  $\text{BH}_3$ ;  $\text{O}_3$

(K.B.-uex.) 13

(pariet)

Chuvylkin N.D., Zhidomirov G.I., XIII 2247

Mol. Phys., 1973, 25, N5, 1233-5 (and.)  
 $^{13, 14, 15}$

CNDO/SP [complete neglect of differential overlap / spin polarization] calculation of g-tensors of free radicals cals.

10

(\*)

(cav. opinion) EA, 1973, 79, N10, 59418C<sup>20</sup>

NH<sub>2</sub>

Egger Kurt W.

1973

Cocks Alan P

4-1600

(He<sup>-</sup>)

"Helv. Chim. Acta"

1973, 56, N5, 1516-36.

NH-H (D<sub>0</sub>) XII 2479 1973

Masanet J., Fournier J., Verneuil C.

Can. J. Chem., 1973, 51, N17, 2946-51  
(canal.)

Photolysis of ammonia and  
perdeuterated ammonia  
at 185, 147, and 123.6 nm.

to

⊕

CA, 1973, 73, N24, 1414584

30925.6646

*MH<sub>2</sub>*

Библиотека

TE, Ph, Ch

49587

1151 1971

Stenkamp\_Larilyn\_Zeller, Davidson

PK-4324

Ernest R. An ICSGF investigation of  
 Walsh's rules. "Theor. chim. acta",  
 1973, 30, N 4, 283-314

(анн.)

0969 анк

952 954

96 2

ВИНИТИ

31121.7233

Ch, TE

NH<sub>2</sub>

29857

1973

1385

Tan Leok Peck, Linnett John W.

The lone-pair orbital in NH<sub>3</sub> and the calculation of the HNH angle.

"J.Chem.Soc.Chem.Communns", 1973, N. 19,  
736-737

(англ.)

4000 ру

986 989

1002

ВИНИТИ

$\text{BeH}_2$ ,  $\text{BH}_2$ ,  $\text{CH}_2$ ,  $\text{NH}_2$ ,  $\text{OH}_2$ ;  $\text{FH}_2$  1973  
Graauw, cip-pg, not ems. Fribusse,  
Jaccreim 18 4193

Tully J.C.,  
 $\text{J. Chem. Phys.}$ , 1973, 58, N<sup>o</sup> 4,  
1396-410

pp 73

20

(P)

31207.8421

Ch, Ph, TE

NH<sub>2</sub>

35223

1973

1403

Wasilyishen Roderick E., Schaefer T.

The geometrical dependence of experimental  
and theoretical nuclear spin-spin coupling  
constants in the <sup>15</sup>NH<sub>2</sub> fragment.

"Can. J. Chem." 1973, 51, N<sup>18</sup>, 3087-3096  
(англ., рез. франц.)

994 997 10131020 НИК ВИНИТИ

NH<sub>2</sub>

Zhidomirov G. M.

1973  
13.5.2

"J. Magn. Reson."

1973, 11, N3, 367-72.

Calculations of the anisotrop.  
hyperfine coupling const. in  
free radicals"

NH<sub>2</sub> arriv M. 1974  
Devillers C., Billot M.,  
Curtat M.

(unpub) J. Phys. Chem., 1974,  
78 n 14, 1356-60.

Isothermal flash photolysis  
of hydrazine

C.A. 1974. 81 n 14. 84346a

NH<sub>2</sub>

summer 1937

1974.

N. G. Baird, R. P. Barr.

leaves,  
sp.

rb. vex.

pacres

Theor. chim. Acta, 1974  
36, 125-34

40418.3698

Ch, Ph, TE

NH<sub>2</sub> XI-4054

96200 02

1974

5-4647

Brown R.D. Williams G.R. Ab initio calculations on some small radicals by the unrestricted Hartree-Fock method. "Chem. Phys.", 1974, 3, № 1, 19-34

(англ.)

0008 исх

074 074 080

ВИНИТИ

X1-4046

40515.8708  
TE, Ch, Ph, MGU $NH_2$ 

40892

(He)

1974  
2070Celotta R.J., Bennett R.A., Hall J.L.Laser photodetachment determination of  
the electron affinities of OH, NH<sub>2</sub>, NH,  
SO<sub>2</sub>, and S<sup>2-</sup>  
(*Rev. OH; III*)

"J.Chem.Phys.", 1974, 60, N 5, 1740-1745

(англ.)

088 091-093

0401 винити

40304.8874

TE, Ch, Ph

NH<sub>2</sub>

3.0526

1974

1876

Harisharan P.C., Pople J.A.

Accuracy of AH<sub>n</sub> equilibrium geometries by  
single determinant molecular orbital  
theory.

"Mol. Phys.", 1974, 27, N 1, 209-214

(англ.)

0057 6111

036 039

050

ВИНИТИ

Зак 6620

$\text{NH}_2$

1974

образов.  
радикала

2. 1974

№ 16

16 Б170. Изучение методами электронного paramagnитного резонанса и спектров флуоресценции процесса образования радикалов  $\text{NH}_2$  при электронном ударе в  $\text{NH}_3$ . Magx R., Dergoulede A., Maucaille G., Wallart M. ESR and fluorescence spectroscopy investigation of electron impact formation of  $\text{NH}_2$  radicals in  $\text{NH}_3$ . «Ber. Bunsen ges. phys. Chem.», 1974, 78, № 2, 205 (англ.)

Методами ЭПР, ионного циклотронного резонанса и спектров флуоресценции изучен распад молекул  $\text{NH}_3$  при электронном ударе с энергиями выше и ниже потенциала ионизации  $\text{NH}_3$ . При энергиях выше 12 эВ ~50% наблюдаемых радикалов  $\text{NH}_2$  образуется через возбужденные и сверхвозбужденные состояния, а остальная часть — путем ионно-молек. р-ций. Показано, что образование радикалов  $\text{NH}_2$  в основном и возбужденном состояниях соответствуют два максимума в электронном и фотонном возбуждении. Р. Г. М.

(+)  $\text{NH}_3$  распад (ЭПР метод)

1974

№ 2

бюджет по научно-исслед.

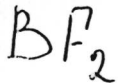
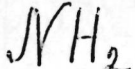
работе ИВТАН, отдел № 8

"Преимущества шин с в. в. а.  
автом. водопровода и их соедине-  
ний"

и.р.

отчеси 4349

1974



расчет

1 Б1111. Теоретическое обсуждение некоторых новых возбужденных состояний NH<sub>2</sub> и BF<sub>2</sub>. Thomson Colin, Brothie Douglas. A theoretical discussion of some novel excited states of NH<sub>2</sub> and BF<sub>2</sub>. «Mol. Phys.», 1974, 28, № 1, 301—303 (англ.)

На основании расчетов различными неэмпирич. методами МО обсуждается возможность существования для NH<sub>2</sub> и BF<sub>2</sub> возбужденных состояний с симметрией <sup>2</sup>B<sub>2</sub>. Согласно известным из лит-ры расчетам, оптим. геометрия NH<sub>2</sub>(<sup>2</sup>B<sub>2</sub>) соответствует атому N в возбужденном состоянии, слабо связанному с молекулой H<sub>2</sub>. Показано, что этот вывод ошибочен и обусловлен неточностью одноконфигурац. приближения. В действительности NH<sub>2</sub>(<sup>2</sup>B<sub>2</sub>) должно быть нестабильным. Расчет BF<sub>2</sub> показывает, что для него возможны 2 стабильных состояния <sup>2</sup>B<sub>2</sub> с углами между связями B—F 46 и 60° и расстояниями F—F 2,5 и 3,10 ат. ед. соотв. (у F<sub>2</sub> это расстояние равно 2,68 ат. ед.).

В. Е. Скурат

2. 1975. N1

(+1) X

если отнести  
Радиоды

Отмечено 4349 1974

NH<sub>2</sub>

BF<sub>2</sub>

(Ei)

СД134? Теоретическое обсуждение некоторых новых возбужденных состояний молекул NH<sub>2</sub>, BF<sub>2</sub>. Thomson Colin, Brotchie Douglas. A theoretical discussion of some novel excited states of NH<sub>2</sub> and BF<sub>2</sub>. «Mol. Phys.», 1974, 28, № 1, 301—303 (англ.)

Обсуждается полученное (РЖФиз, 1973, 9Д85) возбужденное состояние симметрии <sup>2</sup>B<sub>2</sub> аминорадикала NH<sub>2</sub> и радикала BF<sub>2</sub>. Указанные состояния обнаружены в результате неэмпирич. расчетов на слэтеровском базисе; в работе исследуется влияние на результаты включения поляризационных ф-ций. Согласие с результатами (см. цит. выше) удовлетворительное. Делается вывод, что состояния симметрии <sup>2</sup>B<sub>2</sub> нестабильны в радикале NH<sub>2</sub> и стабильны в радикале BF<sub>2</sub>.

Э. Р. А.

ф. 1975 № 1.

(+1)



(+1) Саша

Minneapolis 4349

1974

NH<sub>2</sub>

BF<sub>2</sub>

KB. MET.  
paekem

Hancharaw.

✓ 35187m Theoretical discussion of novel excited states of amidogen and difluoroboryl. Thomson, Colin; Brotchie, Douglas (Dep. Chem., Univ. St. Andrews, St. Andrews, Scot.). *Mol. Phys.* 1974, 28(1), 301-3 (Eng). The restricted Hartree-Fock method with a near-Hartree-Fock basis set was used to det. the optimal geometry of NH<sub>2</sub> with <sup>2</sup>B<sub>2</sub> symmetry. This state of the radical was bound in the single-configuration approxn. Ab initio restricted Hartree-Fock calcns. on <sup>2</sup>B<sub>2</sub> states of BF<sub>2</sub> were performed using small Gaussian basis sets.

(+)

18

Bevys!

C.S. 1975, 22, N6

41101.5620

96615

02

1974

(TC, СБ)

 $NH_2$ 

#4-7096

Troy E.V. The structure of the  $NH_2$   
 group and its basicity. "J. Mol.  
 Struct.", 1973, 19, N 1, 301-307

(англ.)

 $NH_2$  7096У225 ПИК  
ВИНИТИ

198 1990 2 3 7

$\text{BH}_2 \cdot \text{CH}_2 \cdot \underline{\text{NH}}_2 \cdot \text{H}_2\text{O}$ . № 4185 1974.  
(см. указанные)

Wasserman E.

Chem. Phys. Lett., 1974, 24 (1),  
18-19.

Walsh's rules and the geometries of hydrides of boron, carbon, nitrogen, an oxygen.

C.A. 1974. 81 N 6. 29837 m. 10 ④ 11

pauses. un, D ( $BH$ ,  $BH_2$ ,  $BH_3$ ,  $CH$ ,  $CH_2$ , 5  
 $CH_3$ ,  $NH$ ,  $NH_2$ ,  $NH_3$ ,  $NO$ ,  $NO_2$ ,  $NO_3$ ,  
 $NF$ ,  $NF_2$ ,  $NF_3$ ) XIII-3547; 021.3489

Accioley C.S.R., Vyanna J.D.H.,  
J. Phys. B: Atom. and mol. Phys., 1975,  
B, n18, 2987-2994 (aum)

New basis set for molecular calculations. I A study of  $C_{2n}H_n$  molecules using the complete neglect of different overlap Proc Phys, 1976, 5D167. 10 (P)

50721-4245

TC, Ch, Ph.

29864

 $NH_2$ 

1975

ХУ-9475

Blustin Peter H. &amp; Linnett John W.

Applications of a simple molecular wave-function. Part 7. FSGO open-shell calculations on first-row polyatomic hydrides and hydride ions. "J.Chem.Soc. Faraday Trans.", 1975, 71, N 5, Part 2,  
 1058-1070 (англ.)

8543

379 382

еи. Велл (II)

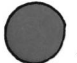
5

ВИНИТИ

NH<sub>2</sub> ( $D_0, \tau$ , & ext. noem. Kb. m.e. 1975  
pacem)

Canuto S. R. Vyanna J.D.H.  
J. Phys. B. 1975, 8, (18)  
2987-94

C.A. 1976. 84 N 12



80007 e (not emp)

\* 48- 8263

1975

H<sub>2</sub>N

Diwar M.J.S. et al.

Theor chim acta "

1975, 36, N3, 237-39

Vertical ionization potentials

(au. CH<sub>3</sub>; iii)

К-15-9255

1975

NH<sub>2</sub>

10 Д462. Обнаружение радикала NH<sub>2</sub> методом лазерной магнитно-резонансной спектроскопии. Davies P. B., Russell D. K., Thrush B. A., Wayne F. D. Detection of the amino radical NH<sub>2</sub> by laser magnetic resonance spectroscopy. «J. Chem. Phys.», 1975, 62, № 9, 3739—3742 (англ.)

Исследовано поглощение излучения лазера на парах воды в реакционных газовых смесях в присутствии СВЧ-разряда как функция напряженности магн. поля. Исследуемая смесь помещалась в резонатор лазера. Обнаружены линии поглощения радикала NH<sub>2</sub>, соответствующие нижнему колебательному уровню основного электронного состояния 2B<sub>1</sub> и отнесенные к отдельным зеемацковским компонентам вращательных переходов 2<sub>20</sub>—3<sub>31</sub> (78 мк, H<sub>2</sub>O-лазер), 1<sub>11</sub>—2<sub>20</sub> (118,7 мк, H<sub>2</sub>O-лазер) и 7<sub>35</sub>—7<sub>44</sub> (108 мк, D<sub>2</sub>O лазер). Библ. 18.

Е. Александров

ф. 1975 № 10

18552e

\*IS-9255

1975

NH<sub>2</sub>

18552e Detection of the amino radical NH<sub>2</sub> by laser magnetic resonance spectroscopy. Davies, P. B.; Russell, D. K.; Thrush, B. A.; Wayne, F. D. (Dep. Phys. Chem., Univ. Cambridge, Cambridge, Engl.). *J. Chem. Phys.* 1975, 62(9), 3739-42 (Eng). Laser magnetic resonance spectra of the NH<sub>2</sub> radical in the lowest vibrational level of its <sup>2</sup>B<sub>1</sub> ground electronic state were detected, using far ir H<sub>2</sub>O and D<sub>2</sub>O lasers. The spectra were assigned to individual Zeeman components of the rotational transitions 2<sub>20</sub> - 3<sub>31</sub> (78 μm H<sub>2</sub>O laser), 1<sub>11</sub> - 2<sub>20</sub> (118.6 μm H<sub>2</sub>O laser) and 7<sub>35</sub> - 7<sub>44</sub> (108 μm D<sub>2</sub>O laser).

Mazilu H.  
Pérez Chacón

C.A. 1975. 83 N2

$NH_2$

1975

Genich A. P. et al.

стекло

в 4г. бом.

Kinet. Katal. 1975, 16(4)

841-5 (Russ)

(см  $NH$ ; III)

NH<sub>2</sub>

NH<sub>2</sub><sup>+</sup>

NH<sub>2</sub><sup>-</sup>

изменение

эл. структ.  
при ионизац.

44-9199

1975

XIII-2990-BP

10 Д173. Молекулярная реорганизация при ионизации и возбуждении: NH<sub>2</sub>, NH<sub>2</sub><sup>+</sup>, NH<sub>2</sub><sup>-</sup>. Heaton M. M., Cowdry R. Molecular reorganization upon ionization and excitation: NH<sub>2</sub>, NH<sub>2</sub><sup>+</sup>, and NH<sub>2</sub><sup>-</sup> systems. «J. Chem. Phys.», 1975, 62, № 8, 3002—3009 (англ.)

На примере молекулы NH<sub>2</sub> и ионов NH<sub>2</sub><sup>+</sup> и NH<sub>2</sub><sup>-</sup> исследовано изменение электронной структуры молекулы при ионизации или добавлении электрона и возбуждении. Расчеты проводились неэмпирически в гауссовом базисе. Подробный анализ заселенностей по Малликену как для отдельных MO, так и для атомов показал, что перестройка при ионизации затрагивает главным образом связывающие, а при возбуждении — валентные орбитали.

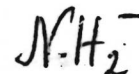
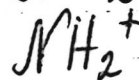
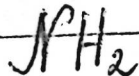
В. И. Барановский

ф. 1975 № 10

(+2) -

XIS-9199

1975



расчет  
( $\varepsilon_i$ )

x 1975  
N 19

XIII-2990-39

19 Б42. Перестройка молекул при ионизации и возбуждении. Системы  $\text{NH}_2$ ,  $\text{NH}_2^+$  и  $\text{NH}_2^-$ . Неаполон М. М., Cowdry R. Molecular reorganization upon ionization and excitation:  $\text{NH}_2$ ,  $\text{NH}_2^+$ , and  $\text{NH}_2^-$  systems. «J. Chem. Phys.», 1975, 62, № 8, 3002—3009 (англ.)

Методом ССП с учетом конфигурац. взаимодействия в базисе гауссовых функций рассчитаны основные и низколежащие возбужденные состояния  $\text{NH}_2$ ,  $\text{NH}_2^+$  и  $\text{NH}_2^-$  с целью изучения изменений структуры и электронной плотности (ЭП) при ионизации и возбуждении. Для всех состояний проводилась оптимизация геометрии. Обнаружено, что расстояние N—H почти постоянно, тогда как валентный угол меняется от 103 до 144° в зависимости от числа электронов и рассматриваемого состояния. Выполнен анализ заселенностей по

Х

Н2

Малликену. Показано, что при возбуждении и ионизации происходит значительное перераспределение ЭП. В частности, возбуждение  $\text{NH}_2$  приводит к увеличению ЭП в области ядра N и уменьшению ЭП на ядрах H, тогда как возбуждение  $\text{NH}_2^+$  вызывает сдвиг ЭП в противоположном направлении. Обсуждено влияние возбуждения и ионизации на отдельные МО. Отмечена важность учета корреляции при сопоставлении электронной структуры и расчете энергетич. разностей (особенно величины сродства к электрону).

А. В. Абраменков

NH<sub>2</sub>

1975

68551z Laser fluorescence of the amidogen radical and the rate constant measurement of the amidogen radical + nitrogen monoxide. Hancock, G.; Lange, W.; Lenzi, M.; Welge, K. H. (Fak. Phys., Univ. Bielefeld, Bielefeld, Ger.). *Chem. Phys. Lett.* 1975, 33(1), 168-72 (Eng). Laser induced fluorescence from the A<sup>2</sup>A<sub>1</sub> state of the NH<sub>2</sub> radical, obtained by different methods, was obsd. with a tunable dye laser as excitation source. By using pulsed photolysis of NH<sub>3</sub> to produce NH<sub>2</sub>, the fluorescence technique was employed in a 1st gas kinetic application to measure the rate const. of the aeronomically interesting NH<sub>2</sub> + NO reaction at 298°K. A value of  $(2.1 \pm 0.2) \times 10^{-11} \text{ cm}^3 \text{ mol.}^{-1} \text{ sec}^{-1}$  was obtained.

Chikup  
laser kozó  
percopecs.

④. lazerpl. q. coopey

C. H. 1975. 83. N8



1975

NH<sub>2</sub>

враща  
ущий  
(<sup>2</sup>A<sub>1</sub>)

5 Д869. Индуцированная лазером флуоресценция NH<sub>2</sub>(<sup>2</sup>A<sub>1</sub>). Излучательные времена жизни и скорости тушения столкновением для отдельных состояний. Half-regn J. B., Hancock G., Lenz i M., Welge K. H. Laser induced fluorescence from NH<sub>2</sub>(<sup>2</sup>A<sub>1</sub>). State selected radiative lifetimes and collisional de-excitation rates. «J. Chem. Phys.», 1975, 63, № 11, 4808—4816 (англ.)

Радикалы NH<sub>2</sub> в основном электронном состоянии получались при импульсном фотолизе аммиака. Отдельные вращательные уровни состояния NH<sub>2</sub>(<sup>2</sup>A<sub>1</sub>) импульсно возбуждались перестраиваемым лазером на красителе. Измерены времена затухания флуоресценции NH<sub>2</sub>(<sup>2</sup>A<sub>1</sub>) в зависимости от полного давления смесей NH<sub>3</sub> с различными тушащими газами. Определены константы скорости тушения и времена жизни вращательных уровней вибронных состояний при нулевом давле-

φ. 1976, № 5

нии, близкие к излучательным временам жизни колебательных состояний. Типичным является значение 10 мксек для состояния (0, 9, 0). Константы скорости тушения состояния (0, 9, 0) различными газами относятся как  $\text{NH}_3 : \text{CO} : \text{H}_2 : \text{N}_2 : \text{CH}_4 : \text{Ar} : \text{He} = 1,0 : 0,47 : 0,46 : 0,40 : 0,30 : 0,152 : 0,145$ . Константа скорости тушения флуоресценции молекулами  $\text{NH}_3$  ( $k = 1,0 \cdot 10^{-9} \text{ см}^3 \text{молекул}^{-1} \text{сек}^{-1}$ ) одинакова для всех вибронных уровней состояния  $\text{NH}_2(^2A_1)$ . С помощью перестраиваемого лазера непрерывного действия получены спектры стационарной флуоресценции  $\text{NH}_2$ . Исследована передача энергии в состоянии  $\text{NH}_2(^2A_1)$  при столкновениях. Показано, что симметричный или антисимметричный характер вращательного уровня не изменяется при столкновении. Библ. 15.

В. С. И.

дн.  
нер

*NH<sub>2</sub>*

1975

10 Б1284. Возбужденная лазером флуоресценция  $\text{NH}_2(^2A_1)$ . Излучательные времена жизни и скорости дезактивации соударениями селектированных состояний. Halpern J. B., Hancock G., Lenz M., Weleg K. H. Laser induced fluorescence from  $\text{NH}_2(^2A_1)$ . State selected radiative lifetimes and collisional de-excitation rates. «J. Chem. Phys.», 1975, 63, № 11, 4808—4816 (англ.)

*флуоресценция*

*флуоресценция*

Изучена флуоресценция (Фл) свободных радикалов  $\text{NH}_2$  в переходе  $^2A_1 \rightarrow ^2B_1$  при возбуждении лазером различных вращательно-колебательных состояний. Проводили опыты 2 типов: 1) изучали кинетику затухания Фл при образовании основного состояния  $\text{NH}_2(^2B_1)$  импульсным фотолизом  $\text{NH}_3$  при давл. 1—40 мкм и его последующем возбуждении импульсным перестраиваемым лазером на красителе (длительность импульса 5 нсек, спектральная ширина  $\sim 0,4 \text{ см}^{-1}$  в диапазоне 510—670 нм); 2) изучали спектр стационарной Фл  $\text{NH}_2$ , образуемого при пропускании смеси  $\text{NH}_3 + \text{Ar}$  при полном давл.  $\sim 1 \text{ мм}$  через зону СВЧ-разряда, при воз-

X 1976 N 10

буждении Фл непрерывным перестраиваемым лазером на красителе со спектральной шириной  $0,02 \text{ см}^{-1}$ . В опытах 1-го типа производили заселение отдельных вращательных уровней в различных вибронных состояниях и измеряли скорости затухания Фл с этих уровней в зависимости от давл. газа. По этим данным определяли времена жизни  $\tau_0$  возбужденных состояний при нулевом давл. и константы скорости  $k_q$  их тушения различными газами  $M$ . Найденные значения  $\tau_0$  соответствуют излучательным временам жизни колебательных состояний. Для вибронного состояния (0,9,0)  $\tau_0 = 10$  мксек. Для  $M = \text{NH}_3$ ,  $k_q = 1,0 \cdot 10^{-9} \text{ см}^3/\text{молекула}\cdot\text{сек}$ , независимо от вибронного состояния. Для тушения уровней  $\Sigma$  (0,9,0) соотношения  $k_q$  для различных  $M$  таковы:  $\text{NH}_3 : \text{CO} : \text{H}_2 : \text{N}_2 : \text{CH}_4 : \text{Ar} : \text{He} = 1,0 : 0,47 : 0,46 : 0,40 : 0,30 : 0,152 : 0,145$ . В опытах 2-го типа наблюдали столкновительный перенос энергии с возбуждаемого лазером вращательного уровня на другие уровни того же вибронного состояния. При таком переносе симметричный или антисимметричный характер вращательного уровня не изменяется, т. е. при соударениях происходит только перенос  $a \leftrightarrow a$  и  $S \leftrightarrow S$ -типов.

В. Е. Скурат

*NH<sub>2</sub>*

(NH<sub>2</sub>)

slzephias  
of cyopees.

7975

84: 51726h Laser induced fluorescence from amino(<sup>2</sup>A<sub>1</sub>). State selected radiative lifetimes and collisional deexcitation rates. Halpern, J. B.; Hancock, G.; Lenzi, M.; Welge, K. H. (Fak. Phys., Univ. Bielefeld, Bielefeld, Ger.). *J. Chem. Phys.* 1975, 63(11), 4808-16 (Eng). Time resolved fluorescence from the 1st excited (<sup>2</sup>A<sub>1</sub>) state of NH<sub>2</sub> was obsd. following excitation of the radical in its ground state by means of a pulsed tunable dye laser. Specific rotational levels within a no. of vibronic states were populated, decay rates measured as a function of total pressure for a variety of added gases, and zero pressure lifetimes and collisional deexcitation rates evaluated. Measured zero pressure lifetimes are good approxns. to the vibrational state radiative lifetimes, typically 10  $\mu$ sec for the (0, 9, 0) state. Collisional deexcitation rate consts. were measured as  $1.0 \times 10^{-9}$  cm<sup>3</sup> mol.<sup>-1</sup>.sec<sup>-1</sup> for NH<sub>3</sub>, independent of vibronic state, and for the  $\Sigma(0, 9, 0)$  level were found for other gases in the ratio NH<sub>3</sub>:CO:H<sub>2</sub>:N<sub>2</sub>:CH<sub>4</sub>:Ar:He = 1.0:0.47:0.46:0.40:0.30:0.152:0.145. By using excitation by a tunable cw dye laser, steady state spectra of NH<sub>2</sub> were obtained and collisional energy transfer obsd. within the (<sup>2</sup>A<sub>1</sub>) excited electronic state of NH<sub>2</sub>. Transfer was obsd. both within the initially populated vibronic state and to other such states within the same overall vibrational level. The symmetric or antisymmetric character of the rotational level remained unchanged in collision, i.e., only  $a \rightleftharpoons a$  and  $s \rightleftharpoons s$  transfer occurred.

C.A. 1976 84N8

NH<sub>2</sub> (azep-boz. spectrosc.) 1975

87927t Fluorescence spectrum of the amino radical excited by a cw [continuous wave] dye laser. Kroll, M. (Div. Phys., Natl. Res. Coun. Canada, Ottawa, Ont.). *J. Chem. Phys.* 1975, 63(1), 319-25 (Eng). The fluorescence of the free radical NH<sub>2</sub>, produced in the gas phase in a flow system at a total pressure of ~1 torr, was excited by a cw dye laser operating at 5600-6300 Å. Values were obtained for the vibrational energies  $G_0$  of the (0,1,0), (0,2,0), (1,0,0) (1,1,0), and (0,4,0) levels in the ground electronic state from an anal. of the emission, which extends from 6300 to 8700 Å; approx. rotational consts. (A, B, and C) were also derived for these levels. The effects of collision-induced rotational transitions were obsd. exptl., and the selection rules that govern these transitions are discussed.

(M.n.) 3253  
Gunnella

C.A. 1975-83 v10



BP-XII-3093

\* 45-9539

1975

NH<sub>2</sub>

J 12 Д766. Спектр флуоресценции NH<sub>2</sub>, возбуждаемый лазером непрерывного действия на красителе. Кголл М. The fluorescence spectrum of NH<sub>2</sub> excited by a cw dye laser. «J. Chem. Phys.», 1975, 63, № 1, 319—325 (англ.)

Измерен линейчатый спектр флуоресценции свободного радикала NH<sub>2</sub> (газовая фаза) в области  $\Delta\lambda = 630 - 770$  нм. Возбуждение осуществлялось излучением узкополосного ( $\Delta\nu_p = 0,062 \pm 0,004$  см<sup>-1</sup>) перестраиваемого по частоте ( $\Delta\lambda_p = 560 - 630$  нм) лазера непрерывного действия на растворе красителя. По полученным данным определены величины колебательной энергии уровней (0,1,0), (0,2,0), (1,0,0), (1,1,0) и (0,4,0) в основном состоянии NH<sub>2</sub>. Для этих уровней вычислены приближенные значения констант вращения. Исследовано влияние на характеристики флуоресценции NH<sub>2</sub> переходов, обусловленных столкновениями; рассмотрены правила отбора, которые управляют этими переходами. Библ. 16.

В. Б. Ш.

спектр  
флуоресц.

ф. 1975 № 12

1975

NH<sub>2</sub>

24 Б167. Спектр флуоресценции NH<sub>2</sub>, возбужденной лазером непрерывного действия на красителе. К г о 11 М.  
The fluorescence spectrum of NH<sub>2</sub> excited by a cw dye laser. «J. Chem. Phys.», 1975, 63, № 1, 319—325 (англ.)

Измерен спектр флуоресценции свободного радикала NH<sub>2</sub> в газ. фазе в области длин волн от 6300 до 8700 Å и в области от 5650 до 5800 Å при возбуждении флуоресценции с помощью лазера непрерывного действия на красителе с рабочей областью длин волн от 5600 до 6300 Å. В спектре флуоресценции проанализированы полосы (0, 10, 0)  $\Pi \rightarrow (0, 1, 0)$ , (0, 2, 0), (1, 0, 0), (1, 1, 0), (0, 4, 0) и (0, 0, 0). Для всех колебательных термов определены колебательные энергии и вращательные постоянные. В спектре наблюдались также переходы, наведенные соударениями молекул. Обсуждаются возможные правила отбора для этих переходов. С. Н. Мурзин

(m, n)

21975 N 24

У-10046; док. 3578 1975

NH<sub>2</sub>

2 Д807. Поляризованная флуоресценция и эффект Ханле в NH<sub>2</sub>. Кг о 11 М. Polarized fluorescence and the Hanle effect in NH<sub>2</sub>. «J. Chem. Phys.», 1975, 63, № 5, 1803—1809 (англ.)

В проточной системе при возбуждении перестраиваемым непрерывным лазером на красителе измерена поляризованная флуоресценция газообразного NH<sub>2</sub>. Показано, что измеренная степень поляризации флуоресценции качественно согласуется с предсказываемой простой моделью. Измерен эффект Ханле для нескольких вращательных уровней  $^2A_1$  электронного состояния NH<sub>2</sub> и вычислено излучательное время жизни этих уровней, равное 350 нсек. Библ. 22.

Резюме

Экспир.  
Составлено

(Т)

Ф 1946 №



флуоресц.

т.



60113.12

Ch, Ph, Tc

9620 (ЭСР-спектр)

NH<sub>2</sub>

1975

X45-11142

Michaut J.P., Roncin J., Marx R.

NH<sub>2</sub> radicals trapped in NH<sub>3</sub> single  
crystals and various polycrystalline  
ammonia matrices. "Chem. Phys. Lett.",

1975, 36, N 5, 599-605 (англ.)

509 510

0539 ник винити

50204.7370

Ph, Ch, TC

30526GR 02

1975

NH<sub>2</sub>

X 45-8047

Maestro M., Moccia R.

Localized molecular second-order  
properties.

"Mol. Phys.", 1975, 29, N 1, 81-96

(англ.) 0295 тик

273 276

ВИНИТИ

$NH_2$

1975

$NH_2^+$

Pople J. A.

эксперимент

"Mol. Phys" 1975, 29,  
N2, 595-611 (автор)

исследование

(ав  $H_2$ ; III)

$A_4+$  ( $CO$ ,  $N_2O$ ,  $CH_4$ ,  $CO_2$ ,  $N_2$ ,  $H_2$ ,  $O_2$ ) 18925

$DHF$ , ( $NH_2$ ,  $CH_3NH$ ,  $C_2H_5NH$ ,  $(CH_3)_2N$ )

$Ac^-$  11, 13, 14b.

Schiff H. I., Bohme D. R.

~~Int. J. mass spectrom. and Ion phys.~~

~~1975, 16, VI-2, 167-189 (austr.)~~

~~Flowing afterglow studies at  
York University.~~

By Name, 1975, 1651012

10, M ⑨<sub>20</sub>

NH<sub>2</sub>

фотодиссоц.

Vermeil C., et al. 1975

"Int. J. Radiat Phys and  
Chem" 1975, 7, N 2-3

275-280 (франц. phys. aw)

(see NH; III)

NH<sub>2</sub>

X- U-17134

1876

186: 46330g A calculation of the photodetachment energy of amidogen ion (NH<sub>2</sub><sup>-</sup>). Andersen, Earl; Simons, Jack (Dep. Chem., Univ. Utah, Salt Lake City, Utah). J. Chem. Phys. 1976, 65(12), 5393-7 (Eng). The equation-of-motion (EOM) method was used to calc. the photodetachment energy of NH<sub>2</sub><sup>-</sup>. An SCF-level potential-energy surface was calcd. for NH<sub>2</sub><sup>-</sup> along the sym. A<sub>1</sub> vibrational coordinates. Several points were also found on the asym.-stretch surface to provide a comparison with the sym.-stretch surface. From these data, corresponding surfaces for NH<sub>2</sub> were obtained by adding the computed vertical detachment energy at each geometry. The calcd. vertical photodetachment energy at the equil. geometry of NH<sub>2</sub> was 0.43 eV. By using the available exptl. values for the vibrational energy difference between NH<sub>2</sub> and NH<sub>2</sub><sup>-</sup>, the thermodn. electron affinity of NH<sub>2</sub> was calcd. to be 0.42 eV. From the computed potential-energy surfaces, spectroscopic consts. were calcd. and compared to the available exptl. results. The use of d functions on the n center gave little change in calcd. ionization energies.

(He, a, n)

C.A. 1987

86. 14

NH<sub>2</sub>

\* 48 15578

1976

Bischoff P.

(9)

J. Amer Chem Soc  
1976, 98, n22, 6844-  
49

61007.1323

A, Ph, TC

СВЕДКИИК. Издатель  
КОНГРЕССА. № 98228. № 1976.

NH<sub>2</sub> (E<sub>i</sub>) № 14723

Cook J. M., Hills G. W., Curl R. F.,  
Jr. Microwave optical double resonance  
observations of a rotational transition  
of NH<sub>2</sub>. "Astrophys. J.", 1976, 207, N2, Part. 2,  
L139-L140 (англ.)

0720 пик.

675 691

ВИНИТИ

NH<sub>2</sub>

Campbell J. D. 1976

и. вогдунг.

есен.

"Chem. Phys. Lett."

1976, 44, N3, 404-410

(авр.)



(есл NH<sub>3</sub>; III)

1976



фрагм.  
эл. состоян.  
21. K. диссод.

15 Б172. Инфракрасная многофотонная диссоциация на фрагменты в основном электронном состоянии. Campbell J., Hancock H., Halpern J., Welle K. H. Infrared multiple-photon dissociation into ground electronic-state fragments. «IX<sup>th</sup> Int. Conf. Quantum Electron., Amsterdam, 1976. Conf. dig. Amsterdam, 1976, 34—35 (англ.)

Изучена многофотонная диссоциация под действием излучения импульсного CO<sub>2</sub>-лазера [P(32), P(22), R(28)] молекул аммиака на фрагменты в основном электронном состоянии [NH<sub>2</sub>(<sup>2</sup>B<sub>1</sub>) + H]. Кол-во NH<sub>2</sub>(<sup>2</sup>B<sub>1</sub>) определялось по интенсивности флуоресценции в видимой области [возбуждаемый переход X<sup>2</sup>B<sub>1</sub>(006) — A<sup>2</sup>A<sub>1</sub>(090)]. Исследована зависимость содержания NH<sub>2</sub>(<sup>2</sup>B<sub>1</sub>) от давления аммиака (0,05—6 мм) и его изменения во времени с момента лазерного импульса (временное разрешение ~0,2 мксек). При наиболее низких давлениях конц-ия NH<sub>2</sub>(X) достигает максимума менее, чем через 0,2 мксек, что соответствует прямой диссоциации аммиака в отсутствие столкновений. Вплоть до 0,3 мм NH<sub>3</sub> начальная конц-ия NH<sub>2</sub>(X) линейно возрастает с давлением. При  $P_{\text{NH}_3} \geq 0,3$  мм-

ж. 1078, N15

конц-ия ( $\text{NH}_2(\bar{X})$ ) растет быстрее за счет вклада различных процессов образования ( $\text{NH}_2(\bar{X})$ ) протекающих при соударениях. Кроме трех указанных линий  $\text{CO}_2$ -лазера проведены предв. измерения для 60 других линий при давлении аммиака 1 мм и временном разрешении 10 мкsec.

В. М. Ковба

( $g^+$ )  
гл.)

*NH<sub>2</sub>*

У 8-147/8

1976

2 Д419. Определение вращательных и сверхтонких характеристик  $\text{NH}_2(\text{X}^2\text{B}_1)$  из спектров лазерного магнитного резонанса. Davies P. B., Russell D. K., Thrush B. A., Radford H. E. Rotational and hyperfine parameters of  $\text{NH}_2(\text{X}^2\text{B}_1)$  from LMR spectra. «Chem. Phys. Lett.», 1976, 42, № 1, 35—38 (англ.)

Исследованы 17 вращательных переходов радикала  $\text{NH}_2$  в основном электронно-колебательном состоянии методом ИК-спектроскопии лазерного магн. резонанса. На основании анализа зеемановского расщепления и сверхтонкой структуры определены вращательные и спин-вращательные параметры радикала, а также параметры изотропного и анизотропного сверхтонкого взаимодействия для ядер  $^{14}\text{N}$  и  $^1\text{H}$ . Библ. 15.

*Min*

Ф. 1977. № 2

*NH<sub>2</sub>*

FUS-14718

1976

85: 151478t Rotational and hyperfine parameters of amide radical ( $X^2B_1$ ) from LMR spectra. Davies, P. B.; Russell, D. K.; Thrush, B. A.; Radford, H. E. (Dep. Phys. Chem., Univ. Cambridge, Cambridge, Engl.). *Chem. Phys. Lett.* 1976, 42(1), 35-8 (Eng). Seventeen rotational transitions up to  $N = 7$  of the NH<sub>2</sub> radical in its ground vibronic state were measured by far ir laser magnetic resonance spectroscopy. Anal. of the Zeeman patterns and hyperfine structure yields precise rotational, spin-rotational and distortion parameters, and isotropic and anisotropic hyperfine interaction parameters for both <sup>14</sup>N and <sup>1</sup>H nuclei.

*u, n.*

C.A. 1976. 85-N20

60203.6675

96200

1976

Ch, Ph, TC, MGU

NH<sub>2</sub> (laser freq.) 8795

Hills Graham W., Philen Dan L., Curl  
R.F., Jr, Tittel F.K. Saturation  
spectroscopy of NH<sub>2</sub> using a CW dye laser.  
"Chem. Phys.", 1976, 12, N 1, 107-111

ЛАНГД.

0552 ПИК

527 528 534

ВИНИТИ

1976

NH<sub>2</sub>

Ammonium 3795

84: 67372a Saturation spectroscopy of amino using a CW dye laser. Hills, Graham, W.; Phalen, Dan L.; Curl, R. F., Jr.; Tittel, F. K. (Dep. Chem., Rice Univ., Houston, Tex.). *Chem. Phys.* 1976, 12(1), 107-11 (Eng). Hyperfine structure in the electronic spectrum of NH<sub>2</sub> was resolved by using the technique of intermodulated fluorescence with CW dye laser excitation. From the obstd. spacings values for the <sup>14</sup>N Fermi contact and dipole-dipole coupling terms were estd. for both the gound state and the II(0,10,0) vibrational level of the A<sup>2</sup>A<sub>1</sub> excited electronic state.

Dye up. calc'd

Laser. logo.

C.A. 1976. 84 n10

документ 3795

1976

NH<sub>2</sub>

11 Б185. Спектроскопия насыщения NH<sub>2</sub> с использованием лазера на красителе в непрерывном режиме.  
Hills Graham W., Philen Dan L., Curl R. F.,  
Jr, Tittel F. K. Saturation spectroscopy of NH<sub>2</sub> using  
a CW dye laser. «Chem. Phys.», 1976, 12, № 1, 107—  
111. (англ.)

По спектру насыщения флуоресценции NH<sub>2</sub>, зарегистрированному методом взаимной модуляции двух встречных лазерных пучков, исследована СТС линий П(0,10,0)→Σ(0,0,0) полосы электронного перехода A<sup>2</sup>A<sub>1</sub>—X<sup>2</sup>B<sub>1</sub>. Для возбуждения спектра флуоресценции использовали перестраиваемый в области 560—620 нм лазер на красителе непрерывного действия. Наблюдавшаяся ширина линии одиночной сверхтонкой компоненты составляет ~32 Мгц. Определены постоянные сверхтонкого расщепления в основном состоянии и возбужденном П(0,10,0) A<sup>2</sup>A<sub>1</sub> состоянии, а также постоянные диполь-дипольного взаимодействия (Мгц) соответственно: (aa)<sub>1</sub>= -31,1 и -16,6; (bb)<sub>1</sub>= -31,1 и +33,2; (cc)<sub>1</sub>= +62,2 и -16,6.

С. Н. Мурзин

Х. 1976 № 11

60812.1872

TC, MGU, Ph

Wt<sub>2</sub> (исажена.  
96972 сплошное)  
1976

4426

к р.н 60812.1801

Hills G.W., Cock J.M., Curl R.F., Tittel F.K. Laser excited fluorescence studies of triatomic radicals.

"Opt. Communs", 1976, 18, N 1, 62  
(англ.)

0677 пик

655-665 699

ВИНИТИ

1976



— 3685

4, n

/// —

1 Б269. Спектр микроволнового-оптического двойного резонанса радикала NH<sub>2</sub>. Постоянные сверхтонкой связи ядра <sup>14</sup>N и спин-вращательного взаимодействия в основном состоянии. Hills G. W., Cook J. M., Cugl R. F., Jr., Tittel F. K. Microwave optical double resonance spectrum of NH<sub>2</sub>. I. Ground state, <sup>14</sup>N hyperfine coupling constants, and spin rotation constants. «J. Chem. Phys.», 1976, 65, № 2, 823—828 (англ.)

Методом оптически-микроволнового двойного резонанса с использованием лазера на красителе для накачки идентифицирована СТС магнитно-дипольных переходов 1/2—3/2, 7/2—9/2, 9/2—11/2, 11/2—13/2 и 13/2—15/2 радикала NH<sub>2</sub> в основном электронно-колебательном состоянии. Определены значения постоянных квадрупольной связи ядра <sup>14</sup>N и спин-вращательного взаимодействия.

М. Р. Алиев

Х. 1977 № 1

NH<sub>2</sub>

85: 101469v Microwave optical double resonance spectrum  
of amidogen radical. I. Ground state, atomic nitrogen-14  
hyperfine coupling constants, and spin rotation constants.

Hills, G. W.; Cook, J. M.; Curl, R. F., Jr.; Tittel, F. K. (Dep.  
Chem., Rice Univ., Houston, Tex.). *J. Chem. Phys.* 1976,

65(2), 723-5 (Eng). Magnetic dipole allowed transitions between  
the 2 *J* components of the same rotational state in the ground  
vibronic state of NH<sub>2</sub> were detected by using microwave optical  
double resonance. The hyperfine structure of some of these  
transitions were analyzed to yield values for the <sup>14</sup>N magnetic  
coupling consts. (in MHz) of (O)<sub>i</sub> = 27.9 (0.6), (aa)<sub>i</sub> = -43.3 (1.5),  
and (cc)<sub>i</sub> = 87.4 (0.9), where the quoted error in parentheses is 3  
std. deviations. In addn., a preliminary anal. of the fine  
structure splittings dets. the spin rotation consts. (in MHz) to be  
 $A_s = -9290.0$  (160),  $B_s = -1331.9$  (38), and  $C_s = 3.9$  (57). A poor  
fit of the fine structure arises from an inadequate Hamiltonian,  
and the statistical uncertainty quoted for these parameters is  
probably meaningless. The derived consts. for the gas phase  
were compared with the available solid state ESR data as well as  
some theor. studies.

Min

XIII-3685

XIII

C.A. 1976

85 n14

1976

*NH<sub>2</sub>*  
*(нин) 1368*

1 Д598. Спектр микроволново-оптического двойного резонанса NH<sub>2</sub>. I. Основное состояние, константы сверхтонкой связи с <sup>14</sup>N и константы спин-вращательной [связи]. Hills G. W., Cook J. M., Curl R. F., Jr., Tittel F. K. Microwave optical double resonance spectrum of NH<sub>2</sub>. I. Ground state, <sup>14</sup>N hyperfine coupling constants, and spin rotation constants. «J. Chem. Phys.», 1976, 65, № 2, 823—828 (англ.)

Изучен спектр микроволново-оптич. двойного резонанса (МОДР) радикала NH<sub>2</sub> в газовой фазе. Для оптич. накачки использован лазер на красителе родамин-6G. Проводилось детектирование возбужденной лазерным излучением флуоресценции. Анализ сверхтонкой структуры магнитных дипольных разрешенных переходов между двумя компонентами *J* одного и того же вращательного состояния в основном вибронном состоянии молекулы NH<sub>2</sub> позволил получить значения

(НО-Я)

P 1977 n/

коэффициент магнитной сверхтонкой связи с ядром  $^{14}\text{N}$ :  
коэффициенты ферми-контактного взаимодействия  $(O)_J =$   
 $= 27,9 \pm 0,6$  МГц; коэффициенты диполь-дипольного взаимо-  
действия  $(aa)_J = -43,3 \pm 1,5$  МГц и  $(cc)_J = 87,4 \pm 0,9$  МГц;  
коэффициенты квадрупольного взаимодействия  $(aa)_Q =$   
 $= 0,3 \pm 1,5$  МГц и  $(cc)_Q = 1,6 \pm 0,8$  МГц. Из предваритель-  
ного анализа расщеплений тонкой структуры определены  
коэффициенты спин-вращательной связи:  $A_s = -9290,0 \pm$   
 $\pm 160$ ;  $B_s = -1331,9 \pm 38$  и  $C_s = 3,9 \pm 57,3$  МГц. Получен-  
ные значения коэффициентов сверхтонкой связи сопостав-  
лены с данными измерений ЭПР в твердом  $\text{NH}_3$  и в  
матрице  $\text{Ag}$  при  $4,2^\circ\text{K}$ , а также в кристалле  $\text{KNH}_2\text{SO}_3$ .  
Лучшее согласие коэффициентов  $(O)_J$  получено для  $\text{NH}_2$  в  
газовой фазе в матрице  $\text{Ag}$ , в которой  $\text{NH}_2$  свободно  
вращается. Эксперим. данные обнаруживают довольно  
хорошее согласие с известными расчетными данными  
неэмпирич. методов ЧПДП и ППДП. Библ. 30. Т. П.

X-68-15235

1976

NH<sub>2</sub>

353

B9-XIII-

2 Д323. Система  $\tilde{A}^2A_1 - \tilde{X}^2B_1$  в спектре поглощения  $\text{NH}_2$  в области 6250—9500 Å. Johns J. W., Ramsay D. A., Ross S. C. The  $\tilde{A}^2A_1 - \tilde{X}^2B_1$  absorption spectrum of  $\text{NH}_2$  between 6250 and 9500 Å. «Can. J. Phys.», 1976, 54, № 17, 1804—1814 (англ.; рез. франц.)

Спектр поглощения радикалов  $\text{NH}_2$ , получаемых импульсным фотолизом аммиака при давлении  $\sim 3$  мм рт. ст., сфотографирован в области  $7000-100\,000 \text{ \AA}$  с помощью 6,4-м спектрографа Игля с обратной дисперсией  $2,5 \text{ \AA/mm}$ . Ранее выполненный анализ системы  $\tilde{A}^2A_1 - X^2B_1$  распространен в область больших длин волн. Идентифицированы все низколежащие колебательные уровни (до  $v_2''=8$ ) возбужденного состояния. Обнаружены сильные возмущения ( $\sim 200 \text{ см}^{-1}$ ) некоторых из этих уровней высоколежащими колебательными уровнями основного состояния. Для основного и первого возбужденного в деф. кол. ( $v_2''=1$ ) состояний радикала  $\text{NH}_2(X^2B_1)$  определены молекулярные постоянные. Библ. 23.

В. С. Иванов

P. 1977.2

NH<sub>2</sub>

File - 15235

1975

1985: 151390h The  $\tilde{A}^2A_1-\tilde{X}^2B_1$  absorption spectrum of amidogen between 6250 and 9500 Å. Johns, J. W. C.; Ramsay, D. A.; Ross, S. C. (Herzberg Inst. Astrophys., Natl. Res. Coun. Canada, Ottawa, Ont.). *Can. J. Phys.* 1976, 54(17), 1804-14 (Eng). The earlier anal. by K. Dressler and D. A. Ramsay (1957) of the  $\tilde{A}^2A_1-\tilde{X}^2B_1$  adsorption system of NH<sub>2</sub> was considerably extended at the long wavelength end of the spectrum. All the low-lying vibronic levels of the excited state was identified up to  $v_2' = 8$ . These levels are 010 ( $K = 0$ ), 020 ( $K = 1$ ), 030 ( $K = 0, 2$ ), 040 ( $K = 1, 3$ ), 050 ( $K = 0, 2, 4$ ), 060 ( $K = 1, 3, 5$ ), 070 ( $K = 0, 2, 4, 6$ ), and 080 ( $K = 1, 3, 5, 7$ ). Large perturbations ( $\sim 200$  cm<sup>-1</sup>) were obsd. between some of these levels and high vibrational levels of the ground state. Accurate mol. consts. were obtained for the ground state and for the 1st level involving the bending vibration ( $v_2'' = 1$ ).

M.N.

File 31

Ammonium

B9-XIII-3545

C.A. 1976. 85 N20

*NH<sub>2</sub>* 1876  
4 Б144. Переход  $\tilde{A}^2A_1 - \tilde{X}^2B_1$  в спектре поглощения NH<sub>2</sub> в области 6250—9500 Å. Johns J. W. C., Ramsay D. A., Ross S. C. The  $A^2A_1 - X^2B_1$  absorption spectrum of NH<sub>2</sub> between 6250 and 9500 Å. «Can. J. Phys.», 1976, 54, № 17, 1804—1814 (англ.; рез. франц.)

В области 6250—10 000 Å измерен спектр поглощения NH<sub>2</sub> (источник — импульсный фотолиз аммиака), связанный с переходом  $\tilde{A}^2A_1 - \tilde{X}^2B_1$  (прогрессия по  $v_2'$ ). Измерения проводили при большой длине поглощающего слоя (до 80 м),  $p_{\text{NH}_3} = 3$  мм. Идентифицированы электронно-колебательные уровни от 010 ( $K=0$ ) до 080 ( $K=1, 3, 5, 7$ ), уровень с  $v_2'=0$  отсутствует. Проведен анализ вращательной структуры полос и табулированы значения вращательных термов колебательных уровней возбужденного электронного состояния и возбужденных колебательных уровняй основного электронного состояния. Определены вращательные молек. постоянные  $\tilde{A}$ ,  $B$ ,  $C$  NH<sub>2</sub> в  $\tilde{X}^2B_1$  (000, 010) состоянии равные соотв. (см<sup>-1</sup>) 23,69324; 12,95283; 8,17423; 25,9791; 13,1093; 8,0352, а также значения  $\Delta_K$ ,  $\Delta_{NK}$ ,  $\Delta_N$ ,  $\delta_K$ ,  $\delta_N$ ,  $H_K$ ,  $\varepsilon_{aa}$ ,  $\varepsilon_{bb}$ ,  $\varepsilon_{cc}$ ,  $\eta_{aaaa}$ . Наблюдаются большие возмущения (~200 см<sup>-1</sup>) между уровнями  $0v_2'0$  ( $K \neq 0$ ) и высоколежащими колебательными уровнями основного состояния.

В. М. Ковба

спектр поглощ.  
J. W. C.

X. 1977  
N4

4631

атомика

X 45 - X 111 - 35-45  
15235

$NH_2$

$SH$

$NH$

$CS_2$

Используется  
для изучения

Ф 1874 № 1

1976

1 Д869. Исследование фотохимических реакций  $CS_2$  и  $NH_3$  методом импульсного фотолиза. Krishnamachari S. L. N. G., Venkitachalam T. V. Flash photolysis studies of the photochemical reactions of  $CS_2$  and  $NH_3$ . «Chem. Phys. Lett.», 1976, 41, № 1, 183—184 (англ.)

Методом импульсного фотолиза исследованы промежуточные продукты фотохимич. реакций в смеси ( $CS_2 + NH_3$ ) в буферном газе (Ar). Измерения спектров поглощения проведены в многоходовой кювете с длиной оптич. пути 12 м при давлениях компонент газовой смеси:  $CS_2$  ( $10^{-2}$ — $10^{-1}$ ),  $NH_3$ , ( $10^{-1}$ —5) и Ar 600 мм рт. ст. При больших давлениях  $CS_2$  и  $NH_3$  облучение смеси приводило к образованию в кювете плотного тумана, рассеивающего свет в видимой и УФ-областиах спектра. При меньших давлениях реакционных компонент в спектрах поглощения зарегистрированы полосы радикалов  $NH_2$  (400—600 нм),  $SH$  (~323 нм) и  $NH$  (~336 нм). Предполагается, что радикальные реакции в смеси протекают с участием возбужденных атомов  $S(^1D)$ , образующихся при фотодиссоциации  $CS_2$ . Библ. 5. С. Л.

(+3)



NH<sub>2</sub>

1976

McCulloh K.E.

(J)

Jut. J. Mass. Spectrom.  
Ion. Phys. 1976, 21(3-4),  
333-42.



(Cell. NH<sub>2</sub><sup>+</sup>, III)

NH<sub>2</sub>

84-16322

1976

Pople J. A. et al.

Int. J. Quantum  
Chem. Symp.

1976, v10, 1-19.

paer  
reverber  
diversit,

do

NH<sub>2</sub>

ommuck 4743

1976

Poile John A.

"Bull Soc chim belg"

1976, 85, N6, 347-361 (auw)

emphykt.  
naphaw.

$NH_2$  Paur Richard J. 1976  
Bair Edward J.  
Int. J. Chem. Kinet. 1976,  
8(1) 139-52 (eng)  
(an  $NH$ ; III)

NH<sub>2</sub>

1976

85: 26921f Nature of the radiation arising during the nonexplosive thermal decomposition of hydrazoic acid. Pavlov, A. A.; Rozenberg, A. S. (Mosk. Gos. Univ. im. Lomonosova, Moscow, USSR). *Dokl. Akad. Nauk SSSR* 1976, 227(2), 394-6 [Phys. Chem.] (Russ). The luminescence, occurring during the nonexplosive decompn. of HN<sub>3</sub> in a quartz vessel at 350°, was studied; the lines of a lamp filled with Ne were used for the evaluation. The electronically excited NH<sub>2</sub> radical (<sup>2</sup>A<sub>1</sub> → <sup>2</sup>B<sub>1</sub> transition, known as the  $\alpha$ -band of NH<sub>3</sub>) was the most probable emission source. To identify the emitting particle, the spectrogram of a NH<sub>3</sub>-O<sub>2</sub> torch at atm. pressure was obtained. The formation of an excited NH<sub>2</sub> radical was possible: (a) during an equil. excitation of NH<sub>2</sub>, (b) by collisions of NH<sub>2</sub> with nonequil. excited particles occurring by the HN<sub>3</sub> decompn. or (c) in exothermic processes of a chem. interaction with the participation of changeable decompn. products, resulting in the occurrence of NH<sub>2</sub>. The most probable ways for the occurrence of NH<sub>2</sub> (<sup>2</sup>A<sub>1</sub>) are: N<sub>2</sub>H<sub>2</sub> + <sup>3</sup>NH(<sup>1</sup>NH) → NH<sub>2</sub> + N<sub>2</sub> + H, N<sub>2</sub>H<sub>2</sub> + N<sub>3</sub> → NH<sub>2</sub> + 2N<sub>2</sub>, <sup>1</sup>NH + <sup>1</sup>NH → NH<sub>2</sub> + N, and <sup>3</sup>NH + <sup>1</sup>NH → NH<sub>2</sub> + N. Also other mechanisms are discussed. V. L. Sarova

(newer  
info available)

10.A. 1976. 85 Ny

NH<sub>2</sub>

1976

Schwartz M.E.

(ε<sub>i</sub>, J)

Chem. Phys. Lett. 1976,  
40, N1, p. 4.

(cell H<sub>3</sub>O) III

NH<sub>2</sub>

Syaduk V. Z. 1976'

Vestn. chlosph. Univ.,

Chim. 1976, 17(5)

529-31 (russ)



(c.u NH; III)

*NH<sub>2</sub>  
радикал*

*16. мсн.  
рассчет  
процессы  
пары.*

*Ф. 1978/17*

отмеч 5994 1977

7 Д 191. Неэмпирический расчет трех состояний  $\text{NH}_2$  методами ССП и КВ. Bell Stephen, Schaefer Henry F., III: Ab initio SCF and CI studies of three states of  $\text{NH}_2$ . «J. Chem. Phys.», 1977, 67, № 11, 5173—5177 (англ.)

Неэмпирическими методами ССП и КВ с учетом всех (исключая  $1a_1$ -орбиталь) одно- и двукратных возбуждений рассчитаны основное  $X^2B_1$  и возбужденные  $A^2A_1$  и  $B^2B_2$  состояния радикала  $\text{NH}_2$  с геометрич. конфигурацией симметрии  $C_{2v}$  в трех базисах гауссовых ф-ций. Использованы 2-экспонентный базис  $[(\text{N})9s5p(\text{H})4s]$ , сгруппированный в  $[(\text{N})4s2p(\text{H})2s]$  (базис I), базис I+6 d-ф-ций на атоме N (II) и II+3 p-ф-ции на каждом атоме H (III). Геометрич. параметры молекулы для всех состояний были полностью оптимизированы. В базисе III методом КВ получены следующие результаты (в скобках — эксперим. данные):  $r(\text{NH}) = 1,029 \text{ \AA}$  ( $1,024 \text{ \AA}$ ),  $\theta(\text{HNH}) = 103,1^\circ$  ( $103,3^\circ$ ) для состояния  $^2B_1$ ,  $r(\text{NH}) = 1,000 \text{ \AA}$  ( $1,004 \pm 0,03 \text{ \AA}$ ),  $\theta(\text{HNH}) = 143,4^\circ$  ( $144 \pm 5^\circ$ ) для  $^2A_1$  и  $r(\text{NH}) = 1,162 \text{ \AA}$  и  $\theta(\text{HNH}) = 47,5^\circ$  для  $^2B_2$ . Вычислены энергии возбуждения  $T_e = 11\ 830 \text{ см}^{-1}$  в состояние  $A^2A_1$  и  $38\ 640 \text{ см}^{-1}$  — в состояние  $B^2B_2$ . Для  $^2A_1$ -состояния найден барьер линейности, равный

974 см<sup>-1</sup>, ниже которого расположен только один колебательный уровень с  $v'=1$ , что приводит к большой амплитуде колебаний. Для первых двух состояний геометрия молекулы получена близкой к экспериментальной также и в базисах I и II, однако в состоянии  ${}^2B_2$  потенц. кривые по координате  $R(\text{N}-\text{H}_2)$ , рассчитанные в базисах I и II для ССП и в базисе I для КВ, не имеют минимумов.

А. Чесный

Ми  
rbon  
к.

NH<sub>2</sub>

033333 5994

1977

Kb. Kelly.

P. Carter.

88: 67323t Ab initio SCF and CI studies of three states of amidogen. Bell, Stephen; Schaefer, Henry F., III (Dep. Chem., Univ. California, Berkeley, Calif.). *J. Chem. Phys.* 1977, 67(11), 5173-7 (Eng). Theor. calcns. were made for the  $\bar{X}^2B_1$ ,  $\bar{A}^2A_1$ ,  $\bar{B}^2B_2$  states of the NH<sub>2</sub> radical by using a double-zeta and double-zeta-plus-polarization basis sets. With the most extensive basis set and CI, the optimum geometry for the  $^2B_1$  state is  $r = 1.029 \text{ \AA}$ ,  $\theta = 103.1^\circ$ , while the exptl. geometry is  $r = 1.024 \text{ \AA}$ ,  $\theta = 103.3^\circ$ . Similarly, the CI geometry for the  $^2A_1$  state is  $r = 1.000 \text{ \AA}$ ,  $\theta = 143.4^\circ$  while the exptl. geometry is  $r = 1.004 \pm 0.03 \text{ \AA}$ ,  $\theta = 144^\circ \pm 5^\circ$ . The CI excitation energy between these states is  $T_e = 11,830 \text{ cm}^{-1}$  compared with the origin of the  $\bar{A}-\bar{X}$  transition of  $11,122 \text{ cm}^{-1}$  and the barrier to linearity in the  $^2A_1$  state by CI is  $974 \text{ cm}^{-1}$  compared with the exptl. barrier of  $777 \pm 100 \text{ cm}^{-1}$ . The  $B^2B_2$  state is predicted to have the geometry  $r = 1.162 \text{ \AA}$ ,  $\theta = 47.5^\circ$  with an excitation energy from the  $\bar{X}^2B_1$  state of  $38,640 \text{ cm}^{-1}$ .

C.A. 1977, 88, 1110

*NH<sub>2</sub>*

12 Б28. Неэмпирические исследования трех состояний  $\text{NH}_2$  методами ССП и КВ. Bell Stephen, Schaefer III Henry F. Ab initio SCF and CI studies of three states of  $\text{NH}_2$ . «J. Chem. Phys.», 1977, 67, № 11, 5173—5177 (англ.)

1977

Методами Хартри — Фока и конфигурац. взаимодействия (КВ) рассчитаны фрагменты поверхностей потенциальной энергии состояний  $\tilde{X}^2B_1$ ,  $\tilde{A}^2A_1$  и  $\tilde{B}^2B_2$  радикала  $\text{NH}_2$ . Вычисления проведены с использованием трех базисных наборов, сгруппированных гауссовых функций. Первый набор включает двухэкспонентные орбитали Данинга  $(9s5p/4s)/[4s2p/2s]$  с масштабным множителем 1,2 для атомов водорода, во втором случае к предыдущему набору добавлены поляризац.  $d$ -орбитали, центрированные на атоме азота, в третьем — дополнительно учтены ещё поляризац.  $p$ -орбитали на атомах водорода. При построении волновых функций метода КВ рассмотрены все одно- и двукратно возбужденные конфигурации при условии двукратного заполнения низшей  $M01a_1$ . Равновесные геометрич. параметры определены для пространственных конфигураций молекулы симметрии  $C_{2v}$ . Результаты расчетов для  $^2B_1$  и  $^2A_1$  состояний показывают, что только с третьим

поверхн.  
помещ.  
энергии

Октябрь 1994

2, 1993, N12

базисным набором хорошо воспроизводятся энергетич. характеристики состояний, тогда как для равновесных геометрич. параметров разумные оценки получаются со всеми базисными наборами. Рассчитанные методом КВ с наилучшим базисом геометрич. параметры составляют (в скобках приведены соотв.-щие эксперим. величины: для  $^2B_2$  состояния  $r_{\text{NN}} = 1,029 \text{ \AA}$  (1,024),  $\Theta_{\text{NNN}} = 103,1^\circ$  (103,3); для  $^2A_1$  состояния  $r_{\text{NN}} = 1,000$  ( $1,004 \pm 0,03$ )  $\Theta_{\text{NNN}} = 143,4^\circ$  ( $144 \pm 5$ ). Наилучшие значения энергии возбуждения ( $\tilde{X}^2B_1 \rightarrow \tilde{A}^2A_1$ ) и энергетич. барьера при переходе к линейной конфигурации молекулы в со-

стоянии  $^2A_1$  составляют 11830 и  $974 \text{ см}^{-1}$  соотв., в то время как эксперим. величины равны  $11122$  и  $777 \pm 100 \text{ см}^{-1}$ . При расчете зависимости энергии от расстояния между атомом азота и центром молекулы  $H_2$  для состояния  $^2B_2$  найдено, что связное состояние системы предсказывается (как методом ССП, так и КВ) только с использованием базисных наборов, включающих поляризац. орбитали. Рассчитанные методом КВ с третьим базисным набором значения равновесных геометрич. параметров для  $^2B_2$  состояния составляют:  $r_{\text{NN}} = 1,162 \text{ \AA}$  и  $\Theta_{\text{NNN}} = 47,5^\circ$ . Предсказанная величина энергии возбуждения для  $\tilde{B}^2B_2 \rightarrow \tilde{X}^2B_1$  перехода равна  $38640 \text{ см}^{-1}$ .

А. В. Немухин

NH<sub>2</sub>  
HCO

ХУ-18382

1977

(10 Д488.) Исследование колебательно-вращательных  
переходов в NH<sub>2</sub> и HCO методом лазерно-магнитного  
резонанса. Brown J. M., Buttenshaw J., Cag-

олл. на адсорб.

Колебани. браслет.  
специф.



Ф. 1977 № 10

rington Alan, Parent C. R. Infra-red laser magnetic resonance detection of vibration-rotation transitions in NH<sub>2</sub> and HCO. «Mol. Phys.», 1977, 33, № 2, 589—592 (англ.)

С помощью спектрометра магнитно-оптич. резонанса с перестраиваемым CO-лазером в качестве источника излучения получены колебательно-вращательные спектры поглощения короткоживущих свободных радикалов NH<sub>2</sub> и HCO. Для радикала NH<sub>2</sub> зарегистрированы переходы R-ветви между основным уровнем (000) и первым возбужденным уровнем деформационного колебания (010), для HCO — переходы с основного на первый возбужденный уровень валентного колебания (001). Чувствительность спектрометра оценена в  $\sim 10^9$  молекул/см<sup>3</sup> при его калибровке по поглощению NO.

С. Л.

NH<sub>2</sub>

HCO

14 - 18382

1977

87: 93087 Infra-red laser magnetic resonance detection of vibration-rotation transitions in the amidogen and formyl radicals. Brown, J. M.; Buttenshaw, J.; Carrington, Alan; Parent, C. R. (Dep. Chem., Univ. Southampton, Southampton, Engl.). *Mol. Phys.* 1977, 33(2), 589-92 (Eng). Vibration-rotation transitions in the short-lived free radicals NH<sub>2</sub> and HCO were detected using a magnetic resonance spectrometer with a CO laser radiation source. NH<sub>2</sub> radicals were produced by the reaction of H atoms with N<sub>2</sub>H<sub>4</sub> at 2 torr total pressure and the

Rosedar.  
Spengam.  
cnewsp

(+1)

C A. 1977-87 n 12

spectrum was measured using the  $P(8)_{16,15}$  ( $1726.20\text{cm}^{-1}$ ),  $P(12)_{14,13}$  ( $1761.69\text{cm}^{-1}$ ), and  $P(14)_{16,15}$  ( $1704.13\text{cm}^{-1}$ ) CO laser lines. R-Bran<sup>c</sup>ch transitions between the ground vibrational level (000) and the 1st excited bending vibrational level (010) were obsd. and Zeeman components of the vibration rotation transition were identified. HCO radicals were produced by the reaction of F atoms with CH<sub>2</sub>O and the spectra were measured using the  $P(15)_{9,8}$  ( $1876.30\text{cm}^{-1}$ ),  $P(23)_{8,7}$  ( $1867.99\text{cm}^{-1}$ ), and  $P(17)_{9,8}$  ( $1868.12\text{cm}^{-1}$ ) CO laser lines. Vibration-rotation transitions were obsd. which involved the 1st excited stretching vibrational level (001).

Opuna

586

*NH<sub>2</sub>*

*HCO*

*(Ji)*

1977

20 Б307. Обнаружение колебательно-вращательных переходов в NH<sub>2</sub> и HCO с помощью инфракрасного лазерного магнитного резонанса. Brown J. M., Buttenshaw J., Carrington Alan, Parent C. R. Infra-red laser magnetic resonance detection of vibration-rotation transitions in NH<sub>2</sub> and HCO. «Mol. Phys.», 1977, № 2, 589—592 (англ.)

Метод ИК-лазерного магнитного резонанса применен для исследования колебательно-вращательных переходов в радикалах NH<sub>2</sub> и HCO. В кач-ве источника использовался лазер на CO, излучающий ~60 линий в области 1600—2000 см<sup>-1</sup>, кювета с в-вом находилась между полюсами электромагнита, магнитное поле модулировалось с частотой 20 кгц, при регистрации использовалась схема синхронного детектирования, измерения производились двухлучевым методом. Радикал NH<sub>2</sub> образовывался при р-ции атомарного водорода с гидразином (давл. ~2 мм), наблюдался переход 000.5<sub>41</sub> ← 010.4<sub>32</sub> (для деф. кол.), а также колебатель-

X. 1977 N 20

(+) □

№ 45 - 18382

но-вращательные переходы  $5_{51} \leftarrow 4_{40}$  и  $4_{41} \leftarrow 3_{30}$ . Допплеровское уширение линий ( $\sim 100$  Мгц) не позволило обнаружить СТС линий, определяющуюся ядерными моментами. Радикал НСО получался в результате р-ции атомарного фтора с формальдегидом, наблюдались линии  $F(15)_{9,8}$ ,  $P(23)_{8,7}$  и  $P(17)_{9,8}$  колебательно-вращательной полосы, относящейся к вал. кол. связи  $C=O$ .

А. В. Бобров

le cl

*NH<sub>2</sub>* 1977  
2 Б246. Спектр микроволнового оптического двойного резонанса NH<sub>2</sub>. III. Постоянные сверхтонкого взаимодействия <sup>1</sup>H и <sup>14</sup>N и постоянные спин-вращательного взаимодействия в состоянии X<sup>2</sup>B<sub>1</sub>. Cook J. M., Hills G. W., Cirl R. F., Jr. Microwave optical double resonance spectrum of NH<sub>2</sub>. III. <sup>1</sup>H and <sup>14</sup>N hyperfine coupling constants and spin rotation constants in X<sup>2</sup>B<sub>1</sub>. «J. Chem. Phys.», 1977, 67, № 4, 1450—1461 (англ.)

*J. M. N.* 5725  
Измерен спектр МВ (0,3—5 Мгц) оптич. двойного резонанса NH<sub>2</sub> с помощью перестраиваемого лазера (5670—6100 Å). Молекулы NH<sub>2</sub> образовывались при прохождении смеси паров гидразина с водой через МВ-разряд. Приведены волновые числа и отнесение наблюдавшихся переходов. Значения постоянных сверхтонкого взаимодействия равны (Мгц): <sup>14</sup>N—(o)<sub>I</sub>=28,2, (aa)<sub>I</sub>=—42,8, (bb)<sub>I</sub>=—44,7, (cc)<sub>I</sub>=87,5, (aa)<sub>Q</sub>=0,1, (bb)<sub>Q</sub>=—1,6, (cc)<sub>Q</sub>=1,5; H—(o)<sub>I</sub>=—67,2, (aa)<sub>I</sub>=18,6, (bb)<sub>I</sub>=—13,4, (cc)<sub>I</sub>=—5,2; спин-вращательных постоянных A<sub>S</sub>=—9267,8, B<sub>S</sub>=—1353,9, C<sub>S</sub>=12,0; постоянных центробежного искажения для спин-вращательного взаимодействия Δ<sub>N</sub><sup>S</sup>=—0,312, Δ<sub>K</sub><sup>S</sup>=—33,9, Δ<sub>NK</sub><sup>S</sup>=—3,51, δ<sub>N</sub><sup>S</sup>=—0,155, δ<sub>K</sub><sup>S</sup>=—0,480. Полученные результаты со-поставляются с данными по спектру лазерного магнитного резонанса.

Б. М. Ковба

*NH<sub>2</sub>*

2 Д390. Спектр микроволново-оптического двойного резонанса радикала NH<sub>2</sub>. III. Константы сверхтонких взаимодействий ядер <sup>1</sup>H и <sup>14</sup>N и спин-вращательного взаимодействия в состоянии X<sup>2</sup>B<sub>1</sub>. Cook J. M., Hills G. W., Curl R. F., Jr. Microwave optical double resonance spectrum of NH<sub>2</sub>. III. <sup>1</sup>H and <sup>14</sup>N hyperfine coupling constants and spin rotation constants in X<sup>2</sup>B<sub>1</sub>. «J. Chem. Phys.», 1977, 67, № 4, 1450—1461 (англ.)

1974

Методом оптическо-микроволнового двойного резонанса с использованием перестраиваемого лазера на красителе измерен вращательный спектр радикала NH<sub>2</sub>, полученного в микроволни. разряде через смесь воды с гидразином. Идентифицированы линии около 200 переходов с  $J \leq 17/2$  в основном электронно-колебательном состоянии X<sup>2</sup>B<sub>1</sub>: большинство линий относится к магнитно-дипольным переходам между спиновыми компонентами отдельных вращательных уровней. Анализ спектра выполнен с учетом квартичного центробежного искажения, квадрупольного, спин-спиновых и спин-вращательных взаимодействий. Для констант центробежного искажения и спин-вращательного взаимодействия получены значения  $\Delta_N = -0,312$ ;  $\Delta_K = -33,9$ ;  $\Delta_{NK} = 3,51$ ;  $\delta_N = -0,155$ ;  $\delta_K = -0,480$ ;  $A_s = -9267,8$ ;  $B_s = -1353,9$ ;  $C_s = 12,0$  (все в Мгц). *М. Р. Алиев*

*Mr. N.*

*φ. 1978  
№ 2*

5425

Оммилик

*NH<sub>2</sub>*

*оттиска 5088*

*1977*

9 Д546. Анализ спектров лазерного магнитного резонанса  $\text{NH}_2(\tilde{\chi}^2B_1)$ . Davies P. B., Russell D. K., Thrush B. A., Radford H. E. Analysis of the laser magnetic resonance spectra of  $\text{NH}_2(\tilde{\chi}^2B_1)$ . «Proc. Roy. Soc. London», 1977, A353, № 1674, 299—318 (англ.)

Получены и проанализированы спектры лазерного магн. резонанса радикала NH<sub>2</sub> в далекой ИК-области. В качестве источника монохроматич. излучения использовался субмиллиметровый лазер с оптич. накачкой, позволявший работать на 15 линиях генерации. На основании проведенного анализа спектров почти всех вращательных состояний с энергией  $< 300 \text{ см}^{-1}$  получен полный набор спектроскопич. констант описывающих основное электронно-колебательное состояние молекулы. Определены также значения констант сверхтонкой структуры для ядер <sup>14</sup>N и <sup>1</sup>H. Полученные результаты сопоставлены с данными других работ. Библ. 32. В. С. 3.

*анализ  
спектров  
вращат.  
состояний*

*М.И.*

*9 1977 № 9*

NH<sub>2</sub>

ommun 5088

1977

Chemical  
Abstracts

86: 163269j Analysis of the laser magnetic resonance spectra of the amino radical (X<sup>2</sup>B<sub>1</sub>). Davies, P. B.; Russell, D. K.; Thrush, B. A.; Radford, H. E. (Dep. Phys. Chem., Univ. Cambridge, Cambridge, Engl.). *Proc. R. Soc. London, Ser. A* 1977, 353(1674), 299-318 (Eng). The laser magnetic resonance spectra of NH<sub>2</sub> were measured by using 15 far IR frequencies. Anal. of the Zeeman patterns and hyperfine splittings of 17 rotational transitions yields values for rotation distortion and spin-rotation consts., as well as isotropic and anisotropic hyperfine coupling parameters for the <sup>14</sup>N and <sup>1</sup>H nuclei. The values derived for these parameters are compared with those derived by other techniques.

C.A. 1977.86 n<sub>22</sub>

NH<sub>2</sub>

1977

13 Б250. Спектроскопия сверхтонкого пересечения уровней NH<sub>2</sub> с возбуждением лазером на красителе.  
Dixon R. N., Field D. Hyperfine level-crossing spectroscopy of NH<sub>2</sub> with dye-laser excitation. «Mol. Phys.»,  
1977, 34, № 6, 1563—1576 (англ.)

Спектроскопия  
при излучении  
возбуждения

С помощью метода сверхтонкого пересечения уровней измерена СТС ряда вращательных уровней коле-

авт  
ние  
стки

2. 1978, N13

бательных состояний  $(0,9,0)$  и  $(0,10,0)$  состояния  $A^2A_1$  молекулы  $\text{NH}_2$ . Источником возбуждения флуоресценции служил непрерывный лазер на красителе. Разрешение составляло  $\sim 3$  МГц. Максим. амплитуда синусоидального магнитного поля не превышала 5 гс. Для анализа структуры проведены расчеты относит. полей для пересечения уровней как параметров модельного гамильтонiana, а также относит. интенсивностей для линейного и квадрупольного возбуждений. Результаты расчетов приведены для  $I=1/2$  и 1 и для  $I=3/2, 5/2, 7/2$  и  $9/2$ . Полученное значение параметра сверхтонкого взаимодействия  $a_N'$  ( $36,4 \pm 2,0$  МГц) для уровня  $(0,10,0)$  хорошо согласуется с данными, полученными методом интермодулированной флуоресценции. Из спектров, связанных с переходами с подуровней  $I=3/2$  и  $5/2$  уровня  $2_{00}$  ( $0,9,0$ ), получено:  $a_N' = 23,18 \pm 0,25$  МГц и  $a_N' = 23,10 \pm 0,15$  МГц соответственно. Определена константа взаимодействия Ферми для уровня  $(0,9,0)$ , равная  $128 \pm 2$  МГц, в 2 раза на  $\sim 30\%$  меньше, чем для уровня  $(0,10,0)$ , в то время как постоянная  $\chi$  ( $19 \pm 3$  МГц) — больше. Полученные результаты обсуждены с точки зрения эффекта Реннера и  $s-p$ -гибридной природы молек. орбитали, занятой неспаренным электроном.

С. Б. Осин

7977

NH<sub>2</sub>

Circles

44, 11 -

89: 33472w Hyperfine level-crossing spectroscopy of ammonia with dye-laser excitation. Dixon, R. N.; Field, D. (Sch. Chem., Univ. Bristol, Bristol, Engl.). *Mol. Phys.* 1977, 34(6), 1563-76 (Eng). Hyperfine structure of a no. of levels of the (0,9,0), and (0,10,0) vibrational states of the  $\tilde{A}^2A_1$  state of NH<sub>2</sub> was measured using the magnetic level-crossing technique. A CW dye-laser excitation source was used, and the resoln. was ~3 MHz. The analyses were aided by calcn. of the relative fields for the level-crossings in terms of the parameters of a model Hamiltonian, together with their relative intensities for linear and nonlinear excitation. These calcns. are presented for  $I = 1/2, 1$  for  $J = 11/2, 21/2, 31/2$ , and  $41/2$ . Hyperfine parameters for the (0,10,0) vibrational state agree with the literature values obtained using the intermodulated fluorescence method. An apparent drop of 30% was obsd. in the Fermi contact parameter between the (0,10,0) and (0,9,0) levels. The hyperfine splittings within the (0,9,0) state are not completely in accord with the simple model. These observations are briefly discussed in terms of the Renner effect and the *s-p* hybrid nature of the MO occupied by the unpaired electron.

C.A., 1978, 89, 11

1977

NH<sub>2</sub>

спектр  
суперквант.

88: 81234w Dye-laser Doppler-free spectroscopy of hyperfine levels in electronically excited amidogen. Dixon, R. N.; Field, D. (Sch. Chem., Univ. Bristol, Bristol, Engl.). *Lasers Chem., Proc. Conf.* 1977, 145-9 (Eng). Edited by West, Michael A. Elsevier: Amsterdam, Neth. Hyperfine structure of levels in the 0,10,0 and 0,9,0 vibronic states of the  $A^2A_1$  state of NH<sub>2</sub> was measured by using the technique of magnetic hyperfine level-crossing spectroscopy. Anal. of these spectra shows that the hyperfine coupling consts. vary substantially with the extent of upper state vibration.

C.A., 1978, 88, #12

1977

*NH<sub>2</sub>**check  
unrefined*

88: 56925q Amidogen radical( $\tilde{\Lambda}^2A_1$ ) from the predissociation of ammonia( $A^1A''_2$ ). Di Stefano, G.; Lenzi, M.; Margani, A.; Nguyen Xuan Chieu (Lab. Metodologie Avanzate Inorg., CNR, Rome, Italy). *J. Chem. Phys.* 1977, 67(8), 3832-3 (Eng). The prodn. of  $NH_2(\tilde{\Lambda}^2A_1)$  radical from vacuum UV photolysis of  $NH_3$  (0.2 torr) was studied. The emission spectrum due to  $NH_2(\tilde{\Lambda}^2A_1)$  radical produced by the photolysis extends from ~750 nm, where  $\nu_2$  5-0 band is expected, to 420 nm. The fluorescence excitation spectrum of the  $NH_2(\tilde{\Lambda}^2A_1 \rightarrow \tilde{X}^2B_1)$  emission is also given.

*e.A.1978,N8*

$\text{NH}_2$

$\text{NH}_2^-$

kb, neex.  
pacets

commerce 5779

1977

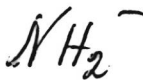
87: 175420k Theoretical value for the photodetachment energy of amidogen(-). Heaton, M. M. (Dep. Chem., New Mexico State Univ., Las Cruces, N. Mex.). *J. Chem. Phys.* 1977, 67(6), 2925-6 (Eng). Calens. on  $\text{NH}_2^-$  were repeated by using an improved basis set given by S. Huzinaga and C. Arnau (1970) and provided a Koopman theorem est. of the photodetachment energy of 0.87 eV. A theor. value of the vertical photodetachment energy of 0.69 eV was calcd. The energies of the parent and mol. were not affected to any great extent by the change in basis, the slight improvement in total energy probably being due to the increase in the no. of the basis functions. The energies of the neg. ion were more markedly improved. Esp. gratifying is the increase in the magnitude of the orbital energy of the photodetached ( $1b_1$ ) electron.

(+1)  $\otimes$

C. A. 1977. 87 n22

отмеч 5779

1977



расчет  
энергии  
фотоотщепле-  
ния аниона

6 Б1024. Теоретическое значение энергии фототщепления электрона от иона  $NH_2^-$ . Heaton M. M.  
Theoretical value for the photodetachment energy of  $NH_2^-$ . «J. Chem. Phys.», 1977, 67, № 6, 2925—2926  
(англ.)

Методом МО в приближении ССП произведены повторные расчеты энергий МО  $NH_2$  и  $NH_2^-$  на основе нового набора базисных волновых функций, в к-ром учтена возможность уплотнения внешних электронных оболочек при образовании аниона, а также диффузность s- и p-электронных оболочек атома N. Переход к этому набору почти не влияет на расчетные энергии МО  $NH_2$ , тогда как для  $NH_2^-$  достигается значительное улучшение согласия расчетной вертикальной энергии фотоотщепления электрона от  $NH_2^-$  (0,69 эв) с эксперим. значением (0,78 эв). Графики плотностей вероятности МО  $1a_1$ ,  $2a_1$ ,  $3a_1$  и  $4b_2$  для  $NH_2$  и  $NH_2^-$  показывают, что эти МО в анионе более диффузны, чем в исходной молекуле. Это показывает, что определяющую роль в хороших результатах расчета играет диффузность s- и p-электронных функций атома N, а не предполагаемое уплотнение МО в анионе.

В. Е. Скурат

*NH<sub>2</sub>*

\*Ч-17999

1977.

9 Д548. Микроволновый-оптический двойной резонанс NH<sub>2</sub>. Ч. II. Индуцированные столкновениями переходы в состояние A<sup>2</sup>A<sub>1</sub> и наблюдение новых колебательных состояний. Hills G. W., Cugl R. F., Jr. Microwave optical double resonance spectrum of NH<sub>2</sub>. II. Collision-induced transitions in A<sup>2</sup>A<sub>1</sub> and observations of a new vibronic state. «J. Chem. Phys.», 1977, 66, № 4, 1507—1513 (англ.)

*М. б.  
спектр*

Получены микроволни. спектры в области 6,4 и 15,7 Гц радикалов NH<sub>2</sub>, возникающих в разряде, при облучении одномодовым лазером на красителе непрерывного действия с мощностью 20—50 мвт. Частота генерации соответствовала электронному переходу A<sup>2</sup>A<sub>1</sub>,π(0,10,0) ← ← X<sup>2</sup>B<sub>1</sub>(0,0,0) в NH<sub>2</sub>. В микроволни. спектре кроме линий, отвечающих вращательным переходам в основном состоянии, наблюдались линии, соответствующие состоянию X<sup>2</sup>B<sub>1</sub>(0,12,0). Наблюдались также линии, индуцированные столкновениями с партнерами H<sub>2</sub>O и N<sub>2</sub>H<sub>4</sub>. Поскольку наблюденные переходы не сопровождаются изменением четности, предполагаемый механизм взаимодействия-квадрупольный. Ч. I см. РЖФиз, 1977, 1Д598.

М. Тонков

9 1977  
N9

#4 - 17999

1977

NH<sub>2</sub>

SE 130411w Microwave optical double resonance spectrum  
of amidogen. II. Collision-induced transitions in A<sup>2</sup>A<sub>1</sub> and

observations of a new vibronic state. Hills, G. W.; Curl, R. F., Jr. (Dep. Chem., Rice Univ., Houston, Tex.). *J. Chem. Phys.* 1977, 66(4), 1507-13 (Eng). Strong microwave optical double resonance (MODR) signals were obsd. for NH<sub>2</sub> around 6.4 and 15.7 GHz. These transitions occur between a previously unobsd. rovibronic level and, resp., the  $J = 1/2$  and  $J = 3/2$  spin rotational levels of 1<sub>10</sub>, A<sup>2</sup>A<sub>1</sub> - a(0,10,0). This previously unknown level was tentatively assigned as the 2<sub>20</sub>, J = 3/2, X<sup>2</sup>B<sub>1</sub> (0,12,0). The N and J assignments are certain, the K<sub>a</sub> is fairly certain, and the vibronic assignment is very tentative. In addn. to MODR signals obsd. by direct laser excitation of the levels involved in the microwave transition, these microwave transitions are MODR active when a no. of rotational levels of the A<sup>2</sup>A<sub>1</sub> (0,10,0) band are excited. These collision-induced signals are interpreted qual. in terms of a simplified model. Observations of the collision-induced transition (tentatively assigned as) 2<sub>20</sub>, J = 3/2 → 3<sub>22</sub>, J = 5/2, X<sup>2</sup>B<sub>1</sub> (0,12,0) are also reported.

line

C.A. 1977 86 118

NH<sub>2</sub>

НЧ-17999

1977

16 Б294. Спектр микроволнового оптического двойного резонанса NH<sub>2</sub>. II. Столкновительные переходы в состоянии  $\tilde{A}^2A_1$  и наблюдение нового вибронного состояния. Hills G. W., Curl R. F.; Jr. Microwave optical double resonance spectrum of NH<sub>2</sub>. II. Collision-induced transitions in  $\tilde{A}^2A_1$  and observations of a new vibronic state. «J. Chem. Phys.», 1977, 66, № 4, 1507—1513 (англ.)

Mr. N.

Методом микроволнового оптического двойного резонанса (МОДР) измерены интенсивные разрешенные электрич. дипольные переходы NH<sub>2</sub> ~ 6,4 и 15,7 ГГц. Измеренные частоты отнесены к переходам между ранее не наблюдавшимся ровибронным уровнем  $2\omega$ ,  $J = -3/2$ , состояния  $\tilde{X}^2B_1$  (0,12,0) и, соотв., двумя спин-вращательными уровнями  $1_{10}$ ,  $J = 1/2$  и  $J = 3/2$ , состоя-

X. 1977. n16

ния  $\tilde{A}^2A_1\pi$  (0,10,0). Сигналы МОДР для обоих переходов характеризуются уменьшением полной флуоресценции в присутствии МВ-излучения в отличие от сигналов МОДР магнитных дипольных или электрических дипольных переходов в основном состоянии. Исследованы сигналы МОДР в области частот 6,4 и 15,7 Гц, связанные со столкновительными МВ-переходами в  $\tilde{A}^2A_1$ -состоянии. Установлено, что правила отбора для столкновительных переходов:  $\Delta K_a = 0, \pm 2$ . Полученные результаты согласуются с ранее выполненными измерениями методом лазерной флуоресценции. Сообщ. I, РЖХим, 1977, 1Б269.

С. Н. Мурзин

NH<sub>2</sub>

Klimo Viliam,  
Tiňo Jozef.

1977

"предмет" Chem. Phys. Lett.",  
выштогосу 1977, 46, № 3, 481-484.

Харти-Рока

III

(ес. CH<sub>3</sub>)

NH<sub>2</sub>

Ommeter 5757 1974

(Ae<sup>-</sup>)

Lowe J.P.

J. Amer. Chem. Soc.,  
1977, 99, (17), 5557-70.

NH<sub>2</sub>-  
yrene

Ommenee 5937 1977

U.K.  
eneap  
Bumfusse

Rasaree M., et al.

Intern. Confes.

Matrix Isolat.

Spectrosc.

West-Bellin, 21-24 June

1977

*NH<sub>2</sub>*

10 Б164. Образование  $\text{NH}_2(\tilde{A}^2A_1)$  в результате предиссоциации  $\text{NH}_3(\tilde{A}^1A_2'')$ . Stefano G. Di, Lenzi M., Margani A., Nguyen Xuan C.  $\text{NH}_2(\tilde{A}^2A_1)$  from the predissociation of  $\text{NH}_3(\tilde{A}^1A_2'')$ . «J. Chem. Phys.», 1977, 67, № 8, 3832—3833 (англ.)

*объяснение  
при предисоц.*

*NF<sub>3</sub>*

Исследованы спектры испускания (переход  $\tilde{A}^2A_1$ — $-\tilde{X}^2B_1$ , 750—420 нм) и возбуждения флуоресценции молекулы  $\text{NH}_2$ , образующейся при ВУФ-фотолизе амиака ( $p \sim 0,2$  мм, водородная разрядная лампа). В спектре возбуждения флуоресценции наблюдается серия полос, связанная с переходом  $\tilde{A}^1A_2(v'_2=7-14)-\tilde{X}^1A_1(v''_2=0)$   $\text{NH}_3$  (190—170 нм) и две полосы перехода  $B^1E''(v'_2=0,1)-\tilde{X}^1A_1(v''_2=0)$   $\text{NH}_3$  (около 165 нм). Ставится под сомнение выдвинутое ранее предположение (см. Back R. A. и др. «Can. J. Chem.», 1977, 55, 1387), что при предиссоциации  $\text{NH}_3(A^1A_2'')$  протекают параллельно два конкурирующих процесса с образованием  $\text{NH}_2(\tilde{X}^2B_1)$  и  $\text{NH}_2(\tilde{A}^2A_1)$ . В. М. Ковба

X.1978 N10

NH<sub>2</sub>

1974

Виноградов Н.Н. к.кн.

специф

Н.к. гиг. здравоохран.

стоматол. 1974, 51(8), 2017-21.

(ред. НН, III)

NH<sub>2</sub>

Усачевский О.Н. и др.

1977

(аэ.н.)

"Izv. Vyssh. Uchebn. Zaved.,  
Fiz.", 1977, № 4, 54-8



(аэ. CO<sub>2</sub>) III

NH<sub>2</sub> ammonia 67419 1978.

Baird W. P.

Mercury I.

reaccipit J. Chem. Educ.

1978, 55 (7) 412-417

1978



предсказ.  
геометрии

(+2)

ф. 1978

н 11

11 Д192. Влияние базисного набора и конфигурационного взаимодействия на предсказание геометрии молекул типа  $\text{AH}_2$ . Bell Stephen. The effects of basis set and configuration interaction on the predicted geometries of  $\text{AH}_2$  molecules. «J. Chem. Phys.», 1978, 68, № 7, 3014—3024 (англ.)

Неэмпирическим методом ССП МО ЛКАО с полной оптимизацией геометрии проведены расчеты молекул типа  $\text{AH}_2$ :  $\text{H}_2\text{O}$  в состоянии  $^1A_1$ ,  $\text{NH}_2$  —  $^2B_1$  и  $^2A_1$ ,  $\text{CH}_2$  —  $^1A_1$  и  $^3B_1$ ,  $\text{H}_2\text{O}^+$  —  $^2B_1$  и  $^2A_1$ ,  $\text{BH}_2$  —  $^2A_1$ . Учет конфигурац. взаимодействия (КВ) приводит к увеличению длин связей на 0,01—0,03 Å и уменьшению углов на 1—2° для сильно изогнутых молекул и такому же увеличению углов для малоизогнутых. При увеличении размера базиса вклад от учета КВ уменьшается. Результаты расчетов представлены в виде диаграмм в координатах: валентный угол — длина связи. Обнаружено большое сходство диаграмм для разных молекул, на основании чего оказалось возможным предсказание геометрии с большей точностью, чем при одном каком-нибудь расчете (за исключением расчета в очень большом базисе и с учетом КВ). В частности, предсказаны результаты расчетов для  $\text{NH}_2^-$  в состоянии  $^1A_1$ .

В. Л. Лебедев

NH<sub>2</sub>

Lammel 7-258]

1978

Caralp F. et al.

Snider

combust. Flame 1978,  
33(3), 299-303.



(cuse. NH

) III

отмечи 6548

1978

22 Б254. Спектр микроволнового оптического двойного резонанса  $\text{NH}_2$ . IV. Наблюдение необычного вращательного перехода в  $X^2\text{B}_1$ . Hills G. W., Lowe R. S., Cook J. M., Cirl R. F. Microwave optical double resonance spectrum of  $\text{NH}_2$ . IV. Observation of an unusual rotational transition in  $X^2\text{B}_1$ . «J. Chem. Phys.», 1978, 68, № 9, 4073—4076 (англ.)

Методом МВ-оптич. двойного резонанса МОДР измерены два вращательных перехода  $3_{31} \leftarrow 4_{13}$ ,  $J=7/2$  (I) и  $3_{31} \leftarrow 4_{13}$ ,  $J=7/2 \leftarrow J=9/2$  (II) молекулы  $\text{NH}_2$  в основном состоянии  ${}^2\text{B}_1$ . Переход I наблюдали в области частот около 5,5 Гц при оптич. накачке перехода  $5_{05} \leftarrow 4_{13}$ ,  $J=-9/2 \leftarrow J=7/2$ ,  $A^2\text{A}_1\Sigma(0,9,0) \leftarrow X^2\text{B}_1(0,0,0)$  при 16771,16 см<sup>-1</sup>. Переход II обусловлен спин-вращательным расщеплением и наблюдался в области частот около 11,7 Гц. Оба перехода I и II разрешены в магнитном дипольном приближении. Из анализа структуры переходов I и II определены пять из шести линейно независимых постоянных, описывающих влияние центробежного искажения на спин-вращательное взаимодействие  $\eta_{aaa}=30,76$  МГц,  $\eta_{bbb}=0,624(14)$  МГц,  $\eta_{aab}=-2,7(14)$  МГц,  $\eta_{bab}=3,9(14)$  МГц и  $(\eta_{abb}+\eta_{bab})/2=3,4(2)$  МГц.

С. Н. Мурзин

х-1978, № 22

NH<sub>2</sub>

ommrec 6548

1978

XII - 4209

89: 50889c. Microwave optical double resonance spectrum of amidogen. IV. Observation of an unusual rotational transition in X<sup>2</sup>B<sub>1</sub>. Hills, G. W.; Lowe, R. S.; Cook, J. M.; Curl, R. F., Jr. (Dep. Chem., Rice Univ., Houston, Tex.). *J. Chem. Phys.* 1978, 68(9), 4073-6 (Eng). Two rotational transitions in the ground <sup>2</sup>B<sub>1</sub> state of NH<sub>2</sub> (3<sub>31</sub>,  $J = 7/2 \leftarrow 4_{13}$ ,  $J = 7/2$  and 3<sub>31</sub>,  $J = 7/2 \leftarrow 4_{13}$ ,  $J = 9/2$ ) were obsd. by microwave optical double resonance. The transitions are magnetic dipole allowed as a result of the spin-rotation interaction mixing of 4<sub>13</sub>,  $J = 7/2$  with 3<sub>31</sub>,  $J = 7/2$ . An anal. of the mixing when combined with the previously detd. spin-rotation centrifugal distortion parameters allow the detn. of the 6 linearly independent spin-rotation centrifugal distortion consts. The resulting consts. (in MHz) are  $\eta_{aaaa} = 30.7(6)$ ,  $\eta_{bbbb} = 0.624(14)$ ,  $\eta_{aabb} = -2.7(14)$ ,  $\eta_{bbaa} : -3.9(14)$ , and  $\eta_{abab}/2 = 3.4(2)$ , where the quoted error in parentheses is 3 std. deviations.

C.A. 1978. 89 n6

*NH<sub>2</sub>*

*1978*

24 Б24. Неэмпирические поверхности потенциальной энергии триплетных состояний  $\text{NH}_2^+$ . Hirst David M. Ab initio potential energy surfaces for triplet states of  $\text{NH}_2^+$ . «Mol. Phys.», 1978, 35, № 6, 1559—1568 (англ.)

Рассчитаны поверхности потенциальной энергии триплетных состояний молек. иона  $\text{NH}_2^+$ , связанные с диссоцацией пределами  $\text{N}^+ + \text{H}_2$  и  $\text{N} + \text{H}_2^+$ . Вычисления проведены методом конфигурац. взаимодействия с использованием базисных наборов Данинига сгруппированных гауссовых функций *s*- и *p*-типа с добавлением поляризационных *p*-орбиталей на атомах Н и *d*-орбиталей на атоме N. Результаты представлены графически для двух поверхностей линейной несимм. конфигурации ( ${}^3\Sigma^-$ ), трех поверхностей для конфигурации  $C_{2v}$  ( ${}^1A_2$ ,  ${}^2A_2$  и  ${}^3B_1$ ) и трех поверхностей для конфигурации симметрии  $C_s$  ( ${}^1A''$ ,  ${}^2A''$  и  ${}^3A''$ ). Во всех случаях межъядерное расстояние фрагмента  $\text{H}_2$  составляло 1,4 ат. ед. В случае поверхностей конфигурации  $C_s$  результаты представлены для трех значений угла  $\theta$  между прямой, соединя-

*кв. мак-  
роскоп*

*Х. 1978, № 24*

ющей атом азота с центром молекулы  $\text{H}_2$  и осью  $\text{H}_2$ . Отмечено, что включение в базис поляризац. орбиталей мало изменяет потенциалы в точках минимумов. Сделано заключение, что при  $0 \leq 30^\circ$  р-ция  $\text{N}^+ + \text{H}_2 \rightarrow \text{NH}^+ + \text{H}$  протекает по прямому механизму на поверхности  ${}^3A'' - {}^3\Sigma^-$ . При остальных значениях  $0$  движение вначале осуществляется по поверхности  ${}^1A''$ , и в области псевдопересечения существует большая вероятность перехода на поверхность  ${}^2A''$  при не очень малых энергиях соударения. Для геометрич. конфигураций  $C_{2v}$  движение осуществляется по нижней поверхности  ${}^3A_2$ . Триплетные поверхности, коррелирующие с диссоциацией пределом  $\text{N}({}^4S) + \text{H}_2^+({}^2\Sigma_g^+)$  являются отталкивательными.

А. В. Немухин

Э.  
Г. J.  
min

1978

$NH_2$  :  $NH_4$

$NH_3$

$NH_3^+$

9 Д221. Неэмпирические исследования химического равновесия. Равновесия для гидридов второго периода  $AH_2$ ,  $AH_3$  и  $AH_4$  и их катионов. Kellö Vladimir, Urban Miroslav, Carsky Petr, Slanina Zdeněk. Ab initio studies of chemical equilibria. Equilibria containing first row hydrides  $AH_2$ ,  $AH_3$  and  $AH_4$ .

расчет равнов. гомоатом.,  
колебат. частоты,  
стат. суммы,

азе,  
в. Н

(+2)

□

Ф, 1978, №

and their positive ions. «Chem. Phys. Lett.», 1978, 53,  
№ 3, 555—559 (англ.)

Неэмпирическим методом ССП МО ЛКАО в базисе гауссовских ф-ций  $9s5p/4s$ , сгруппированном в минимальный, а также в этом же базисе с учетом поляризационных ф-ций  $d$ -типа для атомов N и O и  $p$ -типа для атомов H рассчитаны теплоты реакций:  $\text{NH}_2 + \text{H}_3\text{O}^+ \rightarrow \text{N}^+\text{H}_2 + \text{H}_2\text{O}$ ;  $\text{NH}_2 + \text{NH}_4^+ \rightarrow \text{NH}_3^+ + \text{NH}_3$ ;  $\text{NH}_3 + \text{H}_3\text{O}^+ \rightarrow \text{NH}_4^+ + \text{H}_2\text{O}$ ;  $\text{NH}_3 + \text{OH} \rightarrow \text{NH}_2 + \text{H}_2\text{O}$ ;  $\text{NH}_4^+ + \text{OH} \rightarrow \text{NH}_3^+ + \text{H}_2\text{O}$ ;  $\text{H}_2 + \text{OH} \rightarrow \text{H} + \text{H}_2\text{O}$ ;  $\text{NH}_3 + \text{H} \rightarrow \text{NH}_2 + \text{H}_2$ ;  $\text{NH}_4^+ + \text{H} \rightarrow \text{NH}_3^+ + \text{H}_2$ ;  $\text{OH} + \text{H} \rightarrow \text{H}_2\text{O}$ ;  $\text{NH}_2 + \text{H} \rightarrow \text{NH}_3^+$ ;  $\text{NH}_3^+ + \text{H} \rightarrow \text{NH}_4^+$ ;  $\text{H}_2\text{O} + \text{H}^+ \rightarrow \text{H}_3\text{O}^+$ ;  $\text{NH}_2 + \text{H}^+ \rightarrow \text{NH}_3^+$ ;  $\text{NH}_3 + \text{H}^+ \rightarrow \text{NH}_4^+$ . Для всех реагентов рассчитана равновесная геометрия, колебательные частоты и колебательные статистич. суммы. Для т-р 298, 500, 1000, 1500, 2000, 3000, 4000 и 5000°K рассчитаны константы равновесия, хорошо согласующиеся с имеющимися эксперим. данными (при расчетах учитывалась поправка на энергию корреляции, взятая из литературы).

В. Л. Лебедев

1978



9 Д221. Неэмпирические исследования химического равновесия. Равновесия для гидридов второго периода  $\text{AH}_2$ ,  $\text{AH}_3$  и  $\text{AH}_4$  и их катионов. Kellö Vladimír, Urban Miroslav, Carsky Petr, Slanina Zdeněk. Ab initio studies of chemical equilibria. Equilibria containing first row hydrides  $\text{AH}_2$ ,  $\text{AH}_3$  and  $\text{AH}_4$



рассчитано

Vi; состав. существо

МГЦ  
20

(+2) □

Ф. 1978 №

and their positive ions. «Chem. Phys. Lett.», 1978, 53,  
№ 3, 555—559 (англ.)

Неэмпирическим методом ССП МО ЛКАО в базисе гауссовских ф-ций  $9s5p/4s$ , сгруппированном в минимальный, а также в этом же базисе с учетом поляризационных ф-ций *d*-типа для атомов N и O и *p*-типа для атомов H, рассчитаны теплоты реакций:  $\text{NH}_2 + \text{H}_3\text{O}^+ \rightarrow \text{NH}_3^+ + \text{H}_2\text{O}$ ;  $\text{NH}_2 + \text{NH}_4^+ \rightarrow \text{NH}_3^+ + \text{NH}_3$ ;  $\text{NH}_3^+ + \text{H}_3\text{O}^+ \rightarrow \text{NH}_4^+ + \text{H}_2\text{O}$ ;  $\text{NH}_3 + \text{OH} \rightarrow \text{NH}_2 + \text{H}_2\text{O}$ ;  $\text{NH}_4^+ + \text{OH} \rightarrow \text{NH}_3^+ + \text{H}_2\text{O}$ ;  $\text{H}_2 + \text{OH} \rightarrow \text{H} + \text{H}_2\text{O}$ ;  $\text{NH}_3 + \text{H} \rightarrow \text{NH}_2 + \text{H}_2$ ;  $\text{NH}_4^+ + \text{H} \rightarrow \text{NH}_3^+ + \text{H}_2$ ;  $\text{OH} + \text{H} \rightarrow \text{H}_2\text{O}$ ;  $\text{NH}_2 + \text{H} \rightarrow \text{NH}_3$ ;  $\text{NH}_3^+ + \text{H} \rightarrow \text{NH}_4^+$ ;  $\text{H}_2\text{O} + \text{H}^+ \rightarrow \text{H}_3\text{O}^+$ ;  $\text{NH}_2 + \text{H}^+ \rightarrow \text{NH}_3^+$ ;  $\text{NH}_3 + \text{H}^+ \rightarrow \text{NH}_4^+$ . Для всех реагентов рассчитана равновесная геометрия, колебательные частоты и колебательные статистич. суммы. Для т-р 298, 500, 1000, 1500, 2000, 3000, 4000 и 5000° К рассчитаны константы равновесия, хорошо согласующиеся с имеющимися эксперим. данными (при расчетах учитывалась поправка на энергию корреляции, взятая из литературы).

В. Л. Лебедев

H<sub>2</sub>N

Lovas F. J.

1978

(min.) J. Phys. and Chem.  
Ref. Data, 1978, 7 (4),  
1445 - 1750.

Maddams et al. *J. energetics*  
ii. Mekanovo-kalor. metod

(see: Maddams; ii)

$NH_2(^2A_1)$

Hellerwach.

ISSUED 6312 1998

McDonald, J.R., et al

Chem. Phys., 1978,  
30, 133-145

1978

 $\text{NH}_2$ D,  
not used.

88: 112775c A matrix infrared study of the  $\text{NH}_2$  torsions of amides. Rasanen, Markku; Murto, Juhani; Kivinen, Antti (Dep. Phys. Chem., Univ. Helsinki, Helsinki, Finland). *Ber. Bunsenges. Phys. Chem.* 1978, 82(1), 63-5 (Eng). An Ar- and  $\text{N}_2$ -matrix IR study of several amides showed a very intense band in the far-IR region and in almost all cases this band is the most intense in the whole spectrum. It shifts by  $\sim 80 \text{ cm}^{-1}$  towards higher frequencies on going from Ar to  $\text{N}_2$  medium and doping the Ar matrix with a small amt. of  $\text{N}_2$  (1-2%) leads to bands similar to the  $\text{N}_2$  complex bands of alcs. All obsd. phenomena indicate a marked similarity between the band in question and the OH torsion band of alcs.; the band is thus assigned to the  $\text{NH}_2$  torsion. The  $\text{NH}_2$  torsional peaks of the amides are temp. dependent in  $\text{N}_2$  matrixes whereas in Ar there are no observable changes in the temp. region 10-25 K.



C.A. 1978, 82, 1116

$\text{LiH}_2$ ;  $\text{BeH}_2$ ,  $\text{BH}_2$ , (seeem score. exp.) 1978  
 $\text{CH}_2$ ,  $\text{NH}_2$ ,  $\text{H}_2\text{O}$ ,  $\text{FH}_2$ ,  $\text{HeH}_2$ ,  $\text{SiH}_2$ ,  $\text{PH}_2$ ,  $\text{SH}_2$ ,  
 $\text{NH}_2$ ,  $\text{NaH}_2$ ,  $\text{MgH}_2$ ,  $\text{CaH}_2$ ,  $\text{SrH}_2$ , BX-1784  
Takahata Y.

Chem. Phys. lett., 1978, 59, n 3 472-477

The effects of the  $1\sigma_1$  mole-  
cular orbital on the geometry  
of  $\text{AH}_2$  systems. (seeem)

Pneum., 1979, 8528

HO

U peneem

NH<sub>2</sub>

Omnimic Fd 79 1978

Thompson H. B. et al

2000 est. p.

longitude J. Amer. Chem. Soc.

1978, 100 (23) Fd 13 - 19

NH<sub>2</sub> commode 6848

1978

Vervloet et al.

J. Chem. Phys., 1978, 69(3)

1257-62.

New vibronic levels of NH<sub>2</sub>  
excited by a blue cw dye  
laser.

NH<sub>2</sub>

отмеч 8848  
6376

1978

24 Б205. Молекулярные постоянные уровня 010 основного электронного состояния  $\tilde{X}^2B_1$ . NH<sub>2</sub>. Verloet M., Merienne-Laforgue M. F., Ramsay D. A. Molecular constants for the 010 level of the  $\tilde{X}^2B_1$  ground state of NH<sub>2</sub>. «Chem. Phys. Lett.», 1978, 57, № 1, 5—7 (англ.)

спектр  
искусственны

Измерены спектр испускания NH<sub>2</sub> (переход  $\tilde{A}^2A_1 - \tilde{X}^2B_1$ ), возбуждаемый в МВ-разряде, и спектр флуоресценции NH<sub>2</sub> ( $\tilde{A} - \tilde{X}$ ), возбуждаемый лазером на красителе (кумарин 74). Получены след. значения молек. постоянных  $\tilde{A}$ ,  $\tilde{B}$ ,  $\tilde{C}$ ,  $\Delta_K$ ,  $\Delta_{NK}$ ,  $\Delta_N$ ,  $\delta_K$ ,  $\delta_N$ ,  $H_K$ ,  $L_K$ ,  $\varepsilon_{aa}$ ,  $\varepsilon_{bb}$ ,  $\varepsilon_{cc}$ ,  $\eta_{aaaa}$ ,  $T$ , NH<sub>2</sub> ( $\tilde{X}^2B_1$ , 010) (в см<sup>-1</sup>): 25,9684, 13,1136, 8,0371,  $3,470 \times 10^{-2}$ ,  $-4,99 \times 10^{-3}$ ,  $1,209 \times 10^{-3}$ ,  $2,23 \times 10^{-3}$ ,  $4,83 \times 10^{-4}$ ,  $1,114 \times 10^{-4}$ ,  $-2,68 \times 10^{-7}$ ,  $-0,396$ , 0,0511, 0,0042, 0,00125, 1497,274.

Б. М. Ковба

х.1978, № 4

XIII-3881

ommuneu 6848 6376) 1978

NH<sub>2</sub>

M, N -

89: 120121z Molecular constants for the 010 level of the  $\tilde{X}^2B_1$  ground state of amidogen. Vervloet, M.; Merienne-Lafore, M. F.; Ramsay, D. A. (Lab. Chim. Phys., UER Sci., Reims, Fr.). *Chem. Phys. Lett.* 1978, 57(1), 5-7 (Eng). The  $\tilde{A}^2A_1$ - $\tilde{X}^2B_1$  emission spectrum of NH<sub>2</sub> was investigated (a) with moderate resoln. ( $\pm 1 \text{ cm}^{-1}$ ) by excitation with a coumarin dye laser and (b) with higher resoln. ( $\pm 0.02 \text{ cm}^{-1}$ ) by excitation in a microwave discharge. Rotational assignments were made for bands  $(0, v_2', 0) \rightarrow (0, 0, 0)$  and  $(0, v_2', 0) \rightarrow (0, 1, 0)$  with  $v_2' = 12, 13, 14$  and 15. Term values were established for 93 rotational levels of the 010 level of the ground state, and were fitted with a std. deviation of  $0.032 \text{ cm}^{-1}$  to a Hamiltonian with 15 mol. consts. A table of term values is given for the 010 level up to the  $8_{80}F_1$  and  $F_2$  rotational levels.

XIII-3881

C.H. 1978, 29/11/4

*NH<sub>2</sub>*

ситиск 6376

1978

1 Д851. Молекулярные постоянные уровня 010, основного состояния  $X^2B_1$  радикала NH<sub>2</sub>. Vergvloet M., Merienne-Lafore M. F., Ramsay D. A. Molecular constants for the 010 level of the  $X^2B_1$  ground state of NH<sub>2</sub>. «Chem. Phys. Lett.», 1978, 57, № 1, 5—7 (англ.)

Спектр флуоресценции радикала NH<sub>2</sub>, соответствующий переходу  $A^2A_1$ — $X^2B_1$  в области 4000—8900 Å, возбуждался лазером на красителе и в микроволн. разряде. В результате анализа колебательно-вращательной структуры интерпретированы полосы  $(0, v'_2, 0) \rightarrow (0, 0, 0)$  и  $(0, v'_2, 0) \rightarrow (0, 1, 0)$ ,  $v'_2 = 12, 13, 14; 15$ . Определены положения 93 вращательных подуровней  $F_1, F_2$ , принадлежащих уровню 010 состояния  $X^2B_1$ . Вычислены ~15 молекулярных постоянных этого уровня.

М. А. Ковнер

Ф. 1979, N1



XII-3881

NH<sub>2</sub>

omega 8914

1979

91: 219808g Molecular constants for the ground state of amidogen radical. Birss, F. W.; Ramsay, D. A.; Ross, S. C.; Zauli, C. (Dep. Chem., Univ. Alberta, Edmonton, AB Can. T6G 2G2). *J. Mol. Spectrosc.* 1979, 78(2), 344-6 (Eng). The absorption spectrum of NH<sub>2</sub> was reinvestigated using high resolving power and resulted in considerably improved rotational consts. for the ground state. The Hamiltonian used is a combination of the A-form reduced asym. rotor Hamiltonian of J. K. G. Watson (1977) and the A-form reduced spin-rotation Hamiltonian of J. M. Brown and T. J. Sears (1979).

4.17

XII-5579

C.A.1979 Q-N26

NH<sub>2</sub>

документ 8914

1979

6 Д174. Молекулярные константы для основного состояния радикала NH<sub>2</sub>. Molecular constants for the ground state of NH<sub>2</sub>. Birss F. W., Ramsay D. A., Ross S. C., Zauli C. «J. Mol. Spectrosc.», 1979, 78, № 2, 344—346 (англ.)

Из частот 2739 линий, измеренных методами ИК-лазерного магнитного и оптического микроволн. двойного резонанса и по оптич. спектру с использованием вращательного и спин-вращательного гамильтонианов в форме Уотсона, вычислены значения вращательных и центробежных постоянных (вплоть до коэф. при N<sub>a</sub><sup>8</sup>) и постоянных спин-вращательного взаимодействия для основного электронного состояния  $\tilde{X}^2B_1$  радикала NH<sub>2</sub>.

М. Р. Алиев



XIII-5579

Ф 1980 № 6

*NH<sub>2</sub>*

документ 8914

1979

Д 9 Б227. Молекулярные постоянные NH<sub>2</sub> в основном состоянии. Birss F. W., Ramsay D. A., Ross S. C., Zauli C. Molecular constants for the ground state of NH<sub>2</sub>. «J. Mol. Spectrosc.», 1979, 78, № 2, 344—346  
(англ.)

Измерен оптич. спектр поглощения свободного радикала NH<sub>2</sub> со спектральным разрешением  $6 \cdot 10^5$ . Полученные данные вместе с известными данными измерений

изделий.

ночей.

XIII - 5579

3н.  
эры

2.1980.№

методами МВ-оптич. двойного резонанса (МОДР), ИК-лазерного магнитного резонанса (ЛМР) и эмиссионной спектроскопии (ЭС), использованы для определения молек. постоянных  $\text{NH}_2$  в основном  $X^2B_1$  состоянии. Анализ спектров выполнен при использовании гамильтониана в представлении Уотсона с учетом квартичных, секстичных и октических постоянных центробежного искажения и спин-вращательного взаимодействия. В расчет молек. постоянных включены 31 частота МОДР, 21 частоты ЛМР, 37 энергетич. уровней ЭС и 2234 энергетич. уровней, определенных из оптич. спектра. Вращательные постоянные в основном состоянии равны (в Мгц)  $A = 710311(7)$ ,  $B = 388289(5)$ ,  $C = 245015(5)$  и квартичные постоянные центробежного искажения — (в Мгц)  $\Delta_K = 659,0(13)$ ,  $\Delta_{NK} = 124,5(10)$ ,  $\Delta_N = -31,55(19)$ ,  $\delta_K = 30,0(11)$ ,  $\delta_N = 12,62(9)$ . Включение в анализ оптич. данных значительно повысило точность определения центробежных постоянных, однако, практически не повлияло на точность определения постоянных спин-вращательного взаимодействия. С. Н. Мурзин

NH<sub>2</sub> (un) XIII-5579 1979

Bizsó F.W., Ramsay D.A., Ross S.C.,  
Zauli C.,

J. Mol. Spectrosc., 1979, 73, w2, 344-346

(aer)

molecular constants for the ground  
state of NH<sub>2</sub>.

Publ. 1980, 95227

10

(P)

NH<sub>2</sub>

[ommunc 8048] 1949

Brown *et al.*, et al.

M.R.

" *J. Mol. Spectrosc.* " 1949,  
45, N1, 111-33



corr. H<sub>2</sub>O - 11

1979

NH<sub>2</sub>(D)

XII-5535

Davies P.B., Hardy B.G., Russell S.L.

Chem. Phys. lett. 1979, 68(2-3),  
395-8.

Infrared diode laser spectroscopy  
of the difluoro amidefен radical.  
C.A. 1980, 92, N12, 101700h

FO

⊕

NH<sub>2</sub>

Ottawa 8573

1979

NH

permo -  
guccos

J.S. Cawnp.

V92: 8584Se Argon fluoride (ArF) laser photodissociation of ammonia at 193 nm: internal energy distributions in amidogen radical  $\tilde{X}^2B_1$  and  $\tilde{A}^2A_1$ , and two-photon generation of imidogen radical  $A^3\Pi$  and  $b^1\Sigma^+$ . Donnelly, V. M.; Baronavski, A. P.; McDonald, J. R. (Chem. Div., Nav. Res. Lab., Washington, DC 20375 USA). *Chem. Phys.* 1979, 43(2), 271-81 (Eng). NH<sub>3</sub> was photolyzed with an ArF excimer laser at 193 nm. NH<sub>2</sub> was formed in the  $\tilde{A}^2A_1$  state, detected through the identification of  $\tilde{A}^2A_1 \rightarrow \tilde{X}^2B_1$  emission bands between 620 and 1100 nm, and also in the  $\tilde{X}^2B_1$  state, identified by dye laser induced fluorescence on the  $\tilde{A} \leftarrow \tilde{X}$  transition. The  $\tilde{A}$ -state yield is ~2.5% relative to the  $\tilde{X}$ -state. The  $\tilde{A}^2A_1$  state has a propensity for being formed in high  $K'$ , rotational levels. The  $v''_2$  vibrational levels of the  $\tilde{A}^2A_1$  state appear to be populated in a monotonically decreasing distribution, with an av. vibrational

(+1)  $\otimes$



CA 1980 92 N10

energy content of 1000 cm<sup>-1</sup>. Rotational populations were deduced for the 050  $\Sigma$  vibrational level of the  $A^2A_1$  state. The colder-than-room-temp. rotational distribution ( $T_{\text{rot}} = 210 \pm 40$  K) is explained by angular momentum conservation arguments. The vibrational and rotational features obsd. in the dye laser induced fluorescence excitation spectrum of NH<sub>2</sub>  $A \leftarrow X$  could not be assigned at near collision-free pressures. However, under thermalized conditions, the 090  $\leftarrow$  000  $\Sigma$ , 090  $\leftarrow$  000  $\Delta$ , 0 100-000  $\pi$  and 0 100  $\leftarrow$  000  $\Phi$  bands were clearly identified. Arguments are presented which show that the nascent  $X^2B_1$  photofragment is created either with the  $v''_2$  vibrational population, or the  $K''_a$  rotational population inverted. NH  $A^3\Pi \leftarrow X^3\Sigma^-$  and  $b^1\Sigma^+ \rightarrow X^3\Sigma^-$  emission were also detected at 336 and 471 nm, resp. Formation of NH  $A^3\Pi$  and  $b^1\Sigma^+$  is attributed to 2-photon resonance processes.

1079

*NH<sub>2</sub>*

2 Д736. Д 1079  
 газбулденного состояния и про-  
 цессы бимолекулярного тушения  $\text{NH}_2(\tilde{A} A_1)$ . Excited  
 state dynamics and bimolecular quenching processes for  
 $\text{NH}_2(\tilde{A}^2 A_1)$ . Donnelly V. M., Вагопавски А. Р.,  
 McDonald J. R. «Chem. Phys.», 1979, 43, № 2, 283—  
 293 (англ.)

Измерены радиационные времена жизни и константы  
 скорости тушения радикалов  $\text{NH}_2(\tilde{A}^2 A_1)$ , образующихся  
 при фотолизе  $\text{NH}_3$  излучением ArF-лазера ( $\lambda=193$  нм).  
 Хорошо разрешенная колебательно-вращательная струк-  
 тура в спектре флуоресценции  $\text{NH}_2(\tilde{A}^2 A_1 - \tilde{X}^2 B_1)$  позво-  
 лила исследовать динамику отдельных колебательно-вра-  
 щательных уровней состояния  $\text{NH}_2(\tilde{A}^2 A_1)$  вплоть до  
 $v'_2=8$  и  $K_a=7$ . Для радиационного времени жизни уров-  
 ней состояния  $\tilde{A}^2 A_1$ , невозмущенных реннер-теллеров-  
 ским взаимодействием с основным состоянием, получено

спектр  
 флуоресценции  
 колебаний  
 вращения  
 структура.

Ф.1080.№

значение  $(46 \pm 6)$  мксек. Установлено, что колебательная и вращательная релаксации в состоянии  $A^2A_1$ , по крайней мере, на порядок медленнее электронного тушения этого состояния молекулами  $\text{NH}_3$ . В затухании широко-полосного излучения, дающего  $\sim 15\%$  вклад в интенсивность флуоресценции  $\text{NH}_2$  в области 620—890 нм, обнаружена ранее не наблюдавшаяся медленная компонента ( $\geq 100$  мксек), обусловленная взаимодействием некоторых уровней состояний  $\tilde{A}^2A_1$  и  $X^2B_1$ . Библ. 23.

В. С. Иванов

NH<sub>2</sub>

Check

91: 219714y Excited state dynamics and bimolecular quenching processes for amidogen radical ( $\bar{A}^2A_1$ ). Donnelly, V. M.; Baronavski, A. P.; McDonald, J. R. (Chem. Div., Nav. Res. Lab., Washington, DC 20375 USA). *Chem. Phys.* 1979, 43(2), 233-93 (Eng). Radiative lifetimes and quenching rate consts. were measured for the  $\bar{A}^2A_1$  state of NH<sub>2</sub>, formed through ArF excimer laser photolysis of NH<sub>3</sub> at 193 nm. The NH<sub>2</sub>( $\bar{A}^2A_1 \rightarrow \bar{X}^2B_1$ ) emission is discrete, allowing single vibrational and rotational levels to be isolated. An av. radiative lifetime of  $31 \pm 4 \mu\text{s}$  and an NH<sub>3</sub> quenching rate const of  $(6.1 \pm 0.2) \times 10^{-10} \text{ cm}^3 \text{ mol.}^{-1} \text{ s}^{-1}$  is independent of the  $K_a'$  rotational level and  $v''_2$  vibrational level for  $K_a' = 1, 4, 5$  and  $6$  and  $v''_2 = 6, 7$  and  $8$ . The 050  $\Sigma$  level ( $K_a' = 0$ ) lifetime is slightly longer ( $46 \pm 6 \mu\text{s}$ ) and its quenching rate const. somewhat lower [ $(5.0 \pm 0.2) \times 10^{-10} \text{ cm}^3 \text{ mol.}^{-1} \text{ s}^{-1}$ ]. These lifetimes are interpreted as radiative lifetimes of levels of the  $\bar{A}^2A_1$  state, unperturbed by Renner-Teller coupling with the ground state. The quenching by NH<sub>3</sub> is predominately electronic quenching of the  $\bar{A}^2A_1$  state, with vibrational and rotational relaxation within the excited state being at least 10 times slower. A 2nd, previously unobsd., long-lived component is found in the decay of broad-band emission, comprising  $\approx 15\%$  of the fluorescence intensity between 620 and 890 nm. Its lifetime is  $\geq 100 \mu\text{s}$ , with an apparent quenching rate const. of  $7 \times 10^{-11} \text{ cm}^3 \text{ mol.}^{-1} \text{ s}^{-1}$ . This long-lived emission is ascribed to spare coupling between some levels of the  $\bar{A}^2A_1$  and  $\bar{X}^2B_1$  states.

C.A. 1979, 91, N26

H<sub>2</sub>

London 85/41

1979

DeFrees & Y; et al.

pubscr-BCH.

200 copies

printed

J. Amer. Chem. Soc.  
1979, 101(15), 4085 - 89



(err. H<sub>2</sub>; II)

NH<sub>2</sub>

19.9.9

11 Д314. Переход вращательной энергии в пределах  $\tilde{A}^2A_1$ -состояния NH<sub>2</sub>: абсолютные коэффициенты скорости и влияние спинового обмена в столкновениях с атомами H. Dixon R. N., Field D. Rotational energy transfer within the  $\tilde{A}^2A_1$  state of NH<sub>2</sub>: absolute rate coefficients and the influence of spin exchange in collisions with H atoms. «Proc. Roy. Soc. London.», 1979, A366, № 1725, 247—276 (англ.)'

Рассмотрены процессы перехода вращательной энергии (ПВЭ) в пределах (0,9,0)-колебательного уровня  $\tilde{A}^2A_1$ -состояния NH<sub>2</sub>. Партнерами столкновения, ответственными за большую долю перехода, являются атомы H, конц-ия которых достаточно велика при образовании радикалов NH<sub>2</sub> в реакции паров гидразина с атомами водорода. Радикалы NH<sub>2</sub> возбуждались в состояние  $\tilde{A}^2A_1$  с помощью лазера непрерывного действия на кристаллях. Измеренные времена жизни возбужденных состояний NH<sub>2</sub> в ф-ции ровибронной энергии позволили получить абс. величины коэф. скорости процессов ПВЭ.

переход  
вращательной  
энергии

Ф. 19.9.9.11

Исследовано также поведение электронного спина при ПВЭ. Протабулированы измеренные 14 коэф. скорости для перехода между ортоуровнями (0,9,0)-колебательного уровня  $NH_2A^2A_1$  в столкновениях с Н и рассчитанные по борновской модели искаженных волн. Модель дает полуколичеств. согласие с экспериментом. Показано, что электронный спектр  $NH_2$  обладает разрешаемой в эксперименте дублетной структурой. Анализ полученных данных показывает, что наблюдаемый в эксперименте переход вращательной энергии в большой степени определяется спиновой ориентацией. Библ. 24. И. Флакс

(1)  
т.».

18 Б1302. Оптогалваническая спектроскопия некоторых молекул в разрядах:  $\text{NH}_2$ ,  $\text{NO}_2$ ,  $\text{H}_2$  и  $\text{N}_2$ . Feldmann D. Opto-galvanic spectroscopy of some molecules in discharges:  $\text{NH}_2$ ,  $\text{NO}_2$ ,  $\text{H}_2$  and  $\text{N}_2$ . «Opt. Commun.», 1979, 29, № 1, 67—72 (англ.)

Оптогалваническая спектроскопия, применявшаяся ранее для изучения атомных частиц в основном и метастабильных возбужденных состояниях, использована для изучения электронных переходов из основного и метастабильных возбужденных состояний молекул  $\text{NH}_2$ ,  $\text{NO}_2$ ,  $\text{H}_2$  и  $\text{N}_2$ . Зону разряда постоянного тока при низком давл. (0,2—5 мм) в потоках различных газов облучали прерывистым светом перестраиваемого лазера на красителе непрерывного действия и при помощи синхронного усилителя регистрировали изменения напряжения разряда, возникающие, когда длина волны лазерного излучения совпадала с длиной волны атомного или молек. перехода. Длины волны лазера меняли от 570 до 620 нм. При разряде в  $\text{NH}_3$  и  $\text{NO}_2$  наблюдали оптогалванич. спектры  $\text{NH}_2$  и  $\text{NO}_2$ , структура к-рых хорошо согласуется со структурой известных из лит. спектров поглощения этих молекул. При разряде в  $\text{H}_2$  наблюдали довольно слабые линии, основная часть к-рых м. б.

$\text{NH}_2$

$\text{NO}_2$

$\text{H}_2$

$\text{N}_2$

спектр  
эл. переход.

(+3) □

Х. 1949, N18

идентифицирована как линии переходов между уровнями высоковозбужденного триплетного состояния  $2p^3P$  и состояниями, близкими к пределу диссоциации. При разряде в  $N_2$  наблюдали все интенсивные полосы 1-й положит. системы  $N_2$  (переход  $B^3P_g - A^3\Sigma_u^+$ ), а также полосы перехода между ридберговскими состояниями  $N_2(C_4^1\Pi_u - ^1\Sigma_g^+)$  (система Ледбеттера). Оба низших состояния наблюдавшихся переходов являются метастабильными. Их энергии равны 6 эв ( $A^3\Sigma_u^+$ ) и 12 эв ( $^1\Sigma_g^+$ ). В опытах с  $H_2$  и  $N_2$  производили также изучение пространственных распределений оптогальванич. спектров, по к-рым можно судить о распределении конц-ий возбужденных метастабильных молекул. В опытах с  $O_2$  наблюдали только континуум и две интенсивные атомные линии при 595,9 и 604,7 нм. В разряде в  $Ag$  наблюдали много линий слабой интенсивности, сравнимой с сигналами молекул, но более слабых (на несколько порядков) по сравнению с интенсивными линиями разряда в  $Ne$ . Ни в одном из экспериментов не наблюдали дискретные спектры ионов. Обсуждаются преимущества метода оптогальванич. спектроскопии и способы повышения его чувствительности и разрешения. Это простой и чувствительный метод детального изучения пространственного (и энергетического) распределения атомных и молек. частиц в плазме, к-рые нельзя детектировать без вклада фонового излучения методом флуоресцентной спектроскопии:

В. Е. Скурат

III<sub>2</sub>

беседа 8022 1979

9 Д482. Спектры лазерного магнитного резонанса радикала NH<sub>2</sub> в области 9 мк. Hills G. W., McKellar A. R. W. Laser magnetic resonance spectra of NH<sub>2</sub> in the 9-μm region. Observation of weak  $\Delta K_a = -3$  transitions in the ν<sub>2</sub> band. «J. Mol. Spectrosc.», 1979, 74, № 2, 224—227 (англ.)

Изучены спектры лазерного магнитного резонанса (ЛМР) радикала NH<sub>2</sub> (I) в магн. поле 2—8 кгс под действием излучения CO<sub>2</sub>-лазера в диапазоне 1030—1108 см<sup>-1</sup>. Молекулы I получены при взаимодействии потока газообразного гидразина с продуктами разложения H<sub>2</sub>O и Ag в микроволн. разряде. Отмечено, что 7 линий CO<sub>2</sub>-лазера резонировали с 6 колебательно-вращательными переходами длинноволнового крыла полосы ν<sub>2</sub>(010) ← (000) 1497,310 см<sup>-1</sup> I [при удовлетворении соотношения  $\Delta K_a = -3$  и  $\Delta N = -1$  ( $5 \leq N \leq 10$ )]. Выполнен расчет энергии переходов, интенсивности ли-

спектров  
лазерного  
магнитного  
резонанса

Ф. 1979 № 9

ний и смещения линий при изменении частоты лазерного излучения. Показано, что различия между наблюдаемой и вычисленной частотами линий не превышают  $+0,18 \text{ см}^{-1}$  для  $9_{07} \leftarrow 10_{38}$  и  $-0,02 \text{ см}^{-1}$  для  $5_{24} \leftarrow 6_{31}$  переходов. Подчеркнута высокая чувствительность метода ЛМР при изучении нестабильных молекул, позволяющая регистрировать слабые колебательно-вращательные полосы. Библ. 13.

И. В. А.

ров

NH<sub>2</sub>

Ammonium 802? 1979

v<sub>2</sub>

90: 94983f Laser magnetic resonance spectra of amidogen radical in the 9- $\mu\text{m}$  region. Observation of weak  $\Delta K_a = -3$  transitions in the  $\nu_2$  band. Hills, G. W.; McKellar, A. R. W. (Herzberg Inst. Astrophys., Natl. Res. Counc. Canada, Ottawa, Ont.). *J. Mol. Spectrosc.* 1979, 74(2), 224-7 (Eng). Laser magnetic resonance spectra of the  $\nu_2$  band of the NH<sub>2</sub> radical were obsd. with a CO<sub>2</sub> laser at 1030-1108-cm<sup>-1</sup>. The measurements of these weak  $\Delta N = -1$ ,  $\Delta K_a = -3$  transitions, involving levels with  $5 \leq N \leq 10$ , should complement measurements in the higher frequency half of the band (1500-1900 cm<sup>-1</sup>) made using CO lasers.

C.A. 1979. 90 N 12

*NH<sub>2</sub>*

*Экспресс  
страйк*

*имисса 8364*

*1979*

23 Б22. Строение и свойства  $\text{NH}_2$ ,  $\text{PH}_2$ ,  $\text{NF}_2$ ,  $\text{PF}_2$ ,  $\text{NCl}_2$  и  $\text{PCl}_2$ . Hinchliffe A., Bounds D. G. Structure and properties of  $\text{NH}_2$ ,  $\text{PH}_2$ ,  $\text{NF}_2$ ,  $\text{PF}_2$ ,  $\text{NCl}_2$  and  $\text{PCl}_2$ . «J. Mol. Struct.», 1979, 54, July, 231—238 (англ.)

Методом MO ЛКАО ССП в большом базисе гауссовых функций, дополненном поляризац. функциями:  $\text{H}(5,1) \rightarrow [3,1]$ ,  $\text{N}, \text{F}(11,6,2) \rightarrow [5,4,2]$ ,  $\text{P}, \text{Cl}(13,9,2) \rightarrow [7,4,2]$ , выполнен расчет электронного и геометрич. строения радикалов ЭХ<sub>2</sub>(Х=Н, F, Cl и Э=N, P). Получено хорошее согласие с эксперим. данными. Приведены валентные углы и длины связей, полные и орбитальные энергии, заряды на атомах, заселенности перекрывания, суммарные заселенности  $s$ -,  $p$ -,  $d$ -АО, потенциалы, зарядовые плотности и тензоры градиентов электрич. поля, вычисленные в точках нахождения ядер, дипольный и квадрупольные моменты молекул и константы сверхтонкого взаимодействия в спектрах ЭПР для всех ЭХ<sub>2</sub>.

А. Клягина

(+5)

21079/123

January 8364 7979

NH<sub>2</sub>

NF<sub>2</sub>

NCl<sub>2</sub>

PH<sub>2</sub>

PF<sub>2</sub>

PCl<sub>2</sub>

(lib. recd. faceted)

⑦5



C.A. 1979, 01, N14

1979

NH<sub>2</sub>

И. В. спектр

11 Д571. Микроволновая спектроскопия с модулированным насыщением. Kasperg J. V. V., Lowe R. S., Cull R. F., Jr. Microwave modulated saturation spectroscopy. «J. Chem. Phys.», 1979, 70, № 7, 3350—3355 (англ.)

Предложен новый вариант оптико-микроволнового двойного резонанса, основанный на измерении насыщения оптич. перехода при насыщении микроволн. перехода основного или возбужденного электронного состояний. Метод позволяет измерить сверхтонкую структуру электронно-колебательно-вращательных уровней молекул внутри доплеровского контура. Этим методом разрешена сверхтонкая структура линии  $1_{10}(J=3/2) \leftarrow 2_{20}(J=5/2)$  перехода  $A^2A_1\pi(0, 10, 0) \leftarrow X^2B_1(0, 0, 0)$  радикала NH<sub>2</sub>.

М. Р. Алиев

Б(+) И. В. спектр

Ф. 1979, VII

NH<sub>2</sub> enmucu 7673 1979

Kalasinsky V. F.  
et al.

Каласинский.

Библиография  
журналов  
запись вручную. J. Phys. Chem., 1979  
83 (4), 506 - 510.

Автор:

Vibrational Spectra and  
Conform. Cyclopropanamine.

NH<sub>2</sub>

1979  
20 Б214. Спектр микроволнового оптического двойного резонанса NH<sub>2</sub>. V. Сверхтонкая структура состояния u. Lowe R. S., Kasper J. V. V., Hills G. W., Dillenschneider W., Curl R. F., Jr. Microwave optical double resonance spectrum of NH<sub>2</sub>. V. Hyperfine structure of the u state. «J. Chem. Phys.», 1979, 70, № 7, 3356—3361 (англ.)

спектр u. b.

ж 1979, № 20

Методом МВ-оптич. двойного резонанса (МОДР) исследована СТС переходов между двумя спиновыми компонентами  $J=1/2$  и  $3/2$ ,  $1_{10}, \tilde{A}^2A_1\Pi(0, 10, 0)$  и ранее ненаблюдавшимся ровибронным уровнем  $2_{20}, J=3/2, X^2B_1(0, 12, 0)$  (состояние  $u$ ), расположенным между спиновыми компонентами  $1_{10}$ . Отнесение  $^{14}\text{N}$  и  $^1\text{H}$  СТС спиновых компонент  $1_{10}, \tilde{A}^2A_1\Pi(0, 10, 0)$  и уровня  $J=3/2$  состояния  $u$  выполнено с использованием метода МВ модуляц. спектроскопии насыщения (Kasper J. V. V. и др. «J. Chem. Phys.», 1979, 70, 3350). Переходы  $u, J=3/2 \leftarrow 1_{10}, J=1/2$  наблюдались при оптич. накачке переходов  $1_{10}, J=1/2 \leftarrow 0_{00}, J=1/2, A^2A_1\Pi(0, 10, 0) \leftarrow \tilde{X}^2B_1(0, 0, 0)$  при  $17559,49 \text{ см}^{-1}$  или  $1_{10}, J=1/2 \leftarrow 2_{20}, J=3/2, \tilde{A}^2A_1\Pi(0, 10, 0) \leftarrow \tilde{X}^2B_1(0, 0, 0)$  при  $17442,25 \text{ см}^{-1}$  с перестройкой МВ-излучения МОДР в диапазоне частот от 14,7 до 18,0 Ггц. Сверхтонкое расщепление из-за  $^{14}\text{N}$  и  $^1\text{H}$ -ядер для состояния  $u, J=3/2$  находится в согласии с данными теор. расчета. С. Н. Мурзин

NH<sub>2</sub>

(canc'd)

90: 212665d Microwave optical double resonance spectrum of amidogen radical. V. Hyperfine structure of the u state. Lowe, R. S.; Kasper, J. V. V.; Hills, G. W.; Dillenschneider, W.; Curl, R. F., Jr. (Dep. Chem., Rice Univ., Houston, Tex.). *J. Chem. Phys.* 1979, 70(7), 3356-61 (Eng). The hyperfine structure of the u state of NH<sub>2</sub>, a rovibronic level in the X<sup>2</sup>B<sub>1</sub> manifold [tentatively assigned as 2<sub>20</sub>, J = 3/2, X<sup>2</sup>B<sub>1</sub>(0,13,0)] was obtained from an anal. of the strong microwave optical double resonance (MODR) signals which occur between the u state and the J = 1/2 and 3/2 spin components of 1<sub>0</sub> in A<sup>2</sup>A<sub>1</sub>H(0,10,0). The hyperfine assignment was verified with a new technique that is called microwave modulated satn. (MMS) spectroscopy. The similarity of the hyperfine splittings in u due to the H nuclear spin with those of the 2<sub>20</sub>, J = 3/2 rotational level of the X<sup>2</sup>B<sub>1</sub>(0,0,0) state supports the assignment of u to a highly excited vibrational state of X<sup>2</sup>B<sub>1</sub>. The hyperfine splittings due to the <sup>14</sup>N nucleus were about 1 MHz. These splittings are considerably smaller than those of 2<sub>20</sub>, X<sup>2</sup>B<sub>1</sub>(0,0,0) (which are about 6-10 MHz). This difference was attributed to the fact that the hyperfine coupling consts. of (0,13,0) must be averaged over a large amplitude bending motion and to the presence of borrowed A<sup>2</sup>A<sub>1</sub> character in the u state.

1979

C.A. 1979, 90 N 26

NH<sub>2</sub>

1979

Kb. recd.  
paerem  
noncens  
Kubasik

92: 11548x Theoretical study of the X<sup>2</sup>B<sub>1</sub>, A<sup>2</sup>A<sub>1</sub>, <sup>2</sup>B<sub>2</sub> valence-shell and the first  $\pi_u^2$  3s-type doublet and quartet Rydberg states of NH<sub>2</sub>. Peyerimhoff, S. D.; Buenker, R. J. (Univ. Bonn, D-5300 Bonn, 1 Fed. Rep. Ger.). *Can. J. Chem.* 1979, 57(24), 3182-9 (Eng). The angular potential energy curves of the X<sup>2</sup>B<sub>1</sub>, A<sup>2</sup>A<sub>1</sub>, B<sup>2</sup>B<sub>2</sub> valence-shell and <sup>4</sup>S<sub>g</sub><sup>-</sup>, <sup>2</sup>S<sub>g</sub><sup>-</sup>(<sup>2</sup>B<sub>1</sub>), <sup>2</sup>D<sub>g</sub>(<sup>2</sup>A<sub>1</sub>, <sup>3</sup>S<sub>1</sub>) and <sup>2</sup>S<sub>g</sub><sup>+</sup> Rydberg states arising from  $\pi_u^2$  3s configurations are calcd. by CI techniques. The data obtained produce very satisfactorily all X<sup>2</sup>B<sub>1</sub> and A<sup>2</sup>A<sub>1</sub> characteristics deduced from expts; they support the previous theor. prediction of a small-angle <sup>2</sup>B<sub>2</sub> state but find a very low |R<sub>ee</sub>|<sup>1/2</sup> value for the <sup>2</sup>B<sub>2</sub>-A<sup>2</sup>A<sub>1</sub> transition. The <sup>4</sup>S<sub>g</sub><sup>-</sup> as well as 3 of the above 4 doublet Rydberg multiplets are found to prefer linear (or nearly linear) geometry and larger NH sepn. (in the sym. structure) than NH<sub>2</sub> in its ground state. A relatively large electronic transition moment for combination with both X<sup>2</sup>B<sub>1</sub> and A<sup>2</sup>A<sub>1</sub> is calcd. for the lowest Rydberg multiplet which lies roughly 5.2 eV above the A<sup>2</sup>A<sub>1</sub> state, while the intensity of transitions of the higher 3s states is considerably smaller.

C.A 1980, 92, N2

*NH<sub>2</sub>*

1979

17 Б41. Теоретическое исследование валентных  $X^2B_1$ ,  $A^2A_1$ ,  $^2B_2$ , первого дублетного  $\pi_u^2$  3s-типа и квартетного ридберговых состояний молекулы NH<sub>2</sub>. Peuehoff S. D., Buenker R. J. Theoretical study of the  $X^2B_1$ ,  $A^2A_1$ ,  $^2B_2$  valence-shell and the first  $\pi_u^2$  3s-type doublet and quartet Rydberg states of NH<sub>2</sub>. «Can. J. Chem.», 1979, 57, № 24, 3182—3189 (англ.; рез. франц.)

В рамках предложенного авторами варианта метода конфигурац. взаимодействия («Mol. Phys.», 1978, 35, 771, и «Teoret. Chim. acta», 1974, 35, 33; 1975, 39, 217) изучено основное  $X^2B_1$  и ряд возбужденных (валентных и ридберговых) состояний молекулы NH<sub>2</sub>. При фиксированном равновесном расстоянии N—H, равном 1,024 Å, рассчитаны только угловые потенциальные кривые. Расчеты проведены в базисе {N6s4p20/H2s1p}, дополненном ридберговыми s- и p-орбиталями с  $\alpha=0,02$ . Найденные

от

Х 1980 № 14

значения валентных углов в трех нижних валентных состояниях  $X^2B_1$ ,  $A^2A_1$  и  $B^2B_2$  ( $\sim 103$ ,  $\sim 141$  и  $\sim 50^\circ$ ) близки к опытным значениям, причем в последнем случае отмечена сильная связь между валентным углом H—N—H и длиной связи N—H. Показано, что первое ридберговое состояние  $\pi_u^2$  3s-типа ( ${}^4\Sigma_g^-$ ), также как и три др. вышележащих состояния [ ${}^2\Sigma_g^-$  ( ${}^2B_1$ ),  ${}^2\Delta_g$  ( ${}^2A_1$ ,  ${}^3B_1$ ) и  ${}^1\Sigma_g^+$ ] отвечают симм. линейной конфигурации с более длинной связью N—H, чем в основном состоянии  $NH_2$ . Путем расчета энергий и относит. интенсивностей переходов между указанными тремя валентными и различными ридберговыми состояниями интерпретирован оптический спектр в области над хорошо известной полосой  $A^2A_1 \rightarrow X^2B_1$ . В соответствии с оптич. данными найдены низкие значения  $|Re'e''|^2$  для перехода  $B^2B_2 \rightarrow A^2A_1$ . Для перехода из комбинированного состояния ( $X^2B_1 + A^2A_1$ ) в низшее ридберговое, к-рое лежит примерно на 5,3 эВ выше  $A^2A_1$  найдены относительно большие значения моментов переходов, тогда как интенсивности переходов в остальные ридберговые состояния относительно малы. Отмечено, что результаты расчета позволили полностью интерпретировать оптич. спектр молекулы в области длин волн, к-рая экспериментально была исследована Гёцбергом.

С. Долин

NH<sub>2</sub>

1979

93: 57008h The emission and absorption spectrum of amidogen radical. Ramsay, D. A. (Herzberg Inst. Astrophys., Natl. Res. Coun. Canada, Ottawa, ON Can. K1A 0R6). *Proc. Yamada Conf. Free Radicals, 3rd 1979*, 155-7 (Eng). Edited by Morino, Yonezo; Tanaka, Ikuzo; Hirota, Eizi. Yamada Sci. Found.: Osaka, Japan. A review with 15 refs. mainly on the author's work.

Chemical  
Review,  
4 Nov 1980

CA 1980 93 n6

NH<sub>2</sub>

1979

1 Д91. Использование потенциала положительного иона для расчета дублетных состояний. Самсонов Б. Ф., Чеглоков Е. И., Терпугова А. Ф., Фокин В. А., Бондаренко А. А. «Изв. вузов. Физ.», 1979, № 9, 15—20

Для расчета геометрий радикалов в основном и возбужденных состояниях частичного типа предложено в качестве оставных использовать одноэлектронные ф-ции положит. иона. Эффективность метода проиллюстрирована на примере расчета радикалов  $\text{BH}_2$ ,  $\text{NH}_2$ ,  $\text{NH}_3^+$ ,  $\text{CH}_3$ ,  $\text{FH}_2$ , для которых в приближении ППДП/БУ были получены как самосогласованные решения, так и решения с использованием замороженного ионного остова. Анализ полученных результатов позволяет сделать вывод, что ошибка, связанная с использованием несамосогласованных ф-ций, не превышает ошибки самого метода.

Резюме

(+3) А

9.1980.№1

NH<sub>2</sub>

1. № 29-я.

1970 г. в. № 66

1970

12 Б146. Доплеровская спектроскопия селективных состояний в молекулярном пучке. Применение многофотонной диссоциации. Schmiedl R., Böttner R., Zacharias H., Meier U., Welge K. H. State selective doppler spectroscopy in a molecular beam. An

спектр возбужд.  
флуоресц.

(hyl)  
ty.

2. 1980. XII

application to multiple photon dissociation. «Opt. Comp.», 1979, 31, № 3, 329—333 (англ.)

Метод допплеровской спектроскопии использован для исследования процесса многофотонной диссоциации молекул метиламина в молек. пучке. Под действием излучения импульсного CO<sub>2</sub>-лазера в результате многофотонной диссоциации CH<sub>3</sub>NH<sub>2</sub> образовывались фрагменты NH<sub>2</sub> и CH<sub>3</sub>. Система детектирования включала пробный возбуждающий импульсный лазер, перестраиваемый в узком диапазоне частот (несколько сот ГГц, ~493 нм), и систему регистрации флуоресценции в области <sup>p</sup>Q<sub>1N</sub>-ветви перехода  $\tilde{A}^2A_1(0,13,0) - \tilde{X}^2B_1(0,0,0)$  NH<sub>2</sub>. Импульсы CO<sub>2</sub>- и пробного лазеров синхронизировали, причем временной интервал между импульсами лазеров варьировали. Приведены спектр возбуждения флуоресценции NH<sub>2</sub>( $\tilde{A} - \tilde{X}$ ) (491,5—497,5 нм) и кривая распределения скорости отдачи для вращательного уровня  $b_{16}$  состояния  $\tilde{X}^2B_1(0,0,0)$ .

В. М. Ковба

NH<sub>2</sub>

O'Connor 8287

1979

Schmiedekamp, Ann, et al.

amphympor,  
co. wek.  
jaored

J. Am. Chem. Soc. 1979,  
101(8), 2002-10



cell NH<sub>3</sub> - 11

NH<sub>2</sub>

ommec 7946

1979

декроп.  
каричурис,  
декроп.  
семеновские  
кл. зел.  
расты

Wasilewski J.

J. Mol. Struct.,  
1979, 52, 281-91

(ure. H<sub>2</sub>O; III)

NH<sub>2</sub>

1980

Aufderheide K. H., et al.

pacem Ei;

149 th ACS Nat. Meet.

w.n.

Houston, Tex., 1980. Abstr.

Pop. Washington, D.C.,  
s.a., 76.

(eee. LiH;  $\overline{11}$ )

NH<sub>2</sub>

1930

Aboavris Phaeolon.

J. Phys. Chem. 1930, 34, N<sup>o</sup> 14  
1797-801

encre  
d'acrylique.

coll. OH; JH

NH<sub>2</sub>

[Lennard 10460]

1980.

(NH<sub>2</sub>)<sup>+</sup>

Bews J.R., et al.

Moore et al.  
Zelikus,  
Moresco et al.  
Zelikus

J. Mol. Struct.; 1980,  
67, 141-150

NH<sub>2</sub>

1980

Bewis J. R. et al

pacrem  
nos-1      Inorg. chim. acta, 1980,  
              39, N2, 217-28

Cee Brs<sub>2</sub>;  $\frac{1}{2}$

NH<sub>2</sub>

Lommel 11054 | 1980

Brown J. H., et al.

cross-  
spawam.  
byanog.

Mol. Phys., 1980, 41,  
(1), 173 - 82.

$NH_2$       XII-2048/      1980  
Breena P.J., Hirsch G.,  
Pacréen et al.  
zeowemp., Mol. Phys., 1980, 40,  
cmipykm., N3, 521-537.  
 $E_i$ ;

P.H.C.P., 1980, 12D149.

NH<sub>2</sub>

[ommata 9875]

1980

Casida M. E., et al.

богород.  
зикр.  
сосновый.

Israel J. Chem.; 1980,  
19, 127-138.

NH<sub>2</sub>

Lommel 10511

1980.

Clark D.T., et al.

Kb. ex.

pacier. Chem. Phys., 1980,

nom. nov. 52, 1-9.  
fabrob. nom.  
cerv. nov.

1980

NH<sub>2</sub>

22 Б115. Вакуумная ультрафиолетовая фотоэлектронная спектроскопия неустойчивых соединений. Часть 11. Радикал NH<sub>2</sub>(X<sup>2</sup>B<sub>1</sub>). Dunlavey S. J., Duke J. M., Jonathan N., Morris A. Vacuum ultraviolet photoelectron spectroscopy of transient species. Part 11. The NH<sub>2</sub>(X<sup>2</sup>B<sub>1</sub>) radical. «Mol. Phys.», 1980, 39, № 5, 1121—1135 (англ.)

Изучен возбуждаемый источником He-I фотоэлектронный спектр радикалов NH<sub>2</sub> и ND<sub>2</sub>(X<sup>2</sup>B<sub>1</sub>), образующихся в процессе быстрой р-ции F+NH<sub>3</sub>/ND<sub>3</sub> → NH<sub>2</sub>/ND<sub>2</sub>/+H/DF. В спектрах идентифицированы три полосы, соответствующие ионизации NH<sub>2</sub>(X<sup>2</sup>B<sub>1</sub>) в состояния X<sup>3</sup>B<sub>1</sub>, <sup>1</sup>A<sub>1</sub> и <sup>1</sup>B<sub>1</sub> катиона NH<sub>2</sub><sup>+</sup>. Определено расстояние (0,99 ± 0,02 эВ) между низшими колебательными уровнями состояний NH<sub>2</sub><sup>+</sup>(X<sup>3</sup>B<sub>1</sub>) и NH<sub>2</sub><sup>+</sup>(<sup>1</sup>A<sub>1</sub>). Выполнены чеэмпирич. расчеты энергий ионизации NH<sub>2</sub> и сделан

Ei; v<sub>i</sub>; γ;

{ NH (γ)

{ +1 ⊗

X. 1980 № 22

1) вывод, что две полосы соответствуют ионизации  $\text{NH}_2$  с образованием  $^3A_2$  и  $^1A_2$  состояний, к-рые в фотоэлектронных спектрах проявляются недостаточно четко из-за наложения полос. Установлено положение в электронном спектре поглощения перехода  $^1B_1 \rightarrow ^1A_1$   $\text{NH}_2^+$  ( $1,82 \pm 0,02$  эВ), а также показано, что 1-й потенциал ионизации  $\text{NH}$ , соотв-щий процессу  $\text{NH}^+(X^2\Pi) \leftarrow -\text{NH}(X^3\Sigma^-)$ , должен наблюдаться при  $13,49 \pm 0,01$  эВ.

О. Г. Гаркуша

*NH<sub>2</sub>*

фотоэл.  
спектр



(+) NH (3)  
Ф 1980 № 9

9 Д368. УФ-фотоэлектронная спектроскопия нестабильных молекул. Ч. II. Радикал NH<sub>2</sub>(x<sup>2</sup>B<sub>1</sub>). Vacuum ultraviolet photoelectron spectroscopy of transient species. Part II. The NH<sub>2</sub>(X<sup>2</sup>B<sub>1</sub>) radical. Dunlavey S. J., Dyke J. M., Jonathan N., Morris A. «Mol. Phys.», 1980, 39, № 5, 1121—1135 (англ.)

Исследован HeI-фотоэлектронный спектр радикала NH<sub>2</sub>(x<sup>2</sup>B<sub>1</sub>) (I). I получен в результате реакции F + NH<sub>3</sub> → NH<sub>2</sub> + HF. Первые 3 вертикальные потенциалы ионизации (ПИ) I, соответствующие образованию молекулярного иона I в состояниях x<sup>3</sup>B<sub>1</sub>, A<sup>1</sup>A<sub>1</sub>, B<sup>1</sup>B<sub>1</sub>, равны (в эВ): 12,00; 12,45; 14,27. В первой (адиабатич. ПИ II, 46 эВ), второй и третьей полосе обнаружена колебательная структура с частотами (см<sup>-1</sup>) 840; 2900; 1350; 920 соответственно. ПИ I и его колебательные частоты оценены при помощи неэмпирич. расчетов (ΔCCP-метод) с учетом конфигурац. взаимодействия. Проведено сравнение расчетных и эксперим. данных с данными для соответствующих электронных состояний метиленового радикала. Предсказано положение оптически разрешенного перехода NH<sub>2</sub><sup>+</sup> 1A<sub>1</sub> → 1B<sub>1</sub>. Получено значение первого ПИ NH, соответствующее процессу NH(<sup>3</sup>S<sup>-</sup>) → NH<sup>+</sup>(x<sup>2</sup>P) — 13,49 эВ. Библ. 43. Ю. В. Чижов

1980

*NH<sub>2</sub>**promod.  
Chirp*

5760Sd Vacuum ultraviolet photoelectron spectroscopy  
of transient species. II. The amidogen ( $X^2B_1$ ) radical.

Dunlavey, S. J.; Dyke, J. M.; Jonathan, N.; Morris, A. (Dep. Chem., Univ. Southampton, Southampton, Engl. SO9 5NH). *Mol. Phys.* 1980, 39(5), 1121-35 (Eng). The He I photoelectron spectrum of the  $NH_2(X^2B_1)$  radical, produced from the rapid reaction  $F + NH_3 \rightarrow NH_2 + HF$ , was recorded. Three bands corresponding to ionization of  $NH_2(X^2B_1)$  to the  $X^3B_1$ ,  $^1A_1$ , and  $^1B_1$  states of  $NH_2^+$  were obsd. The 1st 2 adiabatic ionization potentials of  $NH_2$  yielded a value for the sepn. of the ground vibrational levels in  $NH_2^+(X^3B_1)$  and  $NH_2^+(^1A_1)$  of 0.99 eV. Ab initio calens., including electron correlation effects, indicate that bands due to ionization to the  $^3A_2$  and  $^1A_2$  states should have been obsd. Spectra of  $ND_2$  were consistent with these conclusions. The calcd. and obsd. sepns. between the 2 lowest states of  $NH_2^+$  were compared with those for the analogous states of the isoelectronic  $CH_2$  radical. The results support a  $CH_2$   $^3B_1$ - $^1A_1$  sepn. of 0.27-0.43 eV. The position of the  $^1B_1 \leftarrow ^1A_1$   $NH_2^+$  optically allowed transition was estd. The 1st ionization potential of  $NH$ , corresponding to  $NH^+(X^2\Pi) \leftarrow NH(X^3\Sigma^-)$ , was obsd. at 13.49 eV.

CA 1980 93 n6

NH<sub>2</sub>

1980

kb. ex.  
paerū.

Ho-Ampanawong,  
Sirirat, et al.

J. Sci. Soc. Thailand  
1980, 6(4), 173-82.

(cet. H<sub>2</sub>O; I).

*NH<sub>2</sub>*

*H<sub>2</sub>O<sup>+</sup>*

*44, 17.*

(+)

□

*1980 N 12*

12 Д145. Орбитальный угловой момент в трехатомных молекулах. III. Спиновая и вращательная структура  $\tilde{A}^2A_1 - \tilde{X}^2B_1$  перехода в  $\text{NH}_2$  и  $\text{H}_2\text{O}^+$ . Orbital angular momentum in triatomic molecules III. Spin and rotational fine structure effects in the  $\tilde{A}^2A_1 - \tilde{X}^2B_1$  transitions of  $\text{NH}_2$  and  $\text{H}_2\text{O}^+$ . Jungen Ch., Hallin K.-E. J., Megeg A. J. «Mol. Phys.», 1980, 40, № 1, 65—94 (англ.)

Рассматривается влияние орбитального углового момента на детали спиновой и вращательной тонкой структуры  $\tilde{X}^2B_1$  и  $\tilde{A}^2A_1$ , состояний  $\text{NH}_2$  и  $\text{H}_2\text{O}^+$ . Найдено, что нерегулярные спин-орбитальные расщепления и параметры асимметрии могут быть воспроизведены с хорошей точностью в вычислениях, объясняющих также регулярную спиновую и вращательную структуру основных состояний, при единственных входных параметрах: форма потенц. кривых Борна — Оппенгеймера, длины связей и константы спин-орбитального взаимодействия. Аналогичный расчет позволяет дать почти количественное объяснение различных возмущений в  $\tilde{A}^2A_1$  состоянии  $\text{NH}_2$ . Эти возмущения вызваны основным состоянием и возникают из-за присутствия орбитального углового момента. Ч. II Jungen C. H. et al. «Molec. Phys.», 1980, 40, 25 Резюме

1980

1980/15

Октябрь

отмечен 9845 1980

NH<sub>2</sub>

H<sub>2</sub>O<sup>+</sup>

Министерство  
науки и  
техники  
СССР  
Государственное  
учреждение  
«Институт  
органической  
химии им.  
Н. Н. Семёнова»

№ 11

X. 1980

№ 24

24 Б58. Орбитальный угловой момент трехатомных молекул. III. Эффекты тонкой вращательной и спиновой структуры в  $\tilde{A}^2A_1$ — $\tilde{X}^2B_1$  переходах NH<sub>2</sub> и H<sub>2</sub>O<sup>+</sup>.  
Jungen Ch., Hallin K.-E. J., Megger A. J. Orbital angular momentum in triatomic molecules. III. Spin and rotational fine structure effects in the  $\tilde{A}^2A_1$ — $\tilde{X}^2B_1$  transitions of NH<sub>2</sub> and H<sub>2</sub>O<sup>+</sup>. «Mol. Phys.», 1980, 40, № 1, 65—94 (англ.)

Изучена тонкая вращательная структура и эффекты, связанные с электронным спином, в состояниях  $\tilde{X}^2B_1$  и  $\tilde{A}^2A_1$  молекул NH<sub>2</sub> и H<sub>2</sub>O<sup>+</sup>. Рассмотрение проведено в рамках общей теории углового момента трехатомных молекул, развитой в сообщ. I. Показано, что необычные спин-орбитальные расщепления и параметры асимметрии для  $\tilde{A}^2A_1$ -состояний м. б. рассчитаны с хорошей точностью одновременно с воспроизведением регулярной спиновой и вращательной структур для основного состояния. При этом в кач-ве исходных данных в расчёте используются только потенциальные кривые рассматриваемых состояний, длины связей и константы спин-

орбитального взаимодействия. Одновременно почти количественно удается объяснить различные возмущения в состоянии  $\tilde{A}^2A_1$  молекулы  $NH_2$ , к-рые обусловлены наличием углового момента. Сообщ. II. см. пред. реф-рат.

Б. И. Жилинский

по  
ании

Из ГДР

*NH<sub>2</sub>*

*BH<sub>2</sub>*

*кв. мк,  
расчет*

*1980*

6 Д112. Корреляционная энергия систем с открытой оболочкой. Применение многочастичной теории возмущений Рэлея — Шредингера в формализме ограниченного по спину метода Хартри — Фока — Рутана. Correlation energy of open-shell systems. Application of the many-body Rayleigh-Schrödinger perturbation theory in the restricted Roothaan-Hartree-Fock formalism. Hubač Ivan, Cágsky Petr. «Phys. Rev. A: Gen. Phys.», 1980, 22, № 6, 2392—2399 (англ.)

Многочастичная теория возмущений Рэлея — Шредингера использована для расчета энергетич. поправок к полной энергии молекул с открытой электронной оболочкой. Базисом одноэлектронных состояний служат решения ограниченных по спину ур-ний Хартри — Фока.

*(H) 8*

*9.1981.16*

С помощью диаграммной техники Гугенгольца получены ф-лы для расчета энергетич. поправок третьего порядка для случаев невырожденных дублетных и триплетных электронных состояний молекул. Развитый формализм использован для расчета корреляционных энергий радикалов  $\text{NH}_2$  и  $\text{BH}_2$  в электронных состояниях  $^2\text{B}_1$  и  $^2\text{A}_1$ . Сравнение найденных корреляционных энергий с энергиями, рассчитанными методом конфигурационного взаимодействия с учетом всех одно- и двукратновозбужденных конфигураций, указывает на близость получаемых в этих приближениях результатов.

А. И. Дементьев

1980

annuncio 9843

 $NH_2$  $H_2O^+$ nomenu,  
noblegill.(f1) 

✓ 93: 157981p Orbital angular momentum in triatomic molecules. II. Vibrational and K-type rotational structure, and intensity factors in the  $A^2A_1-X^2B_1$  transitions of amidogen and water monocation. Jungen, Ch.; Hallin, K. E. J.; Merer, A. J. (Lab. Photophys. Mol., Univ. Paris-Sud, 91405 Orsay, Fr.). *Mol. Phys.* 1980, 40(1), 25-63 (Eng). The vibrational and K-type rotational levels of the  $X^2B_1$  and  $A^2A_1$  states of  $NH_2$  and  $H_2O^+$  were fitted by least squares to give sets of Born-Oppenheimer potential curves for the combining electronic states. The effects of orbital angular momentum on the level positions in both mols. were obtained, and the relative moments were calcd. for the vibronic bands of the  $A^2A_1-X^2B_1$  transitions. The emission lifetimes for  $NH_2$ , calcd. from the transition moments, agree with expt. Relative transition moments for the photoelectron spectrum of  $H_2O$  ( $H_2O^+$ ,  $A^2A_1$  and  $X^2B_1 \leftarrow H_2O$ ,  $X^1A_1$ ) were also calcd. The  $A^2A_1$  state of  $H_2O^+$  is confirmed as being linear at equil. with the potential function having an unusual wide flat min.

C.A. 1980, 93, N16

$\text{NH}_2$   
 $\text{H}_2\text{O}^+$

датчеса 9843

1980

12 Д346. Орбитальный угловой момент в трехатомных молекулах. Ч. II. Колебательная и вращательная структура  $K$ -типа и факторы интенсивности в переходах  $A^2A_1 - X^2B_1$ .  $\text{NH}_2$  и  $\text{H}_2\text{O}^+$ . Orbital angular momentum in triatomic molecules. II. Vibrational and  $K$ -type rotational structure, and intensity factors in the  $A^2A_1 - X^2B_1$  transitions of  $\text{NH}_2$  and  $\text{H}_2\text{O}^+$ . Jungen Ch., Hallin K., E. J., Megeg A. J. «Mol. Phys.», 1980, 40, № 1, 25—63 (англ.)

Ч. II.

Развитый в Ч. I метод анализа эксперим. данных о спектрах вибронных переходов применен для определения структуры колебательных и вращательных уровней  $K$ -типа электронных состояний  $X^2B_1$  и  $A^2A_1$  трехатомных молекул  $\text{NH}_2$  и  $\text{H}_2\text{O}^+$ . В работе использован формализм больших амплитуд, не учитываются эффекты,

(+) ~~☒~~

Ф. 1980. N 12

связанные с резонансом Ферми, обусловленным ангармоничностью колебаний. Получены значения энергии колебательно-вращательных уровней и определены кривые зависимости потенц. энергии от угла между связями в молекулах  $\text{NH}_2$  и  $\text{H}_2\text{O}^+$  в указанных электронных состояниях. Приведены таблицы относит. значений моментов вращательно-вибронных переходов  $X^2B_1 - A^2A_1$ , а также параметры, характеризующие равновесные конфигурации молекул в нижнем и верхнем электронных состояниях, которые находятся в хорошем соответствии с данными теоретич. расчетов. Ч. I. см. Jungen Ch. et al. «Mol. Phys.», 1980, 40, № 1, 1—24. Библ. 31.

Н. Филиппов

$\text{NH}_2$

$\text{H}_2\text{O}^+$

$d, n; E_i$

(+)

X. 1980

N 24

Физика 9843

1980

24 Б57. Орбитальный угловой момент трехатомных молекул. II. Колебательная структура, вращательная структура  $K$ -типа и факторы интенсивности для переходов  $A^2A_1 - \tilde{X}^2B_1$  систем  $\text{NH}_2$  и  $\text{H}_2\text{O}^+$ . Jungen Ch., Hallin K.-E. J., Мегег А. J. Orbital angular momentum in triatomic molecules II. Vibrational and  $K$ -type rotational structure, and intensity factors in the  $A^2A_1 - \tilde{X}^2B_1$  transitions of  $\text{NH}_2$  and  $\text{H}_2\text{O}^+$ . «Mol. Phys.», 1980, 40, № 1, 25—63 (англ.)

Проведено детальное исследование переходов  $\tilde{A}^2\tilde{A}_1 - \tilde{X}^2B_1$  молекул  $\text{NH}_2$  и  $\text{H}_2\text{O}^+$ . Состояния  $\tilde{A}^2\tilde{A}_1$  и  $\tilde{X}^2B_1$  соответствуют  ${}^2\Pi_u$  состоянию линейной молекулы, что позволяет на их примере изучить эффекты, связанные с орбитальным угловым моментом трехатомных молекул. Общий теор. подход, развитый в сообш. I (см. предр.), позволил по известным эксперим. данным одновременно построить потенциальные кривые для двух электронных состояний как  $\text{NH}_2$ , так и  $\text{H}_2\text{O}^+$ . Под-

тврждено, что  $\tilde{A}^2A_1$ -состояние молекулы  $NH_2$  имеет нелинейную равновесную конфигурацию, а  $\tilde{A}^2A_1$ -состояние  $H_2O^+$  обладает потенциальной ф-цией с необычно плоским минимумом вблизи равновесной линейной конфигурации. Использованная модель позволила описать все колебательные уровни и вращательные уровни  $K$ -типа в пренебрежении эффектами резонанса Ферми. Рассчитаны также относит. моменты переходов, что совместно с неэмпирич. абс. значениями для моментов электронных переходов позволило оценить для  $NH_2$  излучательные времена жизни. Полученные величины очень хорошо согласуются с эксперим. значениями. Найдены также относит. моменты переходов фотоэлектронного спектра  $H_2O$  ( $H_2O^+$ ,  $\tilde{A}^2A_1$  и  $\tilde{X}^2B_1 \leftarrow H_2O$ ,  $\tilde{A}^1A_1$ ).

Б. И. Жилинский

NH<sub>2</sub>

1980

Yee L.

Theor. chim. acta, 1980,  
54, N2, 107-30

no. emp.  
M. class  
(3)



cces. H<sub>2</sub>-"

NH<sub>2</sub>

1980

Kapucy E., et al.

Kb. met.  
paeret.

"Acta Phys. Acad.  
Sci. Hung.", 1980, 48,  
N<sup>o</sup> 2-3, 225-234.

(cell. HE; III).

январь 1959

1980

NH<sub>2</sub>

З Б242. Спектр лазерного магнитного резонанса полосы  $v_2$  NH<sub>2</sub>. Kawaguchi K., Yamada C., Higota E., Brown J. M., Buttenshaw J., Parent C. R., Sears T. J. The laser magnetic resonance spectrum of the  $v_2$  band of NH<sub>2</sub>. «J. Mol. Spectrosc.», 1980, 81, № 1, 60—72 (англ.)

4, 17.

Методом лазерного магнитного резонанса с применением CO-лазера измерена основная полоса  $v_2$  ( $\nu_0 = 1497,3 \text{ см}^{-1}$ ) радикала NH<sub>2</sub>. Идентифицировано около 160 резонансов со значениями квантовых чисел  $0 < N < 7$  и  $0 < K_a < 5$ . Анализ данных выполнен с использованием гамильтониана, в к-ром учтены эффекты центробежного искажения, спин-вращательного взаимодействия и эффекта Зеемана. С учетом существующих данных определены частоты полос, вращательные постоянные,

Х. 1981/№3

постоянны<sup>е</sup> центрооежного искажения и постоянные спин-вращательного взаимодействия в основном и возбужденном  $v_2=1$  колебательных состояниях. Частота полосы равна  $\nu_0=1497,3216(17)$  см<sup>-1</sup>, а вращательные постоянные в основном и  $v_2=1$  состояниях, соотв., равны  $A=710304(11)$  и  $778455(20)$ ,  $B=388280(5)$  и  $392971(16)$ ,  $C=245013(5)$  и  $240870(10)$  Мгц. Наиболее заметные изменения при переходе от основного к  $v_2=1$  состоянию наблюдаются для молек. постоянных  $A$ ,  $\Delta_k$ ,  $H_k$ ,  $\varepsilon_{aa}$  и  $\Delta_k^s$ . В частности, спин вращательная постоянная  $\varepsilon_{aa}$  в  $v_2=1$  состоянии приблизительно на 30% больше, чем в основном состоянии.

С. Н. Мурзин

Chemical 9859

1980

NH<sub>2</sub>

M, N.

93: 34505d The laser magnetic resonance spectrum of the  $\nu_2$  band of amidogen radical. Kawaguchi, Kentarou; Yamada, Chikashi; Hirota, Eizi; Brown, John M.; Buttenshaw, Juliet; Parent, C. Robert; Sears, Trevor J. (Inst. Mol. Sci., Okazaki, Japan 444). *J. Mol. Spectrosc.* 1980, 81(1), 60-72 (Eng). The  $\nu_2$  fundamental band ( $\delta_2 = 1497.3 \text{ cm}^{-1}$ ) of the NH<sub>2</sub> radical was studied by CO laser magnetic resonance. The NH<sub>2</sub> radicals were produced by the reaction of hydrated hydrazine and H atoms obtained from a discharge in H<sub>2</sub>O vapor. The assignment was established for about 160 Zeeman resonances which involved levels with  $0 \leq N \leq 7$  and  $0 \leq K_a \leq 5$ . From an anal. of the obsd. spectra, combined with the previously reported 10  $\mu\text{m}$  and far IR LMR spectra, the band origin, the rotational, the centrifugal distortion, and the spin-rotation consts. were accurately detd. both for the  $\nu_2 = 1$  and the ground states. As in the case of HCO, large changes of  $A$ ,  $\Delta_k$ ,  $\epsilon_{aa}$ , and  $\Delta_k^*$  were obsd. upon the excitation of the  $\nu_2$  mode.

CA 1980 93 n4